

П-168

42, 2

Азәрбајҹан ССР
Елмләр Академијасы
Академия наук
Азербайджанской ССР

ISSN 0002-3078

МӘРҮЗЭЛӘР ДОКЛАДЫ

чилид

XLI

том

2

1986

ДАН Азерб. ССР публикует краткие сообщения об оригинальных, нигде не печатанных ранее, результатах научных исследований, представленные академиками АН Азерб. ССР, которые тем самым берут на себя ответственность за научные достоинства представляющей статьи.

В «Докладах» не публикуются крупные статьи, механически разделенные на ряд отдельных сообщений, статьи полемического характера, без новых фактических сообщений, статьи полемического характера, без новых фактических данных, статьи с описанием промежуточных опытов, без определенных выводов и обобщений, чисто методические статьи, если предлагаемый метод не является принципиально новым, а также статьи по систематике растений и животных (за исключением описания особо интересных для науки находок).

Будучи органом срочной информации, журнал «ДАН Азерб. ССР» принимает и отбирает к печати статьи, объем которых допускает их публикацию в установленные решением Президиума АН Азерб. ССР сроки.

В связи со всеми перечисленными ограничениями отклонение статьи редакцией «Доклады АН Азерб. ССР» означает только, что она не согласуется с требованиями и возможностями этого журнала и не исключает ее публикации в других изданиях:

ПРАВИЛА ДЛЯ АВТОРОВ

Редакция журнала «Доклады АН Азерб. ССР» просит авторов руководствоваться приведенными правилами и надеется, что авторы ознакомятся с ними прежде, чем пришлют статью в редакцию.

Статьи, присланные без соблюдения этих правил, к рассмотрению не принимаются.

1. Статьи, направляемые в редакцию, должны иметь представление члена АН СССР или академика АН Азерб. ССР, если оно требуется (см. выше).

Статьи с просьбой направить их на представление редакции не принимаются.

2. Статья публикуется по мере поступления. Единственным поводом для внеочередной публикации является исключительная важность сообщения и соображения приоритета. Для этого необходимо специальное решение редколлегии.

3. Как правило, редакция направляет представленные статьи на рецензию.

4. «Доклады» помещают не более трех статей одного автора в год. Это правило не распространяется на членов АН СССР, академиков Академии наук Азерб. ССР.

5. Авторы должны определить раздел, в который следует поместить статью, а также дать индекс статьи по Универсальной десятичной классификации (УДК). К статье прилагается отпечатанный на машинке реферат в двух экземплярах, предназначенный для передачи в один из реферативных журналов ВИНИТИ.

6. В конце статьи нужно указать полное название учреждения, в котором выполнено исследование, фамилии всех авторов, а также полный почтовый адрес и номер телефона (служебный и домашний) каждого соавтора.

Кроме того, авторский коллектив должен указать лицо, с которым редакция будет вести переговоры и переписку.

7. Возвращение рукописи автору на доработку не означает, что статья принята к печати. После получения доработанного текста рукопись вновь рассматривается редколлегией. Доработанный текст автор должен вернуть вместе с первоначальным экземпляром статьи, а также ответом на все замечания. Датой поступления считается день получения редакцией окончательного варианта статьи.

8. В «Докладах» публикуются статьи, занимающие не более $\frac{1}{4}$ авторского листа (6 страниц машинописи). В этот объем входят текст, таблицы, библиография (не больше 15 источников) и рисунки, число которых не должно превышать четырех, включая и обозначения «а», «б» и т. д. в том числе вклейки на мелованной бумаге. Вклейки даются только для микрофотографий большого увеличения. Штриховые рисунки (карты, схемы и т. п.) на вклейках не печатаются, а даются на кальке. Текст и графический материал представляются в двух экземплярах. Повторение одних и тех же данных в тексте, таблицах и графиках недопустимо. Рисунки должны быть выполнены четко, в формате, обеспечивающем ясность передачи всех деталей фотографии представляются на глянцевой бумаге. Подписи к рисункам должны быть напечатаны в 2-х экземплярах через два интервала на отдельной странице. На обороте рисунков мягким карандашом указываются фамилии авторов, наименование статьи и номер рисунка.

(Продолжение на третьей странице обложки)

АЗЭРБАЙЧАН ССР ЕЛМЛЭР АКАДЕМИЯСЫ АКАДЕМИЯ НАУК АЗЕРБАЙДЖАНСКОЙ ССР

МЭРУЗЭЛЭР ДОКЛАДЫ

ТОМ XLII ЧИЛД

№ 2

«ЭЛМ» НЭШРИЙЛАТЫ—ИЗДАТЕЛЬСТВО «ЭЛМ»

БАКУ—1988—БАКУ



РЕДАКЦИОННАЯ КОЛЛЕГИЯ

Э. Ю. Салаев (главный редактор), Г. Б. Абдуллаев, М. Т. Абасов,
В. С. Алиев, Г. А. Алиев, Дж. А. Алиев, И. Г. Алиев,
Дж. Б. Гулиев, Н. А. Гулиев, М. З. Джабаров, Ф. Г. Максудов,
А. А. Надиров, Ю. М. Сенцов (зам. главного редактора),
М. А. Усейнов, Г. Г. Зейналов (ответств. секретарь).

УДК 517. 91

А. Р. МАГОМЕДОВ, Г. М. НАБИЕВ

О НЕКОТОРЫХ ВОПРОСАХ УСТОЙЧИВОСТИ РЕШЕНИЙ
ЛИНЕЙНЫХ ДИФФЕРЕНЦИАЛЬНЫХ УРАВНЕНИЙ
С МАКСИМУМАМИ

(Представлено академиком АН Азербайджанской ССР Г. Ф. Султановым)

Рассматривается система уравнений

$$\dot{y}(t) = A_0 y(t) + A(t) \max_{\tau \in [t-h, t]} y(\tau), \quad (1)$$

где $A_0, A(t) - n \times n$ —матрицы. Относительно матриц сделаем следующие предположения.

1. Постоянная матрица A_0 такова, что матричный экспонента $\exp(A_0 t)$ допускает при $t \geq 0$ оценку

$$\|\exp(A_0 t)\| \leq c \exp(-\alpha t), \quad (2)$$

где c, α —положительные постоянные (причем $c > 1$).

Такую оценку мы получим [1], если все собственные числа матрицы A_0 отрицательные и меньше α по абсолютной величине.

2. Матрица $A(t)$ такова, что при $t \geq 0$

$$\|A(t)\| < a_1, \quad (3)$$

где a_1 —положительное число, такое, что при некотором $m > 0$ выполняется неравенство

$$\frac{a_1}{\alpha} c^2 + c \left(1 - \frac{a_1}{\alpha} c\right) e^{-\alpha m} < q < 1. \quad (4)$$

Справедлива следующая теорема.

Теорема. Пусть рассматривается решение $y(t)$ системы (1) при заданной начальной функции $\varphi(t)$ на начальном множестве $E_{t_0} = [t_0 - h, t_0]$, причем

$$\|\varphi(t)\| \leq \|\varphi(t_0)\|, \quad t \in E_{t_0}. \quad (5)$$

Тогда при выполнении условий (2), (3), (4) решение $y(t)$ стремится к нулю при $t \rightarrow \infty$ не медленнее, чем функция, пропорциональная экспоненте $\exp(-\alpha t)$ с некоторым $\alpha > 0$.

Доказательство. Для простоты записи положим $t_0 = 0$. Переходим к интегральному уравнению

$$y(t) = \varphi(t) e^{A_0 t} + \int_0^t e^{A_0(t-\xi)} A(\xi) \max_{\tau \in [\xi-h, \xi]} y(\tau) d\xi. \quad (6)$$

Будем строить решение на отрезке $[0, t_1]$ таком, что $t_1 > h$ и

$$c \left[\frac{a_1}{\alpha} c + \left(1 - \frac{a_1}{\alpha} c\right) e^{-\alpha(t_1-h)} \right] = q < 1. \quad (7)$$

Для первого приближения $y_1(t)$ имеем:

$$y_1(t) = \varphi_0 e^{\Lambda_0 t}, \quad t > 0; \quad y_1(t) = \varphi(t), \quad t \in E_{t_0}. \quad (8)$$

где $\varphi_0 = \varphi(0)$. Согласно (2), (5), (8)

$$\|y_1(t)\| \leq c \|\varphi_0\| e^{-at}, \quad t > 0; \quad \|y_1(t)\| \leq c \|\varphi_0\|, \quad -h \leq t < +\infty, \quad (9)$$

причем при $0 \leq t \leq t_1$

$$\|\max_{t \in [t-h, t]} y_1(\tau)\| \leq \|y_1(t)\| \leq c \|\varphi_0\|. \quad (10)$$

Для вторичного приближения имеем

$$\left. \begin{aligned} y_2(t) &= y_1(t) + \int_0^{t_1} e^{\Lambda_0(t-\xi)} A(\xi) \max_{\tau \in [t-h, \xi]} y_1(\tau) d\xi, \quad t > 0, \\ y_2(t) &= \varphi(t), \quad t \in E_{t_0}. \end{aligned} \right\} \quad (11)$$

В силу (2), (3), (9), (11) получим оценку при $t > 0$

$$\begin{aligned} \|y_2(t)\| &\leq c \|\varphi_0\| e^{-at} + a_1 c^2 \|\varphi_0\| \int_0^{t_1} e^{-a(t-\xi)} d\xi = c \|\varphi_0\| e^{-at} + \\ &+ \frac{a_1}{a} c^2 (1 - e^{-at}) = c \|\varphi_0\| \left[\frac{a_1}{a} c + \left(1 - \frac{a_1}{a} c \right) e^{-at} \right]. \end{aligned} \quad (12)$$

Согласно (3) $\frac{a_1}{a} c < 1$, так что правая часть (12) есть убывающая функция и, следовательно, при $0 \leq t \leq t_1$

$$\|\max_{\tau} y_2(\tau)\| \leq \|y_2(t)\| \leq c \|\varphi_0\|. \quad (13)$$

Для третьего приближения имеем:

$$\left. \begin{aligned} y_3(t) &= \varphi(t), \quad t \in E_{t_0}, \\ y_3(t) &= y_2(t) + \int_0^{t_1} e^{\Lambda_0(t-\xi)} A(\xi) \max_{\tau \in [t-h, \xi]} y_2(\tau) d\xi, \quad t > 0 \end{aligned} \right\} \quad (14)$$

Как для $\|y_2(t)\|$, получим при $t > 0$, согласно (13), оценку:

$$\|y_3(t)\| \leq c \|\varphi_0\| \left[\frac{a_1}{a} c + \left(1 - \frac{a_1}{a} c \right) e^{-at} \right] \leq c \|\varphi_0\|, \quad (15)$$

совпадающую с оценкой (12). Таким образом, для всех последующих приближений $y_4(t), y_5(t), \dots$, получим ту же оценку. В пределе получим решение системы (1) при начальной функции $\varphi(t)$ на отрезке $[0, t_1]$, причем имеет место та же оценка.

Обозначая это решение через $y^{(0)}(t)$, получим, что при $t > 0$

$$\|y^{(0)}(t)\| \leq c \|\varphi_0\| \left[\frac{a_1}{a} c + \left(1 - \frac{a_1}{a} c \right) e^{-at} \right]. \quad (16)$$

При этом, если мы положим $t_1 = t + h$, где t — число в неравенстве (3), то, согласно (3), получим

$$\|y^{(0)}(t_1)\| \leq q \|\varphi_0\|, \quad \|y^{(0)}(t)\| \leq q \|\varphi_0\|, \quad t \in [t_1 - h, t_1]. \quad (17)$$

Построим далее решение $y(t)$ исходного уравнения на отрезке $[t_1, 2t_1]$, считая, что задана начальная функция $\varphi^{(0)}(t) = y^{(0)}(t)$ на отрезке $[t_1 - h, t_1]$, и начальный момент $t = t_1$. Для первого приближения имеем:

$$y_1(t) = \varphi_0 e^{\Lambda_0(t-t_1)}, \quad t \geq t_1; \quad y_1(t) = \varphi^{(0)}(t), \quad t \in [t_1 - h, t_1], \quad (18)$$

где

$$\varphi_0^{(0)} = \varphi^{(0)}(t_1) = y^{(0)}(t_1).$$

При этом

$$\begin{aligned} \|\varphi_0^{(0)}\| &\leq q \|\varphi_0\|, \\ \|y_1(t)\| &\leq c \|\varphi_0^{(0)}\| e^{-(t-t_1)}, \quad t > t_1; \\ \|y_1(t)\| &\leq \|y^{(0)}(t)\| \leq q \|\varphi_0\|, \quad t \in [t_1 - h, t_1], \end{aligned}$$

так, что при $t_1 \leq t \leq 2t_1$

$$\|\max_{t \in [t-h, t]} y_1(\tau)\| \leq c \|\varphi_0^{(0)}\|. \quad (19)$$

Для вторичного приближения имеем

$$\left. \begin{aligned} y_2(t) &= y^{(0)}(t), \quad t \in [t_1 - h, t_1], \\ y_2(t) &= y_1(t) + \int_0^{t_1} e^{\Lambda_0(t-\xi)} A(\xi) \max_{\tau \in [t-h, \xi]} y_1(\tau) d\xi, \quad t > t_1. \end{aligned} \right\} \quad (20)$$

В соответствии с (19), получим оценку при $t > t_1$

$$\begin{aligned} \|y_2(t)\| &\leq c \|\varphi_0^{(0)}\| e^{-a(t-t_1)} + c a_1 \|\varphi_0^{(0)}\| \int_{t_1}^t e^{-a(t-\xi)} d\xi = \\ &= c \|\varphi_0^{(0)}\| e^{-a(t-t_1)} + \frac{a_1}{a} c^2 \|\varphi_0^{(0)}\| (1 - e^{-a(t-t_1)}) = \\ &= c \|\varphi_0^{(0)}\| \left[\frac{a_1}{a} c + \left(1 - \frac{a_1}{a} c \right) e^{-a(t-t_1)} \right]. \end{aligned} \quad (21)$$

Так как $\frac{a_1}{a} c < 1$, то правая часть в этом неравенстве есть убывающая функция, и

$$\|y_2\| \leq c \|\varphi_0^{(0)}\|, \quad t > t_1; \quad \|y_2\| = c \|y^{(0)}(t)\| \leq c \|\varphi_0\|, \quad t \in [t_1 - h, t_1].$$

Поэтому при $t \in [t_1, 2t_1]$

$$\|\max_{\tau} y_2(\tau)\| \leq c \|\varphi_0^{(0)}(t)\|.$$

Мы получим ту же оценку, что и (19) для $\max_{\tau} y_2(\tau)$. Поэтому для третьего приближения $y_3(t)$ мы получим ту же оценку, что и (21) и т. д.

Следовательно, для решения $y(t)$ на отрезке $[t_1, 2t_1]$ (обозначим его $y^{(2)}(t)$) получим при $t > t_1$ оценку

$$\|y^{(2)}(t)\| \leq c \|\varphi_0^{(0)}\| \left[\frac{a_1}{a} c + \left(1 - \frac{a_1}{a} c \right) e^{-a(t-t_1)} \right]. \quad (22)$$

При этом при $t = 2t_1 = t_2$ получим оценку

$$\|y^{(2)}(t)\| \leq c \|\varphi_0^{(0)}\| \left[\frac{a_1}{a} c + \left(1 - \frac{a_1}{a} c \right) e^{-a t_2} \right]. \quad (22*)$$

Так как $t_1 = t + h$, то в силу (3), имеем

$$\begin{aligned} \|y^{(2)}(t_2)\| &\leq q \|\varphi_0^{(0)}\|, \\ \|y^{(2)}(t)\| &\leq q \|\varphi_0^{(0)}\|, \quad t \in [t_1 - h, t_1]. \end{aligned} \quad (23)$$

Обозначим далее

$$\varphi^{(2)}(t) = y^{(2)}(t), \quad t \in [t_2 - h, t_2] \quad (24)$$

и будем строить решение $y(t) = y^{(3)}(t)$, на отрезке $[t_2, t_2 + t]$. Точно так же получим оценку при $t > t_2$

$$\|y^{(3)}(t)\| \leq c \|\varphi_0^{(2)}\| \left[\frac{a_1}{\alpha} c + \left(1 - \frac{a_1}{\alpha} c\right) e^{-\alpha(t-t_2)} \right] \quad (25)$$

и оценку для $y^{(3)}(t_3)$, $t_3 = t_2 + t_1 = 3t_1$

$$\|y^{(3)}(t_3)\| \leq q \|\varphi_0^{(2)}(t)\| \quad (26)$$

и т. д. Таким образом мы получим решение $y(t)$ при всех $t > 0$ и в точках $t = t_k$, $k = 1, 2, 3, \dots$ имеем оценки:

$$\left. \begin{aligned} \|y(t_1)\| &\leq q \|\varphi_0\|, \\ \|y(t_2)\| &\leq q \|y(t_1)\| \leq q^2 \|\varphi_0\|, \\ \|y(t_3)\| &\leq q \|y(t_2)\| \leq q^3 \|\varphi_0\|, \dots \end{aligned} \right\}$$

$$\lim_{k \rightarrow \infty} \|y(t_k)\| = 0. \quad (27)$$

Из (27) видно, что значение $\|y(t_k)\|$ стремится к нулю при $k \rightarrow \infty$ не медленнее значений экспоненты $\exp(-\alpha t)$, где α — такое число, что $\exp(-\alpha t_1) = q$.

На каждом из отрезков $[t_k, t_{k+1}]$ имеем для $\|y(t)\|$ оценки вида (25), так что можно мажорировать $\|y(t)\|$ при всех t экспонентой $\exp(-\alpha t)$ с некоторым постоянным множителем.

Таким образом теорема доказана.

Литература

1. Демидович Б. П. Лекции по математической теории устойчивости. — М.: Наука, 1967.
2. Эльсгольц Л. Э., Норкин С. Б. Введение в теорию дифференциальных уравнений с отклоняющимся аргументом. — М.: Наука, 1971.
3. Магомедов А. Р. — Докл. АН АзССР, т. XXXVI, № 1, 1980, с. 11–15.
4. Магомедов А. Р. — Изв. АН АзССР, серия физ.-тех. и матем. наук, № 1, 1977, с. 104–109.

Азербайджанский инженерно-строительный институт

Поступило 7.VIII 1984

Э. Р. Мәһәммәдов, Г. М. Нәбиев

МАКСИМУМЛУ ХӘТТИ ДИФЕРЕНСИАЛ ТӘНЛИКЛӘРИН ҮӘЛЛӘРИНИН ДАЈАНЫГЛЫГЫНЫН БӘЗИ МӘСӘЛӘЛӘРИ ҺАГГЫНДА

Бүшдә «максимумлұ хәтти» систем дифференциал тәнликләриңе бағылыш вә илк дәфә оларға бу тәнликләрниң экспоненциал дајаныглығы һағында теорема ишбат едилди.

А. Р. Magomedov, G. M. Nabiev

ON SOME QUESTIONS OF STABILITY OF SOLUTIONS OF THE LINEAR DIFFERENTIAL EQUATIONS WITH MAXIMA

A system of linear differential equations with maxima is considered. For the first time the theorem of exponential stability of solutions for the above-mentioned equations is proved.

С. Р. МУСАЕВ, Т. М. ЭФЕНДИЕВ

ПОСТРОЕНИЕ МНОГОМЕРНЫХ ДОПУСТИМЫХ ПАР, РЕАЛИЗУЮЩИХ УПРАВЛЯЕМОСТЬ МЕТОДОМ ИТЕРАЦИИ ПИКАРА—РАКОВЩИКА

(Представлено академиком АН Азербайджанской ССР А. А. Эфендиеву)

Впервые метод итерации (последовательных приближений) был применен к отысканию решения дифференциального уравнения Пикаром в 1890 г. [6]. Затем в 1962–1964 гг. Раковщик оригинально приспособил его для построения допустимых пар, реализующих управляемость [2, 3].

1. Пусть поведение объекта описывается нелинейным векторным дифференциальным уравнением:

$$\frac{d\bar{x}}{dt} = \bar{f}(t, \bar{x}, \bar{u}) \quad (1)$$

$$\bar{x}(t)|_{t=t_0} \in M(t_0) \quad (2)$$

$$\bar{x}(t)|_{t=t_1} \in M(t_1) \quad (3)$$

$\bar{f}(t, \bar{x}, \bar{u})$ определена в $D_t = D_t \times D_x \times D_u$, $D_t = [t_0, T_1]$; $D_u \in K^r$, D_u замкнуто, для $t_0, t_1 \in D_t$, $M(t_0) \in K^n$, $M(t_1) \in K^n$, $D_x = \{\bar{x} \in R^n : \|\bar{x} - \bar{x}_0\| \leq c\}$, $c \in R$ и $c > 0$, $D_x = \bigcup_{t_0 \in D_t, x_0 \in M(t_0)} D_{x_0}$, для $t_0, t_1 \in D_t$, $M(t_0) \subset D_x$, $M(t_1) \subset D_x$.

Пусть $\bar{u}(t)$, определенное на отрезке $[t_0, t_1]$, допустимое управление (определение см. в [1, § 1, л. 1], в частности оно кусочно-непрерывно и непрерывно слева в точках разрыва), тогда при выборе некоторого $\bar{x}_0 \in M(t_0)$ может существовать соответствующее ему решение задачи Коши в смысле Понтрягина [1, стр. 16–17], или, коротко, —П-решение. По построению П-решение непрерывно и кусочно-дифференцируемо.

Определение 1.

Допустимое управление $\bar{u}(t)$ вместе с соответствующим ему одним из П-решений называется допустимой парой.

Определение 2.

Допустимая пара называется реализующей управляемость, если ее траектория $\bar{x}(t)$ удовлетворяет условию (3).

Определение 3.

Система (1–3) называется управляемой, если существует хотя бы одна допустимая пара, реализующая управляемость.

2. Теорема 1.

Пусть выполнены условия:

1°. $\bar{f}(t, \bar{x}, \bar{u})$ непрерывна в D_U ;

2°. В этой же области она удовлетворяет условию Липшица по переменным \bar{x} , \bar{u} с постоянной $\kappa > 0$

$$\|\bar{f}(t, \bar{x}_1, \bar{u}_1) - \bar{f}(t, \bar{x}_2, \bar{u}_2)\| < \kappa(\|\bar{x}_1 - \bar{x}_2\| + \|\bar{u}_1 - \bar{u}_2\|)$$

3°. $\bar{f}(t, \bar{x}, \bar{u})$ удовлетворяет условию Раковщика для любых $t^i \in [t_0, t_1]$, $\bar{x}^i \in D_{x_0}$, $i = 1, n$; $\bar{u}_1, \bar{u}_2 \in D_u$.

$$\|\bar{f}_i(t^i, \bar{x}^i, \bar{u}_1) - \bar{f}_i(t^i, \bar{x}^i, \bar{u}_2)\|_{i=1}^n \geq L \|\bar{u}_1 - \bar{u}_2\|,$$

где $L > 0$; а t_0, t_1, \bar{x}_0 задаются ниже;

4°. Существуют $t_0, \bar{x}_0 \in M(t_0)$, $t_1, \bar{x} \in M(t_1)$, $\bar{x} \in D_{x_0}$ такие, что при любых $t^i \in [t_0, t_1]$, $\bar{x}^i \in D_{x_0}$, $i = 1, n$ система уравнений

$$\int_{t_0}^{t^i} \bar{f}_i(t^i, \bar{x}^i, \bar{u}) dt = \bar{x}^i - \bar{x}_0 / (t_1 - t_0)$$

имеет решение $\bar{u} \in D_u$.

Тогда

а) система управляема; б) допустимая пара, реализующая управляемость, строится методом итерации Пикара–Раковщика;

в) управление искомой пары кусочно-постоянно.

Впервые эту задачу в скалярном виде рассмотрел Раковщик [2], затем этот результат был дополнен работой авторов [4], а [2] и [4] обобщены в работе [5].

Сформулированная теорема 1 также является обобщением [2] (уже вторым). В многомерном случае имеется результат Раковщика [3], однако там на нелинейный оператор $\bar{f}(t, \bar{x}, \bar{u})$ наложено также жесткое условие, как „почти линейность“. В то же время у этого результата есть такое преимущество, как полная конструктивность его доказательства.

3. Для доказательства теоремы 1 построим последовательности $(\bar{x}_m(t), m \geq 0)$, $(\bar{u}_m, m \geq 0)$.

Вначале предположим, что отрезок $[t_0, t_1]$ достаточно мал, точнее

$$5^\circ. P[1] \quad (t_1 - t_0) M \leq c,$$

где

5°. $M = \max_{t, \bar{x}, \bar{u}} \|\bar{f}(t, \bar{x}, \bar{u})\|$ – максимальный по модулю коэффициент производной по времени в правой части уравнения (1).

6°.

$$P[1] \quad q = (t_1 - t_0) \kappa \left(1 + \frac{\kappa}{L}\right) < 1$$

За нулевое приближение возьмем произвольную функцию $\bar{x}_0(t) \in D_{x_0}$, удовлетворяющую условиям:

$$\bar{x}_0(t)|_{t=t_0} = \bar{x}_0 \quad (4)$$

$$\bar{x}_0(t)|_{t=t_1} = \bar{x} \quad (5)$$

Рассмотрим интегральное уравнение

$$\int_{t_0}^{t_1} \bar{f}(t, \bar{x}_0(t), \bar{u}) dt = \bar{x} - \bar{x}_0 \quad (6)$$

или

$$\sum_{i=1}^n (t_1 - t_0)^i f_i(t^i, \bar{x}_0(t^i), \bar{u}) = x^i - \bar{x}_0^i \quad (7)$$

Из условий 4° следует, что у этой системы уравнений имеется решение $\bar{u}_0 \in D_u$. Тогда положим

$$\bar{x}_1(t) = \bar{x}_0 + \int_{t_0}^t \bar{f}(t, \bar{x}_0(t), \bar{u}_0) dt$$

Очевидно, что $\bar{x}_1(t)$ удовлетворяет (4)–(5), далее

$$\|\bar{x}_1(t) - \bar{x}_0\| = \left\| \int_{t_0}^t \bar{f}(t, \bar{x}_0(t), \bar{u}_0) dt \right\| \leq (t_1 - t_0) M \leq c \quad (\text{в силу } 5^\circ) \quad (8)$$

Аналогично строятся и остальные члены последовательности по формуле

$$\text{шаг } i \quad x_m(t) = \int_{t_0}^t \bar{f}(t, \bar{x}_{m-1}(t), \bar{u}_{m-1}) dt + \bar{x}_0, \quad (9)$$

причем по построению $\bar{u}_m \in D_u$, $\bar{x}_m(t) \in D_{x_0}$ удовлетворяет условиям (4)–(5).

Из формулы (9) и условий (4)–(5), которым удовлетворяет $\bar{x}_m(t)$, следует

$$\begin{aligned} & \int_{t_0}^{t_1} [\bar{f}(t, \bar{x}_{m-1}(t), \bar{u}_{m-1}) - \bar{f}(t, \bar{x}_{m-2}(t), \bar{u}_{m-1})] dt = \\ & = - \int_{t_0}^{t_1} [\bar{f}(t, \bar{x}_{m-2}(t), \bar{u}_{m-1}) - \bar{f}(t, \bar{x}_{m-2}(t), \bar{u}_{m-2})] dt \end{aligned} \quad (10)$$

Из формулы (10) и условия 3° получаем цепочку:

$$\begin{aligned} & (t_1 - t_0) L \|\bar{u}_{m-1} - \bar{u}_{m-2}\| < \\ & \leq (t_1 - t_0) \|f_i(t^i, \bar{x}_{m-2}(t^i), \bar{u}_{m-1}) - f_i(t^i, \bar{x}_{m-2}(t^i), \bar{u}_{m-2})\|_{i=1}^n = \\ & = \left\| \int_{t_0}^{t_1} [\bar{f}(t, \bar{x}_{m-2}(t), \bar{u}_{m-1}) - \bar{f}(t, \bar{x}_{m-2}(t), \bar{u}_{m-2})] dt \right\| \leq \\ & \leq \int_{t_0}^{t_1} \|\bar{f}(t, \bar{x}_{m-1}(t), \bar{u}_{m-1}) - \bar{f}(t, \bar{x}_{m-2}(t), \bar{u}_{m-1})\| dt \leq \\ & \leq (t_1 - t_0) \kappa \max_t \|\bar{x}_{m-1}(t) - \bar{x}_{m-2}(t)\| \end{aligned} \quad (11)$$

Обозначим

$$\Delta_x^m = \max_t \|\bar{x}_m(t) - \bar{x}_{m-1}(t)\|, \quad \Delta_u^m = \|\bar{u}_m - \bar{u}_{m-1}\| \quad (12)$$

Тогда из (11) следует

$$\Delta_u^{m-1} \leq \frac{\kappa}{L} \Delta_x^{m-1} \quad (13)$$

Далее

$$\|\bar{x}_m(t) - \bar{x}_{m-1}(t)\| \leq \int_{t_0}^{t_1} \|\bar{f}(t, \bar{x}_{m-1}(t), \bar{u}_{m-1}) - \bar{f}(t, \bar{x}_{m-2}(t), \bar{u}_{m-1})\| dt \leq (t_1 - t_0) \kappa (\Delta_x^{m-1} + \Delta_u^{m-1}) \quad (14)$$

или

$$\begin{aligned} \Delta_x^m &\leq (t_1 - t_0) \kappa \left(\Delta_x^{m-1} + \frac{\kappa}{L} \Delta_u^{m-1} \right) = \\ &= (t_1 - t_0) \kappa \left(1 + \frac{\kappa}{L} \right) \Delta_x^{m-1} = q \Delta_x^{m-1}, \end{aligned} \quad (15)$$

где $q < 1$ в силу 6°.

(15) эквивалентно равномерной сходимости $\bar{x}_m(t)$, тогда из (13) следует сходимость \bar{u}_m . Переходя к пределу в (9) и учитывая, что $x_m(t)$ удовлетворяет (4)–(5), получаем, что пределы $\bar{x}(t)$ и \bar{u} являются допустимой парой, реализующей управляемость. Общий случай, когда отрезок $[t_0, t_1]$ произвольен, то есть, когда не выполняются условия 5°, 6° рассматривается как и в [2–5]. Теорема 1 доказана.

5. Теперь с помощью теоремы 1 построим терминальное управление.

На множестве допустимых пар введем отображение Φ :

$$\Phi(\bar{x}(t), \bar{u}(t)) = \bar{x}(t) \quad (16)$$

Через g обозначим функцию n переменных и рассмотрим функционал:

$$g(\Phi(\bar{x}(t), \bar{u}(t))) = g(\bar{x}(t)) \quad (17)$$

Определение 4.

Допустимая пара, реализующая управляемость, называется терминальной, если она минимизирует функционал (17) на множестве всех допустимых пар, реализующих управляемость.

Введем множества:

$S_1 = \{\bar{x}(t_1) : \langle \bar{x}(t), \bar{u}(t) \rangle \text{—допустимая пара, реализующая управляемость}\};$

$S_2 = \{\bar{x} : \bar{x} \text{—удовлетворяет условию } 4^\circ\}.$

ТЕОРЕМА 2. Пусть выполнены условия 1°–3° теоремы 1, а также 4°. $S_2 \neq \emptyset$ (из этого следует $S_1 \neq \emptyset$);

5°. $\min_{\bar{y} \in S_1} \{g(\bar{y})\} = \min_{\bar{y} \in S_2} \{g(\bar{y})\}.$

Тогда

- а) терминальная пара существует;
- б) она строится методом ИПР;
- в) ее управление кусочно-постоянно.

Если условие 5° не выполняется, то можно говорить об условно-терминальной паре.

Литература

1. Понtryгин Л. С. Математическая теория оптимальных процессов. Изд. 3. — М.: Наука, 1976.
2. Раковщик Л. С. — Автоматика и телемеханика, т. 23, 1962, № 10, 1277–1283.
3. Раковщик Л. С. Автоматика и телемеханика, т. 25, 1964, № 1, 23–29.
4. Мусаев С. Р., Эфендиев Т. М. — ИАН Азрб. ССР, серия физ.-тех. и матем. наук, № 6, 1975, 30–34.
5. Мусаев С. Р., Эфендиев Т. М. Вопросы математической кибернетики, IV. — Баку: Элм, 1980, 134–145.
6. Picard E.—J. Math. Pures, App. L., 1980, 5, 422–441.

Поступило 19. XI. 1984

НИИ Нефтехимавтомат

С. Р. Мусаев, Т. М. Эфендиев

НИКАР—РАКОВЩИК ИТЕРАЦИЯ УСУЛУ ИЛЭ ИДАРЭ ЕТМЭНИ ТЭМИН
ЕДЭН ЧОХӨЛЧҮЛҮ МҮМКҮН ЧҮТҮН ГУРУЛМАСЫ

Мөгөлөдэ елэ мүмкүн $\bar{u}(t)$ идэрэ функциясынын тапылмасы мэсэлэснээ бахылышынни,

$$\frac{d\bar{x}}{dt} = \bar{f}(t, \bar{x}, \bar{u})$$

дифференциал тэнлинийн узгун һэлли ашагыдаки шартлары өдөсийн:

$$\bar{x}(t_0) \in M(t_0)$$

$$\bar{x}(t_1) \in M(t_1)$$

$$t \in R, \bar{u} \in R^r, \bar{x} \in R^n, M(t_0), M(t_1) \subset R$$

Гоулан чохөлчүлү мэсэлэ Л. С. Раковщикин скайлар ын тэклиф өтдийн усула (РЖК Мат., 1963, № 282) эссланараг һэлл олуулур.

S. R. Musaev, T. M. Efendiev

THE CONSTRUCTION OF MULTI-DIMENSIONAL ADMISSIBLE COUPLES REALIZING MANAGEMENT BY THE PICARD—RACOVSHIC ITERATIONAL METHOD

The authors consider following problem: to find such admissible management $\bar{u}(t)$ so as the conforming to the decision of tensor differential equation:

$$\frac{d\bar{x}}{dt} = \bar{f}(t, \bar{x}, \bar{u})$$

will meet to

$$x(t_0) \in M(t_0)$$

$$x(t_1) \in M(t_1)$$

$$t \in R, \bar{u} \in R^r, \bar{x} \in R^n, M(t_0), M(t_1) \subset R$$

The multidimensional problem is solved by the method elaborated by L. S. Rakovshic for the scalar case. The multi-dimensional terminal management is constructed by the Rakovshic method too.

МАТЕМАТИКА

Акад. Ф. Г. МАКСУДОВ, Ф. А. ИСКЕНДЕРЗАДЕ, Г. М. ДЖАФАРОВ,
В. А. НИКИФОРОВ, С. З. МУСТАФАЕВ, А. М. БАЛАГЕЗОВ, М. С. КЯЗИМОВ

НЕКОТОРЫЕ ВОПРОСЫ УСОВЕРШЕНСТВОВАНИЯ
ТЕХНОЛОГИИ ПРОИЗВОДСТВА И РАЗРАБОТКА КОНСТРУКЦИИ
ЖЕЛЕЗОБЕТОННЫХ СТОЕК ВИНОГРАДНЫХ ШПАЛЕР

В южных регионах нашей страны со среднемесячной температурой более 5—10°C (за исключением нескольких дней в году) производство на открытых полигонах железобетонных стоек виноградных шпалер [1] представляется целесообразным без применения дорогой и трудоемкой тепловлажной обработки.

С этой целью на полигоне, вдоль его узкоколейной транспортной линии, через 0,7—0,8 м размещены стальные формы (на каждые 15 шт. шпалер размером 95×95×2800 мм), после заполнения бетонной смесью и ее уплотнения, на второй день они освобождаются от боковых зажимов и стальных перегородок (рис. 1). Далее виброформованные шпалеры, последовательно каждые в отдельности на нижней деревянной рейке слегка извлекаются из формы, укладываются в один ряд на специальные стеллажи второй линии. Через день или 10—12 ч, когда температура окружающей среды 25—30°C (май—август) и через два дня в пасмурные дни (декабрь—январь) шпалеры освобождаются от деревянных реек и для последующего твердения укладываются в штабеля третьей линии полигона (рис. 1). Здесь шпалеры до отгрузки проходят твердение на открытом воздухе при хорошо организованном уходе, где полив до семидневного возраста шпалер составляет 5—7 раз в сутки, далее до возраста 28 суток количество поливов постепенно уменьшается до 3.

При сухой и жаркой температуре, во избежание раннего обезвоживания, можно пользоваться разработанными НИИЖБ пленкообразующими составами [2].

Конструкция, используемая для формовки шпалер, стальная и состоит из жесткой сварной рамы (из швеллера № 14) с четырьмя попечниками из полосового листа толщиной в 5 мм, на которые упираются деревянные рейки (95×40×2800 мм). Между этими рейками, упирающимися также на попечник, во всю длину (2800 мм) формы укладываются стальные перегородки из того же полосового листа (толщ. 5 мм). Надлежащая жесткость придается форме двумя специальными боковыми прижимными устройствами после укладки деревянных реек и стальных перегородок.

После проверки готовности формы и ее смазки маслами в промежутках между каждыми стальными перегородками укладываются заранее приготовленные стальные каркасы, где для образования бетонного защитного слоя каждый каркас между перегородками снабжается специальными фиксаторами. После укладки каркасов на рабочее место в стальной форме производится заполнение ее бетонной смесью (под-

вижность 5—7 см по стандартному конусу) с последующим виброуплотнением.

Стальной каркас, согласно республиканским стандартам [1], состоит из 4 Ф 5 мм, L=2750 мм арматуры класса $E_p = 1$ и пяти хамутов Ф 4 мм, L=210 мм из того же класса арматуры. Каркас производится из

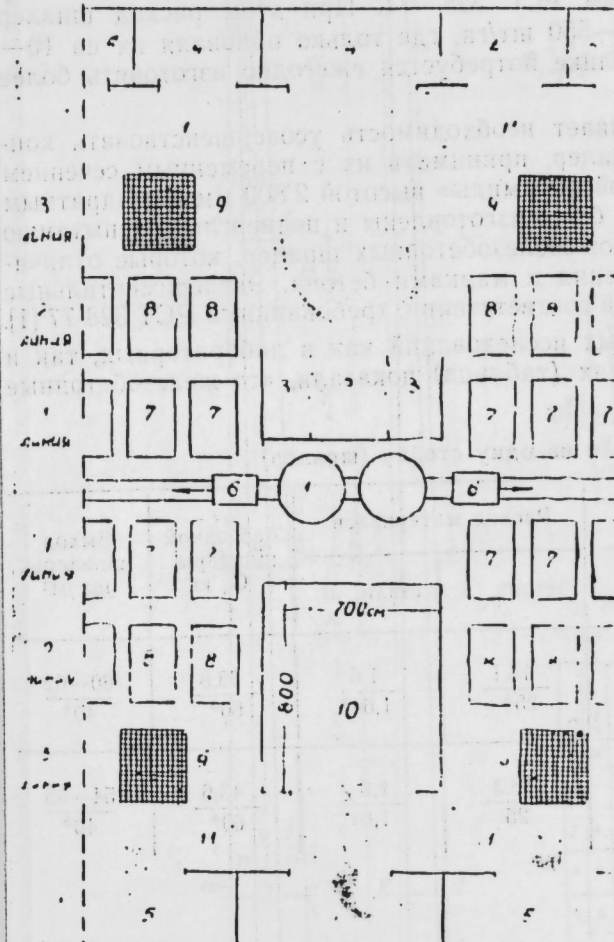


Рис. 1. Схема разм. оборудования на участке полигона:
1 — бетономешалка; 2, 3 — крупн. и мелк. заполн. бетона;
4 — скл. цем.; 5 — арм. цех;
6 — узкоколейка с парн. вагон;
7 — ст. формы; 8 — шпалеры
на рейках; 9 — штабель; 10 —
скл. цем.; 11 — окруж. дорога

плоской сетки путем двойного загиба под прямым углом на специально сконструированной установке [2], где плоская сетка изготавливается контактной сваркой в специализированном арматурном цехе полигона.

Участок полигона, отведенный под производство виноградных шпалер марки ЖС=2,8 [1], обслуживается автономным бетонным узлом, включающим две бетономешалки «БС-80» каждая по 0,5 м³ объемом, складами цемента и заполнителей бетона (рис. 1). Общее количество стальных форм на участке — 98 шт, которые обслуживаются двумя бригадами. Полигон состоит из пяти таких автономно работающих участков мощностью до 60 тыс. м³ изделий в год.

Многолетний опыт производства железобетонных виноградных шпалер и эксплуатация их в различных виноградарческих зонах республики показали, что: один человек не в состоянии переносить по полю шпалеры длиной в 2,8 м из тяжелого бетона весом в 58—62 кг/шт; и в процессе погрузки, транспортировки и разгрузки шпалер, ввиду хрупкости происходит поломка их на 15—20%;

— отсутствие механизации процессов установки шпалер на рабочем месте приводит к повышенной трудоемкости полевых работ;

— расстояние между шпалерами в рядах 10; 7; 6 и 5 м при ширине между рядами соответственно 2,5; 3,0; 3,5 и 4,0 м вполне достаточно, если показатели прочности железобетонных виноградных шпалер удовлетворяют требованиям РСТ 328—77. При этом расход шпалер в среднем составляет 500—550 шт/га, где только обновляя их на 10—15% в среднем по республике потребуется ежегодно изготавливать более 10 млн шт.

Все изложенное вызывает необходимость усовершенствовать конструкции виноградных шпалер, принимать их с переменным сечением типа «правильной усеченной пирамиды» высотой 2 800 мм с квадратным основанием. С этой целью были изготовлены и подверглись испытанию две серии опытных образцов железобетонных шпалер, которые отличались лишь размерами сечения и марками бетона. Экспериментальные исследования проводились в соответствии с требованиями РСТ 328-77 [1].

Результаты проведенных исследований как в лабораторных, так и в производственных условиях (таблица) показали, что железобетонные

Показатели на одну стойку (шпалер)

Размеры, мм		Расход материалов		Вес одной шпалеры С, кг	Выход шпалеры, шт./м ³
на опоре	наверху	длина	бетона, л.	стали, кг	
95×95	55×55	2800	16,1 25*	1,6 1,64*	38,8 60*
100×100	60×60	2800	18,3 25	1,6 1,64*	43,6 60*

* По РСТ 328-77 [1].

виноградные шпалеры типа «усеченной пирамиды» длиной в 2,8 м и размерами 60×60 мм на верхнем и 100×100 мм нижнем сечениях (рис. 2) при марке бетона «300» и шпалеры соответственно сечениями 55×55 и 95×95 мм при марке бетона «350» вполне удовлетворяют всем требованиям, предъявляемым им РСТ-328-77 [1].

При этом собственные веса шпалер, при прочих равных условиях прочности, соответственно снижаются с 60 до 43 и 38 кг/шт (таблица).

Выход 1 м³ бетонной смеси при этом растет с 40 до 61 и 58 шт соответственно при незначительном росте расхода цемента (5—7%).

Из изложенного приходим к выводу, что разработанная конструкция железобетонных виноградных шпалер типа «усеченной пирамиды» отвечает требованиям РСТ 328-77 и рекомендуется для внедрения в практику строительства. Технико-экономическая эффективность в среднем составляет 30 руб на 1 м³ изделия.

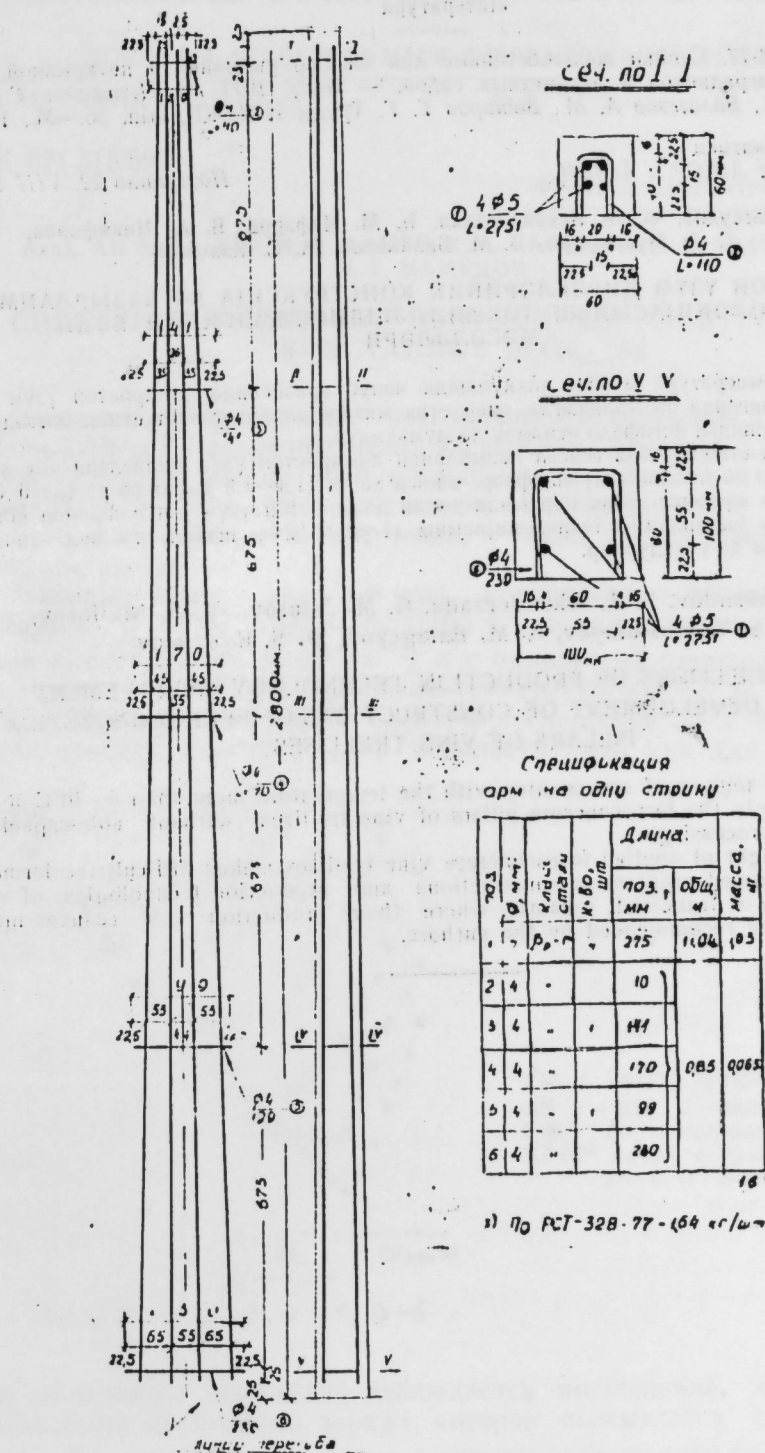


Рис. 2. Конструкция ж/б стоек виноград. шпалер типа «усеченной пирамиды»

Литература

1 РСТ 328-77. Стойки железобетонные для шпалер укрывной и неукрывной зон поливных виноградников и пальмовых садов. — Баку, 1977. 2. Джагаров Г. М., Мамедов А. Р., Балагезов А. М., Баширов Т. Г. Труды НИИЖБ, вып. 35.—М., 1977.

Институт математики
и механики АН АзССР и АзИСИ

Поступило 22. VIII 1984

Ф. Г. Магсудов, Ф. Э. Искендерзадэ, И. М. Чәфәров, В. А. Никифоров,
С. З. Мустафаев, Э. М. Балакөзов, М. С. Казымов

ДЭМИРБЕТОН ҮЗҮМ ДИРӘКЛӘРИНИН КОНСТРУКЦИЯ ВӘ НАЗЫРЛАНМА ТЕХНОЛОГИЯСЫНЫН ТӘКМІЛЛӘШДИРИЛМӘСИНИН БӘЗИ МӘСӘЛӘЛӘРИ

Нәмишә температуру мүсбәт чохкүнәшли чәнуб әразисинде дәмирбетон үзүм дирәкләринин полигонда назырладыгда, енеркетик материаллара гәнаэт етмәк мәгәсдила, рүтүбәтли истиликтән истифадә етмәмәк дә мүмкүндүр.

Республика стандартына эсасан назырланан дәмирбетон үзүм дирәкләри чох ағыр олур. Буна көрә дә мәгәләдә мүэллифләр, чәкин хејли (1,4—1,5 дәфә) аз вә тәләб едилән мәнәкәмлијә мұвағиғ кәсіп пирамида типти дәмирбетон үзүм дирәкләринин конструкциясыны вә назырланма технологиясыны (1-чи вә 2-чи шәкил) тәклиф едирләр. Бу дирәкләр һәм дә учудурлар.

F. G. Maksudov, F. A. Iskenderzade, G. M. Jafarov, V. A. Nikiforov,
S. Z. Mustafayev, A. M. Balagezov, M. S. Kyazimov

SOME QUESTIONS OF PRODUCTION TECHNOLOGY IMPROVEMENT AND THE DEVELOPMENT OF CONSTRUCTIONS OF FERROCONCRETED PILLARS OF VINE TRELLISES

In southern regions of our country with the temperature more than 5—10°C it is expedient to apply the ferroconcrete pillars of vine trellises without able-capaeious heat humidity processing.

A large weight of applied ferroconcrete vine trellises makes difficult the farmer's work. The developed progressive constructions and production technologies of vine trellises of type of truncated pyramid, where their production cost reduces up to 14—15 time, are recommended by the authors.

АЗӘРБАЙЧАН ССР ЕЛМЛӘР АКАДЕМИЈАСЫНЫН МӘРҮЗӘЛӘРИ

ДОКЛАДЫ АКАДЕМИИ НАУК АЗЕРБАЙДЖАНСКОЙ ССР

ТОМ XLII ЧИЛД № 2 1986

№ 2 1986

УДК 621.315.592

ФИЗИКА ПОЛУПРОВОДНИКОВ

Акад. АН Азерб. ССР М. И. АЛИЕВ, Х. А. ХАЛИЛОВ, Р. Н. РАГИМОВ,
Э. Т. МАМЕДОВ

СПЕКТРЫ ПОГЛОЩЕНИЯ ОБЛУЧЕННЫХ ЭЛЕКТРОНАМИ КРИСТАЛЛОВ $\text{In}_x\text{Ga}_{1-x}\text{As}$

В данной работе изучалось поглощение ИК-излучения в кристаллах $\text{In}_x\text{Ga}_{1-x}\text{As}$ до и после облучения электронами энергией 3,5 МэВ. Приводятся спектры вблизи края поглощения и поглощения свободными носителями в указанных кристаллах. Рассматривается взаимосвязь между спектрами и дозой облучения, а также содержанием компонент в твердом растворе.

Исследовались две группы моноокристаллических образцов $\text{In}_x\text{Ga}_{1-x}\text{As}$ ($x=0,02; 0,05; 0,96; 0,91$) с близкими значениями концентраций электронов ($N \sim 10^{17} \text{ см}^{-3}$) и с одинаковой степенью компенсации в каждой группе в интервале температур 90—400 К и длины волн $\lambda = 2,5 \div 25 \text{ мкм}$. Характерные спектры поглощения до и после облучения приведены на рис. 1—3. В области 7—25 мкм для всех образ-

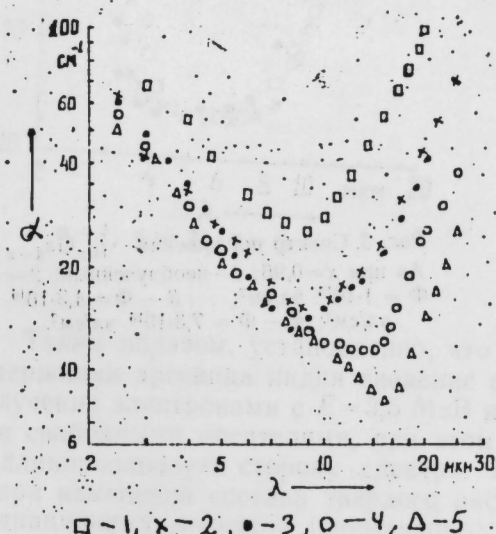


Рис. 1. Спектр поглощения $\text{InGa}_{1-x}\text{As}$ $x = 0,02$: 1 — необлученный; $x = 0,05$; 2 — необлученный; 3 — $\Phi = 3,5 \cdot 10^{15} \text{ эл}/\text{см}^2$; 4 — $\Phi = 1,35 \cdot 10^{16} \text{ эл}/\text{см}^2$; 5 — $\Phi = 7,3 \cdot 10^{16} \text{ эл}/\text{см}^2$.

цов до и после облучений наблюдается поглощение, связанное со свободными носителями заряда, которое описывается соотношением $\alpha \sim \lambda^{\gamma}$. Величина γ изменяется в зависимости от дозы облучения, температуры и состава твердого раствора. Как видно из рис. 1, в первой группе образцов при облучении зависимость $\alpha \sim \lambda^{\gamma}$ усиливается

(кр. 2 и 5). В сплавах, богатых арсенидом индия, заметных изменений в законе $\alpha \sim \lambda^1$ не наблюдалось.

Облучение быстрыми электронами сильнее разрушает решетку сплавов с преобладающим содержанием GaAs, по сравнению с решет-

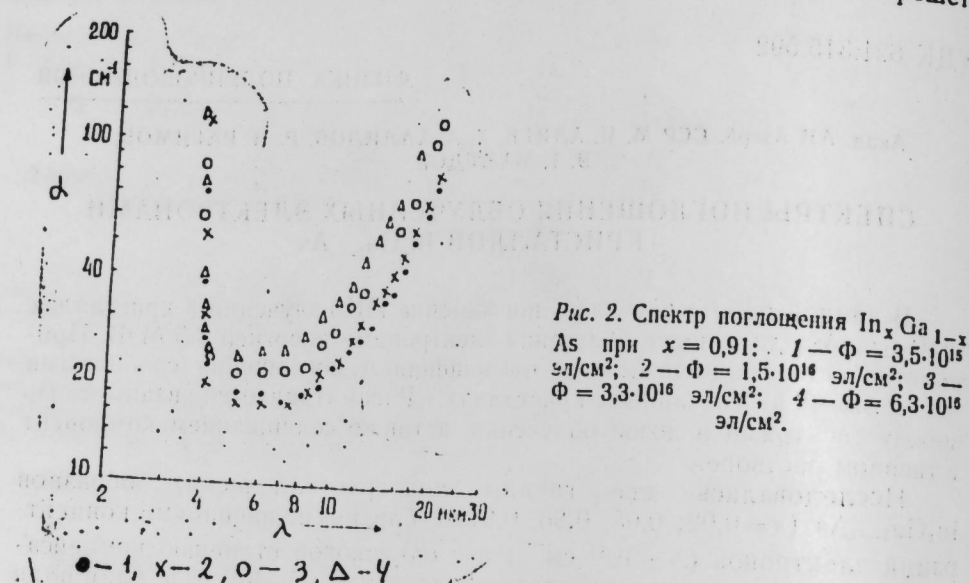


Рис. 2. Спектр поглощения $In_xGa_{1-x}As$ при $x = 0,91$: 1 — $\Phi = 3,5 \cdot 10^{15}$ эл/см²; 2 — $\Phi = 1,5 \cdot 10^{16}$ эл/см²; 3 — $\Phi = 3,3 \cdot 10^{16}$ эл/см²; 4 — $\Phi = 6,3 \cdot 10^{16}$ эл/см².

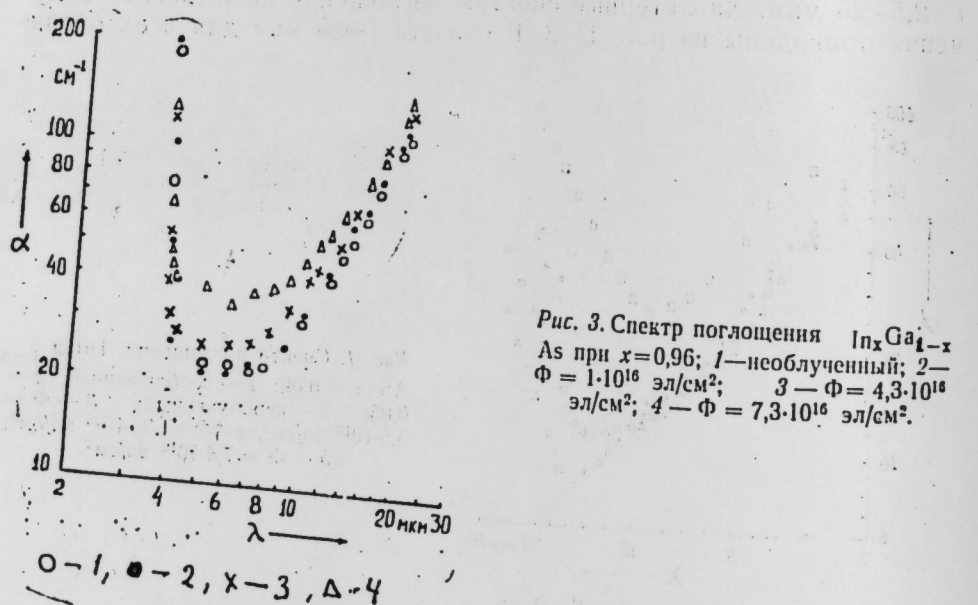


Рис. 3. Спектр поглощения $In_xGa_{1-x}As$ при $x = 0,96$: 1 — необлученный; 2 — $\Phi = 1 \cdot 10^{16}$ эл/см²; 3 — $\Phi = 4,3 \cdot 10^{16}$ эл/см²; 4 — $\Phi = 7,3 \cdot 10^{16}$ эл/см².

кой сплава, богатого InAs. Введение радиационных дефектов при облучении кристаллов $In_xGa_{1-x}As$ ($x = 0,02$ и $0,05$) электронами с $E = 3,5$ МэВ приводит к уменьшению поглощения свободными носителями заряда (рис. 1, кр. 3, 4, 5). Увеличение содержания InAs в сплавах $In_xGa_{1-x}As$ также приводит к уменьшению поглощения свободными носителями заряда (рис. 1, кр. 1 и 2), при этом минимум на кривых смешается

18

в длинноволновую сторону. Отсюда следует, что дозовая зависимость минимумов на кривых на первый взгляд подобна изменениям, полученным в результате влияния состава сплава (на рис. 1, кр. 1 и 2 — необлученные кристаллы $In_xGa_{1-x}As$ с $x = 0,02$ и $x = 0,05$, соответственно). В сплавах при малом содержании GaAs наблюдается дополнительное поглощение на примесях при облучении электронами (рис. 2, 3).

При облучении до $\Phi = 10^{17}$ эл/см² в области края фундаментального поглощения заметных изменений не наблюдалось. Как видно из рис. 4, при температуре 90К в облученных кристаллах $In_xGa_{1-x}As$ где $x = 0,91$ в области поглощения на свободных носителях зависимость $\alpha \sim \lambda^1$, также усиливается. Однако в области энергий, меньших ширины запрещенной зоны, заметных изменений в поглощении не наблюдается. Отсюда следует, что в сплавах $In_xGa_{1-x}As$ ($x = 0,91$) влияние дефектов на процесс поглощения в интервале температур 90–400К остается неизменным.

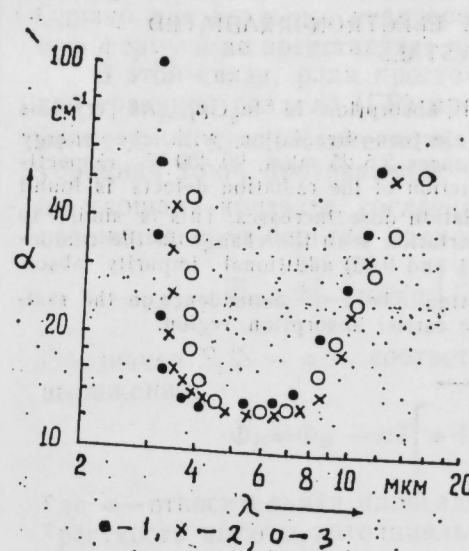


Рис. 4. Спектр поглощения $In_xGa_{1-x}As$ при $x = 0,91$, $\Phi = 6,3 \cdot 10^{16}$ эл/см²: 1 — $T = 90$ К; 2 — $T = 200$ К; 3 — $T = 300$ К

Таким образом, установлено, что в сплавах $In_xGa_{1-x}As$ при малом содержании арсенида индия введение радиационных дефектов при облучении электронами с $E = 3,5$ МэВ приводит к уменьшению поглощения свободными носителями, при этом минимум на кривых смешается в длинноволновую сторону спектра. Подобные результаты получены и при изменении состава твердого раствора, но в отличие от влияния радиационных дефектов (снимающегося при $T > 500$ К) эти изменения в спектре поглощения с температурой не снимаются. Подобия, наблюдавшиеся при изменении состава твердого раствора и при изменениях спектров поглощения под влиянием облучения, позволяют в дальнейшем выяснить вопрос о типе дефектов и механизме их образования в твердых растворах $In_xGa_{1-x}As$.

Институт физики
АН АзССР

Поступило 23. X. 1984

Ш. Г. АСКЕРОВ, Г. Г. ҚАДЫМОВ

ПРОСТЕЙШАЯ НЕОДНОРОДНАЯ МОДЕЛЬ ДИОДОВ ШОТТКИ

(Представлено академиком АН Азербайджанской ССР Э. Ю. Салаевым)

Согласно неоднородной модели контакта металл-полупроводник, диод Шоттки (ДШ) рассматривается как параллельное соединение многочисленных однородных элементарных диодов с различными параметрами [1]. Очевидно, что между параметрами общего контакта и элементарным контактом должна существовать определенная связь. Однако для реальных неоднородных контактов эта связь имеет сложную форму и не представляет практического интереса.

В этой связи, ради простоты, в работах [2-4] ДШ с неоднородной границей раздела (ГР) представляется как параллельное соединение двух диодов, имеющих параметры: Φ_B , S_1 и Φ_B' , S_2 . При этом, усредняя токи, протекающие через отдельные элементарные диоды по площади контакта, согласно формуле $\bar{S} = j_1 S_1 + j_2 S_2$, для высоты потенциального барьера полного контакта (Φ_B) получим:

$$\Phi_B = \Phi_B' - \kappa T \ln \left[\frac{S_1}{\bar{S}} + \frac{S_2}{\bar{S}} \exp \left(\frac{\Phi_B - \Phi_B'}{\kappa T} \right) \dots \right] \quad (1)$$

Обозначая $S_1/\bar{S} = \omega$ и, соответственно, $S_2/\bar{S} = 1 - \omega$ для Φ_B получим выражение:

$$\bar{\Phi}_B = \Phi_B' - \kappa T \left[\omega + (1 - \omega) \exp \left(- \frac{\Delta \Phi}{\kappa T} \right) \right] \dots \quad (1')$$

где ω — относительная площадь первого диода, а $\Delta \Phi = \Phi_B - \Phi_B'$ — контрастность высоты потенциального барьера по поверхности ГР неоднородного контакта.

Усреднение значений высот потенциальных барьеров элементарных диодов по поверхности, согласно формуле $\bar{\Phi}_B S = \Phi_B S_1 + \Phi_B' S_2$, в рамках двухдиодной модели, для $\bar{\Phi}_B$ дает формулу:

$$\bar{\Phi}_B = \Phi_B' + \kappa T (1 - \omega) \frac{\Delta \Phi}{\kappa T} \quad (2)$$

Как следует из формул (1') и (2), усреднение значений высоты потенциального барьера различными способами дает выражения, согласно которым $\bar{\Phi}_B$ зависит как от ω , так и от $\Delta \Phi$.

Графические зависимости $\bar{\Phi}_B(\omega)$, вычисленные по формулам (1') и (2), представлены на рис. 1 соответственно сплошной и пунктирной линиями. Как явствует из графиков, когда $\Delta \Phi \ll \kappa T$ (т. е. когда ГР однородна), большого расхождения между этими зависимостями не наблюдается, а с ростом неоднородности ГР $\Delta \Phi \gg \kappa T$ результаты сильно расходятся.

М. Й. Элијев, Х. Э. Ҳәлилов, Р. Н. Раһимов, Е. Т. Мәммәдов

ЕЛЕКТРОНЛАРЛА ШУАЛАНДЫРЫЛМЫШ $In_xGa_{1-x}As$ КРИСТАЛЛАРЫНЫН
УДМА СПЕКТРЛЭРИ

$In_xGa_{1-x}As$ ($x=0.02; 0.05; 0.91; 0.96$) кристалларында 3,5 MeV енержили электронларла шуаланмадан эввэл ва соңра 2,5÷25 мкм далға түзүлүгү 90÷400 K температур интервалларында оптикальдауда олардың өздөнөсүндө эмэлэ көлмиш дефектлэр $In_xGa_{1-x}As$ ($x=0.02; 0.05$) кристалларында $\alpha \sim \lambda^7$ асылылыгының күчләндирір. Бу нал бәрк мәнделүү тәркібиден асылы олардың спектрләкти дәйшиштүн экинә уйғын көлір.

$In_xGa_{1-x}As$ ($x=0.91$ ва 0.96) кристалларында электронларла шуаланмадан соңра ашгарларда өзгөрдіңде олунур. Сәрбест јүкдашылычылардан удымлауда интервалында $\alpha \sim \lambda^7$ асылылыгының шуаланмасының дозасы тә'сир көстәрмири.

M. I. Aliev, Kh. A. Khalilov, R. N. Rahimov, E. T. Mamedov

ABSORPTION SPECTRA OF THE ELECTRON-IRRADIATED
 $In_xGa_{1-x}As$ CRYSTALS

An investigation is made of the optical absorption in $In_xGa_{1-x}As$ crystals ($x=0.02; 0.05; 0.91; 0.96$) before and after the electron irradiation with the energy 3.5 MeV in the wavelength and temperature ranges 2.5-25 mkm, 90-400 K, respectively. $In_xGa_{1-x}As$ alloys ($x=0.02; 0.05$) introduction of the radiation defects is found to increase the $\alpha \sim \lambda^7$ dependence as the radiation dose increases. This is similar to the reverse process of the absorption spectra variation with the change in the composition of solid solution. In $In_xGa_{1-x}As$ ($x=0.91$ and 0.96) additional impurity absorption was observed under the electron absorption. The $\alpha \sim \lambda^7$ dependence on the radiation dose is essentially invariable in the free carrier absorption region.

Отметим, что здесь параметр $\Delta\Phi/kT$ выступает как критерий неоднородности ГР по поверхности общего контакта.

Ток насыщения ДШ с неоднородной ГР можно представить в виде:

$$I_s = \sum S_i A_i T^2 \exp \left[-\frac{\Phi_{Vi}}{kT} \right] = S A^* T^2 \exp \left[-\frac{\bar{\Phi}_V}{kT} \right] \quad (3)$$

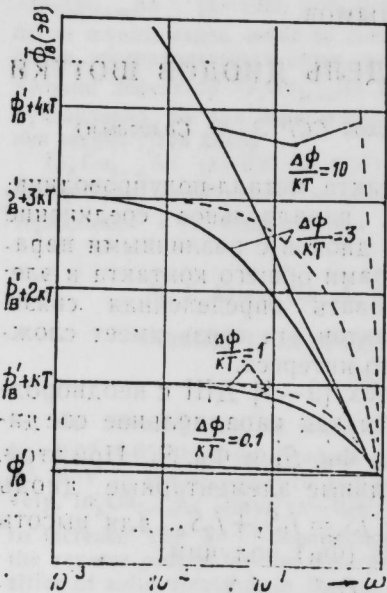


Рис. 1. Зависимость $\bar{\Phi}_V$ от ω при различных значениях $\frac{\Delta\Phi}{kT}$

Здесь A^* и $\bar{\Phi}_V$ являются характеристиками, эквивалентными характеристикам однородного контакта с площадью, равной площади реального контакта. Из (3) для усредненного значения постоянной Ричардсона можно получить выражение:

$$(4) \quad A^* = \frac{1}{S} \sum_{i=1}^n S_i A_i \exp \left[-\frac{\Phi_{Vi} - \bar{\Phi}_V}{kT} \right] \quad (4)$$

Как видно из (4), A^* также является функцией $\Delta\Phi/kT$ и ω . В случае двухдиодной модели и при условии $A_1 = A_2 = A_0$, для A^* следует:

$$(5) \quad A^* = A_0 \exp \left[\frac{\bar{\Phi}_V - \Phi'_V}{kT} \right] \left\{ \omega + (1-\omega) \exp \left[-\frac{\Delta\Phi}{kT} \right] \right\}$$

Если предположить, что между $\bar{\Phi}_V$ и Φ'_V , $\bar{\Phi}_V$ существуют связи по формуле (2), то для A^* получим выражение:

$$(6) \quad A^* = A \exp \left[\frac{\Delta\Phi}{kT} (1-\omega) \right] \left\{ \omega + (1-\omega) \exp \left[-\frac{\Delta\Phi}{kT} \right] \right\}$$

На рис. 2 представлены зависимости A^*/A_0 от $\Delta\Phi/kT$, построенные по формуле (6), параметром которых является ω .

Видно, что A^* не является постоянной, как это предсказывает однородная модель контакта, а меняется в широком интервале значений.

Таким образом, применение двухдиодной модели для описания поведения неоднородного контакта металла с полупроводником по-

казалось, что в зависимости от ω и $\Delta\Phi/kT$ такие основные параметры контакта как высота потенциального барьера $\bar{\Phi}_V$ и постоянная Ричардсона A^* могут меняться в широком интервале значений. Это дает нам основание полагать, что наблюдаемые в экспериментах ши-

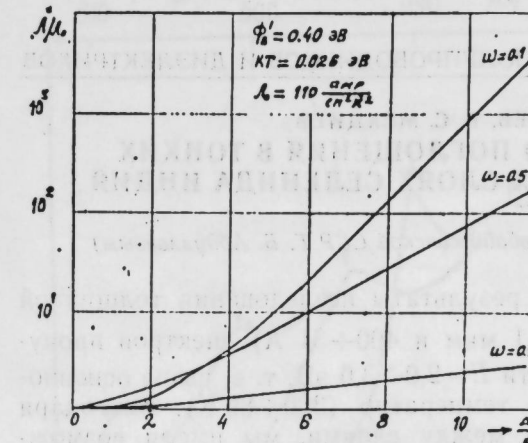


Рис. 2. Зависимость A^*/A_0 от $\frac{\Delta\Phi}{kT}$ при различных значениях ω

рокие изменения параметров одного и того же диода Шоттки, являются следствием неоднородности границы раздела контакта.

Литература

1. Аскеров Ш. Г. Влияние микроструктуры поверхности металла на омические свойства контакта металла—полупроводник.—Письма в ЖТФ, т. 3, вып. 18, стр. 968—1970.
2. Аскеров Ш. Г. и др. Температурная зависимость различных параметров диодов с барьером Шоттки.—Изв. АН Азерб. ССР, серия физ.-техн. и матем. наук, 1981, № 1, с. 83—88.
3. Ohdomari I. and Tu. K.N. Parallel silicide contacts.—J. appl. phys., 51, N 7, p. 3735—3739.
4. Dascalu D., Brezeanu G. H., Dan P. A. and Dima C. Modelling electrical behaviour of nonuniform Al—n-Si Schottky diodes.—Solid State Electr., 1981, 24, p. 897—904.

Институт космических исследований
природных ресурсов АН АзССР

Поступило 9. VII 1985

Ш. Г. Эскеров, Г. И. Гадимов

ШОТТКИ ДИОДЛАРЫНЫН САДЭ ГЕЈРИ-БИРЧИНС МОДЕЛИ

Шоттки диодларынын ики диодлу модели (гејри-бирчинис һал) эсасында потенциал чөпөрин һүндүрлүүүнү вә Ричардсон сабитинин $\frac{\Delta\Phi}{kT}$ вә контакттын бирчиниси саңалары нисбәтиндән асылылыгы тәдгиг олунмуштур. Бу тәдгигатларын эсасында белэ мүйакима јүрүтмөк олар ки, тәчүрүбәдә алышан Шоттки диодларынын параметрләринин көнүш интервалда дәжишмәси метал илә јарымкечиричинин сәрбәддиндә јаранан гејри-бирчиниси иштээлди.

Sh. G. Askerov, G. G. Kadymov

THE SIMPLEST NONUNIFORMITY MODEL BY SCHOTTKY DIODES

In a limit of the two-diode model (of nonuniformity contact) by Schottky diode the dependences of potential barrier height and Richardson's constant due to relative square, and also $\frac{\Delta\Phi}{kT}$, are considered.

These dependences allow to make conclusion that given variations by Schottky diode parameters obtained in real specimens in a broad interval occur in consequence of nonuniformity interface of the metal—semiconductor.

А. Г. АБДУЛЛАЕВ, Г. С. МЕХДИЕВ
**СПЕКТР ЭКСИТОННОГО ПОГЛОЩЕНИЯ В ТОНКИХ
МОНОКРИСТАЛЛИЧЕСКИХ СЛОЯХ СЕЛЕНИДА ИНДИЯ**

(Представлено академиком АН Азербайджанской ССР Г. Б. Абдуллаевым)

В данной работе приводятся результаты исследования толщинной особенности (при толщине $3,0 \div 0,1$ мкм и $400 \div 31$ Å) спектров пропускания кристаллов в InSe в области $E = 2,0 \div 3,0$ эВ, т. е. выше основного края поглощения в диапазоне температур ($300 \div 80$ К). Благодаря слабой Ван-дер-Ваальсовой связи между слоями, мы имели возможность получать тонкие пленки различной толщины методом отслаивания. Как показали наши электронно-микроскопические снимки, слои InSe — сплошные, вплоть до малых толщин ($d < 100$ Å) и могут быть использованы для исследования КРЭ.

ЭКСПЕРИМЕНТАЛЬНАЯ ЧАСТЬ

1. Экситонное поглощение в InSe при толщине $0,1 \div 3$ мкм.
Для определения толщин в области толщин ($0,1 \div 3$ мкм) применяется метод, предлагаемый в работе [2]. Позкаягель преломление кристалла намного больше показателя поглощения $n \gg k$ ($n = 3,5$; $K = 0,04$ при 5200 Å), что вполне соответствует исследуемым пленкам.

На рис. 1 и 2 приведены результаты исследований экситонного поглощения образцов при различных толщинах и температурах. На спектре поглощения "массивных" образцов ($0,7 \div 3,0$ мкм) особые явления не обнаружены. Начиная с толщин $d = 0,7$ мкм, т. е. когда толщина пленки становится сравнимой с длиной волны, на спектре поглощения при 80°K отчетливо проявляется новая линия с энергией $E = 2,48$ эВ (рис. 1). Сильная температурная зависимость обнаруженного в спектре поглощения пика E' (сдвиг в длинноволновую область, уширение полосы поглощения при повышении температуры), а также тот факт, что энергетическое положение E' не зависит от толщины образца, дает все основания полагать, что он связан с экситоном. Получена температурная зависимость E' и $E_{\text{эк}}$. Коэффициент температурной зависимости для E' , как и для $E_{\text{эк}}$, $\frac{dE}{dT} = -4,2 \cdot 10^{-4}$ эВ/град.

На рис. 2 приведена зависимость α_{max} от обратного значения толщины образцов (для толщин $d = 0,1 \div 3$ мкм) при температуре 80°K .

Величина максимального засечения коэффициента экситонного поглощения α_{max} (для линии $E_{\text{эк}}$) с уменьшением толщины образца увеличивается, в то время, как на спектре поглощения выше основного

края поглощения, изменение коэффициента α не наблюдается. Аналогичная зависимость α_{max} от толщины образца наблюдалась для GaSe, GaTe в [3, 4]. Такое же поведение α_{max} при изменении толщины образца наблюдалось и при других температурах. Наблюдающее

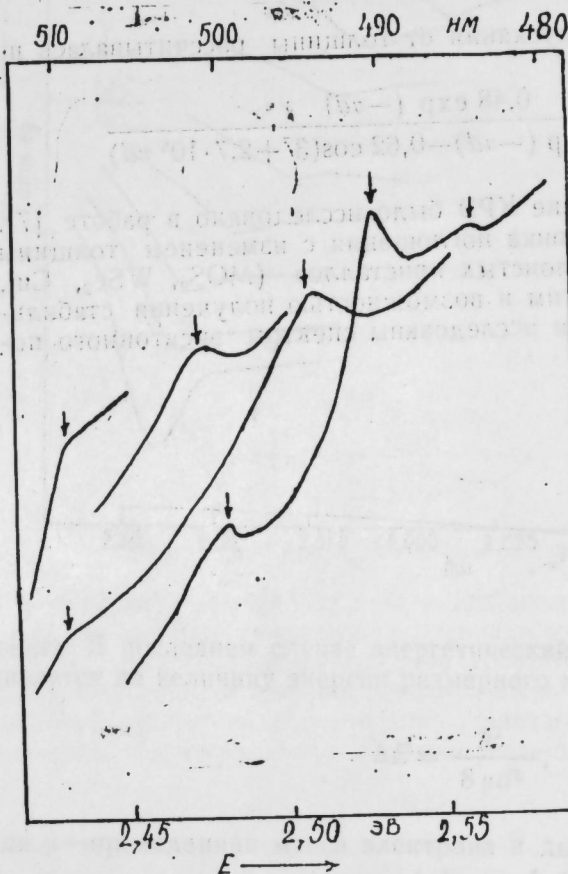


Рис. 1. Спектры поглощения тонкой пленки InSe (толщ. $d = 0,7$ мкм) при различной температуре.

изменение α_{max} для InSe доказывает наличие экситон-фотоинового взаимодействия на экситонной полосе поглощения, что соответствует поляритонной теории [4, 5].

2. Экситонное поглощение в InSe при толщине $d < 400$ Å.
Для определения толщин пленок использовалась методика, предложенная в работе [1]. В этой области толщин ($d < 400$ Å) исчезает интерференция в видимой области спектра пропускания.

Известно, что оптические постоянные тонких пленок и массивных образцов отличаются. Однако поскольку в исследуемой области длии волн спектры оптического поглощения тонких пленок селенида индия различной толщины мало отличаются друг от друга в диапазоне толщин $31 \div 400$ Å, можно предположить, что коэффициент поглощения и показатель преломления существенно постоянны с изменением толщины вне области экситонного поглощения, в нашем случае $\lambda = 5200$ Å ($E = 2,384$ эВ), т. е. в той области спектра пропускания, где отсутствуют ссобые точки. Таким образом, мы определяли тол-

щины тонких пленок InSe путем измерения пропускания света при $\lambda = 5200 \text{ \AA}$ ($E = 2,384 \text{ эВ}$), используя значение толщины кристалла, взятой из теоретической расчетной кривой зависимости пропускания света от толщины, значения которых α и n соответственно равны $1,0 \cdot 10^4 \text{ см}^{-1}$ и $3,5$.

Кривая зависимости пропускания от толщины рассчитывалась по следующей формуле:

$$T = \frac{0,48 \exp(-\alpha d)}{\exp(\alpha d) + 0,1 \exp(-\alpha d) - 0,62 \cos(3^\circ + 2,7 \cdot 10^5 \pi d)}$$

Теоретическое обоснование КРЭ было исследовано в работе [7]. Эффект сдвига экситонного пика поглощения с изменением толщины был зафиксирован на ряде слоистых кристаллов (MOS₂, WSe₂, CuI, GaSe) [1,7–12]. В связи с этим и возможностью получения стабильных тонких пленок InSe были исследованы спектры экситонного поглощения данных пленок.

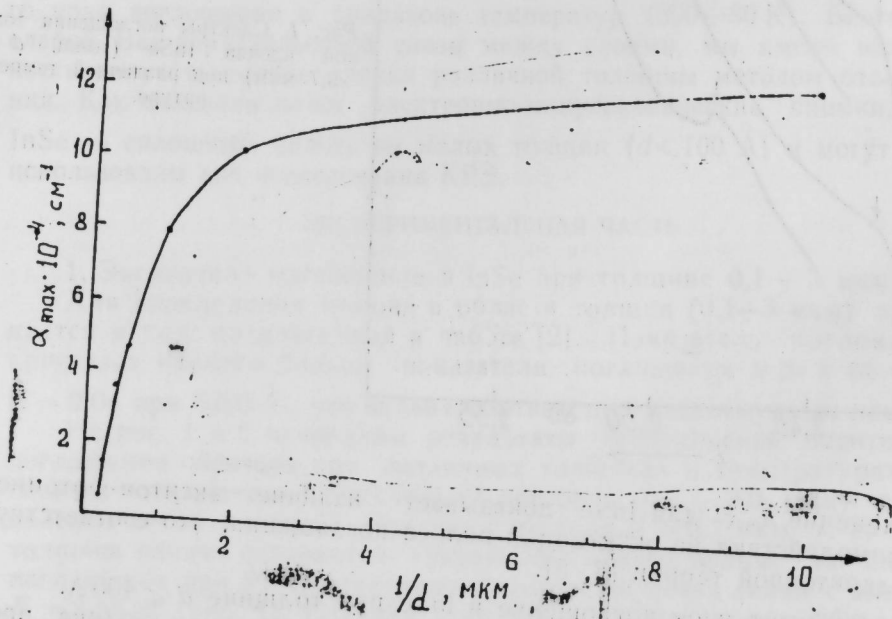


Рис. 2. Зависимость максимума коэффициента поглощения от толщины образца при 80 К

На рис. 3 приведены спектры пропускания тонких пленок различной толщины при $T=80$ К. Спектры сняты на установке КСВУ-1. Свет направлялся вдоль оси «С». Исследуемые пленки получены на ЕРОХУ подложке. Как видно из рисунка, пик экситонного поглощения, соответствующий энергии 2,533 эВ, смещается в сторону коротких длин волн с уменьшением толщины. Наблюдаемые смещения энергетического положения экситона происходят за счет квантового размерного эффекта: причиной сдвига могут быть как изменение энергии связи экситона в тонких слоях [12], так и смещение краев зон за счет размерного кванто-

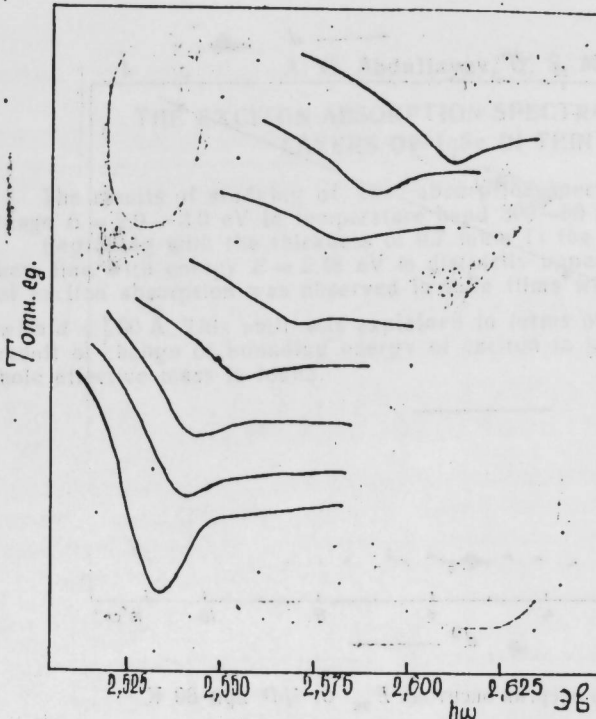


Рис. 3. Спектр пропускания тонких монокристаллических пленок InSe различной толщины (31–400 Å) при 80 К

вального размерного эффекта, связанный с уменьшением энергии связи. В последнем случае энергетический зазор между зонами увеличивается на величину энергии размерного квантования $E_{\text{разм}}$. Для тонких слоев квантовый размерный зазор определяется выражением $E_{\text{разм}} = \frac{\hbar^2}{8\mu d^2}$,

где μ — приведенная масса электрона и дырки;

$$\mu = \left(\frac{1}{m_e} + \frac{1}{m_h} \right)^{-1}$$

m_e, m_h — эффективные массы электрона и дырки, соответственно.

На рис. 4 представлена зависимость энергии соответствующей линии поглощения экситонного состояния от толщины d пленки при 80 К, построенная на основании спектров пропускания тонких слоев InSe различной толщины (рис. 3). Из рисунка видно, что зависимость линейна в интервале толщин $d \sim 78 \div 200$ Å. При $d < 78$ Å наблюдается отклонение от закона $1/d^2$, связанное с увеличением энергии связи экситона $E_{\text{эк}}$ в очень тонких слоях. Участок $d < 78$ Å может быть объяснен теорией Келдыша, развитой в работе [7], в которой показано, что кулоновское взаимодействие в тонких пленках сильно возрастает с уменьшением толщины пленки, если ее диэлектрическая проницаемость много больше диэлектрической проницаемости подложки. По наклону прямой линии на рис. 4 определяется приведенная эффективная масса экситона $\mu = 0,16 m_e$.

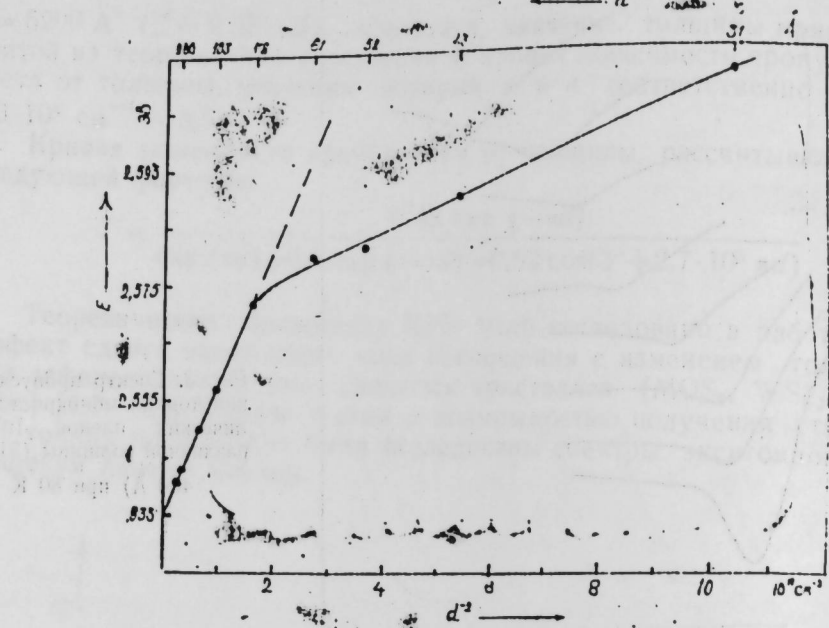


Рис. 4. Зависимость энергии экситона $E_{80\text{K}}$ от $1/d^2$ при 80 К

В тонких пленках взаимодействие между зарядами возрастает с уменьшением толщины d , так как при расстояниях между зарядами $\gg d$ заметную роль начинает играть поле, создаваемое этими зарядами в окружающей среде, и если диэлектрическая проницаемость этой среды меньше ϵ в пленки, взаимодействие оказывается значительно большим, чем в однородной среде с диэлектрической проницаемостью пленки ϵ .

Литература

1. Gansadorl F. and Frind R. F.—Phys. Rev. B., 1970, v. 2, p. 4893.
2. Лященко С. П., Милославский В. К.—Опт. и спектр., 1954, т. 16, с. 151.
3. Tait W. S., Weiher P. L.—Phys. Rev., 1968, v. 166, p. 769.
4. Курбатов Л. Н., Дирочкина А. И., Сосин Р. А.—ФТП, 1979, т. 13, с. 83.
5. Бойчук В. И., Ницович Р. М., Ткач Н. В.—УФЖ, 1980, т. 25, с. 557.
6. Келдыш Л. В.—Письма в ЖЭТФ, 1979, т. 29, с. 716.
7. Evans B. L. and Young P. A.—Proc. Roy. Soc., 1957, N 298, p. 74.
8. Evans B. L. and Young P. A.—Proc. Roy. Soc., 1977, N 91, p. 475.
9. Абдуллаев А. Г., Мамедов А. И., Касимова Г. Н.—Труды Всесоюзной конф. по физике полупроводников, 1982, т. 2, с. 5.
10. Jones G.—Phys. Rev. B: Sol. Stat. Phys., 1971, v. 4, p. 6.
11. Агаев Л. А., Милославский В. Н., Шкляровский И. Н.—ФТТ, 1973, т. 15, с. 2794.
12. Evans B. L. and Young P. A.—Proc. Phys. Soc., 1967, N 298, p. 74.

Институт физики АН АзССР

Поступило 13. IX 1984

А. Г. Абдуллаев, Г. С. Мектиев

НАЗИК МОНОКРИСТАЛ JnSe ТӘБӘГӘЛӘРИНДӘ ЕКСИТОН УДУЛМА СПЕКТРИ

Мәгәләдә JnSe кристалларын 300—80 К температур диапазонунда әсас удулма сәрілділіккөнүң жүксөк областта ($E=2,0$ — $3,0$ ев) бурахымда спектрләринин галынылығдан асымылық хүсусијәтләре тәдгиг олууласындан данишылыры. 0,7 мкм вә даға ашагы галынылығы тәбәгәләрдә удулма спектринде 80 К температурда $E=2,48$ ев енержиликке жеткенде әсас удулма хәтті вә даға назик тәбәгәләрдә ($d=400$ — 31 Å) әсас удулма сәрілділіккөнүң жүксөк областадағы экситона уйғын удулма хәттинин сүрүшмәсін мушанидә олуынуб.

A. G. Abdullayev, G. S. Mekhtiyev

THE EXCITON ABSORPTION SPECTRA IN MONOCRYSTAL LAYERS OF InSe IN THIN FILMS

The results of studying of the absorption spectra of InSe in the thin films at range $E = 2.0 \div 3.0$ eV in temperature band 300—80 K is given.

Beginning with the thickness of 0.7 mkm in the absorption spectra at 80 K the new line with energy $E = 2.48$ eV is distinctly appearing. Sufficient shift of the peak of exciton absorption was observed in InSe films with the decrease of the thickness with $d < 200$ Å. This shift was explained in terms of a crystal size effect, and as the result of change of bounding energy of exciton in InSe thin films. Reduced electron-hole effective mass is found.

Даныңда InSe кристалларын 300—80 К температур диапазонунда әсас удулма сәрілділіккөнүң жүксөк областта ($E=2,0$ — $3,0$ ев) бурахымда спектрләринин галынылығдан асымылық хүсусијәтләре тәдгиг олууласындан данишылыры. 0,7 мкм вә даға ашагы галынылығы тәбәгәләрдә удулма спектринде 80 К температурда $E=2,48$ еВ енержиликке жеткенде әсас удулма хәтті вә даға назик тәбәгәләрдә ($d=400$ — 31 Å) әсас удулма сәрілділіккөнүң жүксөк областадағы экситона уйғын удулма хәттинин сүрүшмәсін мушанидә олуынуб.

Даныңда InSe кристалларын 300—80 К температур диапазонунда әсас удулма сәрілділіккөнүң жүксөк областта ($E=2,0$ — $3,0$ ев) бурахымда спектрләринин галынылығдан асымылық хүсусијәтләре тәдгиг олууласындан данишылыры. 0,7 мкм вә даға ашагы галынылығы тәбәгәләрдә удулма спектринде 80 К температурда $E=2,48$ еВ енержиликке жеткенде әсас удулма хәтті вә даға назик тәбәгәләрдә ($d=400$ — 31 Å) әсас удулма сәрілділіккөнүң жүксөк областадағы экситона уйғын удулма хәттинин сүрүшмәсін мушанидә олуынуб.

Даныңда InSe кристалларын 300—80 К температур диапазонунда әсас удулма сәрілділіккөнүң жүксөк областта ($E=2,0$ — $3,0$ ев) бурахымда спектрләринин галынылығдан асымылық хүсусијәтләре тәдгиг олууласындан данишылыры. 0,7 мкм вә даға ашагы галынылығы тәбәгәләрдә удулма спектринде 80 К температурда $E=2,48$ еВ енержиликке жеткенде әсас удулма хәтті вә даға назик тәбәгәләрдә ($d=400$ — 31 Å) әсас удулма сәрілділіккөнүң жүксөк областадағы экситона уйғын удулма хәттинин сүрүшмәсін мушанидә олуынуб.

УДК 661.715

ОРГАНИЧЕСКАЯ ХИМИЯ

Чл.-корр. М. И. РУСТАМОВ, А. Д. ГУСЕИНОВА, Г. Т. ФАРХАДОВА,
С. М. АСКЕР-ЗАДЕ, Х. Т. МАМЕДОВ, Р. Р. АГАЕВА, Д. А. АЗИМОВА,
С. Г. ЮНУСОВ, Э. А. КАСУМ-ЗАДЕ

ПРЕВРАЩЕНИЕ МЕТАНОЛА НА РАЗЛИЧНЫХ КАТАЛИЗАТОРАХ
С ЦЕЛЬЮ ПОЛУЧЕНИЯ НЕПРЕДЕЛЬНЫХ УГЛЕВОДОРОДОВ

В настоящее время интенсивно развивается химия метанола. Метанол — источник химического сырья и моторного топлива. Одной из крупных областей применения является синтез на его основе низкомолекулярных непредельных углеводородов, используемых в нефтехимии в процессах органического синтеза.

Возможность вовлечения метанола, получаемого на базе природного газа и угля или на базе лесохимической промышленности, в процесс производства низкомолекулярных непредельных углеводородов расширяет ресурсы сырья для получения этих углеводородов [1].

В настоящей статье представлены результаты исследований по превращению метанола на различных цеолитсодержащих катализаторах-алюмосиликатном и γ -окиси Al с целью получения этилена.

ЭКСПЕРИМЕНТАЛЬНАЯ ЧАСТЬ

Исследования проведены на лабораторной установке проточного типа со стационарным слоем катализатора при 450—520°C, весовых скоростях подачи сырья 1,0—2,0 ч⁻¹ как в присутствии водяного пара, так и без него.

Пробы на анализ отбирались на 60-й минуте опыта, после достижения постоянного состава реакционной смеси. Продукты реакции анализировались методом газовой и жидкостной хроматографии. Газы анализировались на хроматографе марки «Газохром», а жидкую часть — на хроматографе «Цвет», где в качестве неподвижной фазы использован 5%-ный силоксановый эластомер — SE-30 на хроматоне N-Aw-DMCS с размером зерен 0,16—0,2 мм.

После завершения цикла реакции проводилась отпарка катализатора азотом при 500°C в течение 20 мин с последующей регенерацией в токе воздуха при 550—600°C в течение 2 ч.

С целью повышения выхода непредельных углеводородов C₂—C₄ в качестве разбавителя использован водяной пар.

Результаты проведенных исследований представлены в таблице. Исследования по превращению метанола на промышленном цеолитсодержащем аллюмосиликатном катализаторе показали, что высокое содержание непредельных углеводородов C₂—C₄ в составе газа достигает 69,5—71,2 масс.%, в том числе этилена 19—21,2 масс.% при сравнительно низкой температуре (400°C). Однако выход газа (15,1—22,4 масс.%) и степень превращения метанола при этом низкие (30,8—

выход газа (до 34,2—39,2 масс.%), и степень превращения метанола (69,6—78,1 масс.%), содержание суммы газообразных непредельных углеводородов резко снижается до 33,4—38,5 масс.%, в том числе этилена до 1,4—14,3 масс.%.

Превращение метанола на различных катализаторах

Тип катализатора	T-ра, °C	Вес. ск., ч ⁻¹	Разбави- тель — H ₂ O, соотн. H ₂ O: CH ₃ OH	Степень превра- щен. ме- танола, %	Выход газа, %	Содержание олефинов в газе, %			
						этан	пропилен	бутилен	Σнеп
Цеолитсодержащий алюмосиликатный катализатор типа Цеокар-2	400	1,0	—	30,8	15,1	19,0	17,7	32,8	69,5
	450	1,0	—	42,4	20,8	20,0	10,0	21,9	51,9
	500	1,0	—	79,1	39,3	14,2	6,4	17,9	38,5
	400	1,5	—	22,4	10,8	21,2	17,1	32,9	71,2
	450	1,5	—	35,3	17,3	20,1	9,5	22,2	51,8
	520	1,5	—	69,6	34,2	14,0	4,8	14,6	33,4
Mg-Si катализатор	450	1,0	—	39,6	19,3	9,3	12,3	25,3	46,9
	520	1,0	—	56,0	26,6	5,2	3,7	21,7	30,6
	520	1,0	2:1	13,9	6,1	18,3	13,2	9,1	40,6
	520	1,0	3:1	8,1	3,2	20,0	17,0	8,2	45,2
γ -окись Al	400	1,0	—	75,3	38,5	14,0	10,2	13,8	38,0
	450	1,0	—	85,4	43,2	18,0	12,0	26,0	56,0
	500	1,0	—	94,3	47,5	21,0	13,8	21,5	56,3
	550	1,0	—	98,0	50,6	32,0	21,5	24,4	77,9

На цеолитсодержащем магнийсиликатном катализаторе содержание непредельных углеводородов C₂—C₄ при аналогичных условиях для аллюмосиликатного катализатора значительно ниже и достигает всего лишь 30,6 масс.%, в том числе этилена 5,2 масс.%. Выход газа при этом достигает всего лишь 26,6, а степень превращения метанола 56,0 масс.%.

В присутствии водяного пара содержание непредельных углеводородов увеличивается почти в 1,5—2 раза и достигает 40,6—45,2 масс.%, в том числе содержание этилена увеличивается в 4 раза, достигая 18,3—20 масс.%.

Однако выход газа (3,2—6,1 масс.%) и степень превращения метанола (8,1—13,9 масс.%) резко уменьшаются.

Высокую селективность по низкомолекулярным олефинам показала γ -окись Al, позволяющая получить (при 550°C и V-1,0 ч⁻¹) 32 масс.% этилена и 77,9 масс.% суммы непредельных C₂—C₄ в составе газа, степень превращения метанола достигает 98 масс.%, выход газа — 50,6%, т. е. выход этилена и суммы непредельных углеводородов C₂—C₄ из метанола на γ -окиси Al значительно превышает выход его, полученный при пиролизе прямогонного бензина.

Степень превращения метанола на цеолитсодержащем аллюмосиликатном и магнийсиликатном катализаторах ограничивали в пределах 56—69,6 масс.% с целью подавления дальнейшего превращения олефинов и быстрого закоксовывания катализатора.

На всех изученных образцах катализаторов в процессе превращения метанола образуется значительное количествоmonoоксида и диоксида

углерода, а содержание металла с повышением температуры на 100°C резко повышается (~ в 2 раза), в присутствии же водяного пара содержание метана резко понижается (в 4–5 раз) при таких же условиях ведения процесса. Причем, наименьшее содержание метана в газе получается при использовании в качестве катализатора γ -окиси Al (3–5 масс. %).

В составе полученного катализатора при использовании цеолито-одержащего катализатора содержится до 10–13 масс. % синтетического топлива, состоящего из 76,4 ароматических, 7,3 олефиновых и 16,3 масс. % парафинонафтеновых углеводородов.

В случае использования γ -окиси Al весь катализат состоит из метанола и воды, который после отделения воды ректификацией возвращается в систему.

Превращение метанола на этих двух катализаторах, по данным хроматографического анализа, протекает по сходному механизму, включающему образование этилена в качестве промежуточного соединения, который взаимодействует либо с метанолом, либо с другой молекулой этилена, превращаясь в высшие эфиры и бутилены. Метилэтиловый же эфир, теряя воду, превращается в пропилен. Этим и объясняется такое высокое содержание пропилена (13,2–17,7 масс. %) и бутиленов (25,3–32,8 масс. %). Линейные олефины могут циклизоваться с переносом водорода к другим молекулам олефина с образованием ароматических и парафиновых углеводородов.

Таким образом, проведенные исследования показали, что γ -окись Al в зависимости от условий ведения процесса позволяет селективно получать низкомолекулярные олефины—сыре для нефтехимии и моторного топлива.

Литература

Обзорная информация. Каталитические синтезы на основе CO и H₂ и на основе метанола. — НИИТЭХИМ, 1981, с. 28–32.

Институт нефтехимических процессов им. Ю. Г. Мамедалиева АН АзССР

Поступило 14. VI 1983

М. И. Рустэмов, А. Д. Гусейнова, К. Т. Фархадова, С. М. Эскэрзадэ, Х. Т. Маммадов, Р. Р. Агаева, Д. Э. Эзимова, С. Г. Юнусов, Е. А. Гасымзадэ

СЕОЛИТЭСАСЛЫ КАТАЛИЗАТОРЛАРЫН ИШТИРАКЫ ИЛЭ МЕТАНОЛДАН ДОЖМАМЫШ КАРБОНИДРОКЕНЛЭРИН АЛЫНАСЫ

Бу магаләдә мұхтәлиф сеолитэсаслы катализаторларын (алұмосиликат, магнисиликат ва γ -Al оксиди) иштиракы илэ метанолдан этиленин алымасы тәдгигатларынын нәтижеләри верилмишидір.

Апаратан тәдгигатлардан мәлум олур ки, бу процес үчүн әйлверишли катализатор γ -Al оксида несаб едилір. Нәтижәдә алыман газын тәркібіндә этиленин чөкі%—32, дојмамыш карбонидрокенләрин (C_2-C_4 чөкі%—77,9, газын чыхымы исо 50–60% чатыр.

M. I. Rustamov, A. D. Guseinova, G. T. Farkhadova, S. M. Asker-zade, Kh. T. Mamedov, R. R. Agayeva, D.A.Azimova, S. G. Yunusov, E. A. Kasum-zade
METHANOL CONVERSION ON DIFFERENT CATALYSTS FOR PRODUCING UNSATURATED HYDROCARBONS

Results of studies on methanol conversion on different zeolite-containing catalysts—silica-alumina and silica-magnesia and γ -Al₂O₃—for ethylene production are presented in the article.

The results have shown that the most efficient catalyst for low olefins production from methanol is γ -Al₂O₃ giving 32% wt of ethylene, 77,9% wt of C_2-C_4 -hydrocarbons in the gas composition, the gas yield being 50–60%.

АЗӘРБАЙЧАЙ ССР. ЕЛІМЛӘР АҚАДЕМИЈАСЫНЫН МӘРУЗӘЛӘРІ
ДОКЛАДЫ АКАДЕМИИ НАУК АЗЕРБАЙДЖАНСКОЙ ССР

ТОМ XLII ЧИЛД

№ 2

1986

ФИЗИЧЕСКАЯ ХИМИЯ

В. И. КРАСНОВ, К. М. МУСАЕВ, В. В. АТЛАС
АНАЛИЗ КИНЕТИЧЕСКИХ МОДЕЛЕЙ РЕАКЦИИ МЕТАТЕЗИСА ГЕКСЕНА-1 С ПОМОЩЬЮ ЭВМ

(Представлено академиком АН Азербайджанской ССР М. А. Далинским)

Известно, что метатезис олефинов является сложной многостадийной реакцией. Для описания кинетики метатезиса гексена-1 [1, 2], даже без учета побочных реакций, предложено несколько моделей [3, 4, 5]. В случае гетерогенного метатезиса дискутируются в основном три возможных механизма.

I. Модель Ленгмюра–Хиншельвуда. Адсорбция двух молекул гексена-1 на двух соседних центрах:

1. $C_6H_{12}-I(H) + S \rightleftharpoons [C_6H_{12}-I \cdot S](HS)$
2. $2[C_6H_{12}-I \cdot S] \rightleftharpoons C_2H_4 \cdot S(ES) + [C_{10}H_{20}-5 \cdot S](DS)$
3. $C_2H_4 \cdot S \rightleftharpoons C_2H_4(E) + S$
4. $C_{10}H_{20}-5 \cdot S \rightleftharpoons C_{10}H_{20}-5(D) + S$

II. Модель—видоизмененный механизм Ленгмюра–Хиншельвуда. Последовательная адсорбция двух молекул гексена-1 на одном активном центре:

1. $C_6H_{12}-I(H) + S \rightleftharpoons [C_6H_{12}-I \cdot S](HS)$
2. $C_6H_{12}-I \cdot S + C_6H_{12}-I \rightleftharpoons [(C_6H_{12}-I)_2 \cdot S](H_2 \cdot S)$
3. $[C_6H_{12}-I]_2 \cdot S \rightleftharpoons [C_2H_4 \cdot C_{10}H_{20}-5 \cdot S](EDS)$
4. $[C_2H_4 \cdot C_{10}H_{20}-5 \cdot S] \rightleftharpoons [C_{10}H_{20}-5 \cdot S](DS) + C_2H_4(E)$
5. $[C_2H_4 \cdot C_{10}H_{20}-5 \cdot S] \rightleftharpoons [C_2H_4 \cdot S](ES) + C_{10}H_{20}-5(D)$
6. $[C_{10}H_{20}-5 \cdot S] \rightleftharpoons C_{10}H_{20}-5(D) + S$
7. $[C_2H_4 \cdot S] \rightleftharpoons C_2H_4(E) + S$

Модель, в основу которой положено образование карбеновых интермедиатов:

1. $C_6H_{12}-I(H) + C_5H_{10}:S(AS) \rightleftharpoons [C_6H_{12}-I \cdot C_5H_{10}:S](HAS)$
2. $[C_6H_{12}-I \cdot C_5H_{10}:S] \rightleftharpoons [C_{10}H_{20}-5CH_2:S](DMS)$
3. $[C_{10}H_{20}-5CH_2:S] \rightleftharpoons [C_{10}H_{20}-5(D) + CH_2:S](MS)$
4. $[C_6H_{12}-I + CH_2:S] \rightleftharpoons [C_6H_{12}-I \cdot CH_2:S](HMS)$
5. $[C_6H_{12}-I \cdot CH_2:S] \rightleftharpoons [C_2H_4 \cdot C_5H_{10}:S](EAS)$
6. $[C_2H_4 \cdot C_5H_{10}:S] \rightleftharpoons C_2H_4(E) + C_5H_{10}:S(AS)$

Вывод кинетических уравнений таких многостадийных, многомаршрутных реакций вручную очень трудоемок, поэтому все большую актуальность приобретает автоматизация такого вывода на ЭВМ [6–8]. С этой целью был разработан универсальный комплекс программ STEH, который позволяет резко сократить затраты времени на разработку кинетической модели, повысить надежность производимых выкладок, дает возможность исследовать сразу несколько моделей.

Кроме вывода кинетических уравнений STEH может быть использован в различных технологических расчетах для моделирования уравнений материальных балансов и определения независимых суммарных реакций [9].

Отличительной особенностью данного комплекса программ от известных [7, 8] является новый подход к решению уравнений стационарности относительно неизвестных концентраций промежуточных компонентов, компактная форма входной информации (вводятся только ненулевые элементы стехиометрической матрицы реакций), единое эффективное математическое обеспечение.

Выдаваемая комплексом STEH информация включает:

- множество независимых реакций;
- коэффициенты линейной зависимости зависимых реакций;
- число и набор ключевых и неключевых компонентов, зависимых и независимых промежуточных компонентов;
- уравнения для расчета количеств (концентраций) неключевых компонентов через количества (концентрации) ключевых компонентов;
- уравнения для расчета количеств (концентраций) зависимых промежуточных компонентов через количества (концентрации) независимых промежуточных компонентов;
- уравнения скоростей стадий по закону действующих масс (поверхностей);
- уравнения стационарности для промежуточных компонентов;
- матрицу стехиометрических чисел (базис независимых маршрутов);
- суммарные реакции;
- уравнения скоростей по суммарным реакциям через скорости по «свободным» стадиям;
- уравнения скоростей по независимым суммарным реакциям через скорости по всем суммарным реакциям;
- уравнения скоростей ключевых компонентов через скорости по независимым суммарным реакциям.

Для определения зависимых и независимых реакций, ключевых и неключевых компонентов, зависимых и независимых промежуточных компонентов используется модифицированный алгоритм Гаусса определения ранга и максимального, отличного от нуля, минора прямоугольной матрицы [10]. Для определения матрицы стехиометрических чисел, уравнений, материальных балансов, уравнений скоростей по независимым суммарным реакциям применена программа решения линейных систем с одной и той же матрицей коэффициентов, но различными свободными членами методом LU разложения матрицы системы [10].

Одним из наиболее сложных вопросов моделирования кинетики является решение уравнений стационарности. Существующие численный и аналитический подходы к решению этой задачи имеют свои достоинства и недостатки [7, 11]. Мы предлагаем новый подход к аналитическому решению, который может быть также использован с целью сокращения вычислительных затрат и при численном методе.

Система уравнений стационарности после упрощений, связанных с наличием быстрых стадий имеет вид [3, 4]:

$$\bar{W}_3 - M \bar{W}_c = 0 \quad (1)$$

$$f(c) = 0. \quad (2)$$

где \bar{W}_3 , \bar{W}_c — скорости «зависимых» и «свободных» стадий, $f(c)$ — линейные уравнения материальных балансов для промежуточных компонентов.

Система (1), (2) представляет собой разреженную систему уравнений (в общем случае нелинейную) с буквенными коэффициентами. Эффективным подходом к решению разреженных систем с числовыми коэффициентами [12, 13] является двухэтапный, который включает:

I этап — структурный анализ. На этом этапе большая система разбивается на последовательно решаемые подсистемы, которые в свою очередь, путем перенумерации уравнений и неизвестных, приводят к тому или иному виду, позволяющему максимально сократить число операций на втором основном этапе (например, часто к окаймленной треугольной форме [14]).

II этап — вычислительную стадию. На этом этапе применяются быстрые действующие алгоритмы, основанные на использовании предварительного преобразования системы на I этапе. В частности, применяется специальный алгоритм для решения окаймленных линейных систем [13, 14].

Используя разработанные нами ранее алгоритм и программы структурного анализа [14], предлагается перенести этот подход на аналитическое решение системы /1/, /2/. Для линейных систем /1/, /2/ это позволяет решать их алгоритмом, аналогичным [12, 13], но только с буквенными коэффициентами, а для нелинейных значительно облегчает проведение аналитических преобразований. Данный подход является более общим, чем использование методов теории графов для моделирования кинетики реакций с многостадийным линейным механизмом [11]. Например, в модели I стадийный механизм — нелинейный, а система /1/, /2/ — линейная (см таблицу). Кроме того, это в общем случае позволяет значительно сократить количество операций.

В таблице приведена часть данных по обработке и выводу уравнений скорости реакции $2H \rightleftharpoons E + D$ для моделей 1—3 с использованием комплекса программ STEH. В моделях 2, 3 в качестве быстрых были взяты, соответственно, стадии 1, 2, 3, 6, 7 и 1, 2, 4, 5. В этом случае стадийный механизм для вывода уравнения скорости упрощается (т. к. можно объединить последовательно протекающие быстрые стадии) и принимает вид:

Модель 2'

1. $H + S \rightleftharpoons (HS)$
2. $(HS) + H \rightleftharpoons (EDS)$
3. $(EDS) \rightleftharpoons (DS) + E$
4. $(EDS) \rightleftharpoons (ES) + D$
5. $(DS) \rightleftharpoons D + S$
6. $(ES) \rightleftharpoons E + S$

Модель 3'

1. $H + (AS) \rightleftharpoons (DMS)$
2. $(DMS) \rightleftharpoons D + (MS)$
3. $H + (MS) \rightleftharpoons (EAS)$
4. $(EAS) \rightleftharpoons E + (AS)$

Общая кинетическая модель включает дифференциальное уравнение скорости ключевого компонента (гексена-1) и линейные уравнения

Вывод уравнений скорости реакции $2H \rightarrow E+D$ с использованием STEH

№ п.п.	Наименование	Модель 1		Модель 2		Модель 3*	
		Маршрут	Маршрут	Маршрут	Маршрут	Маршрут	Маршрут
1	Быстрые стадии	1,3,4		1,2,5,6		1,3	
2	Базис неизв. симых маршрутов	I маршрут—2,1,1,1 II маршрут—1,1,0,1,0,1					
3	Уравнения стационарности	$[W_1=0; W_2=0; W_3=0; [S]+[HS]+[ES]+[DS]=1]$	$[W_1=0; W_2=0; W_3=0; [S]+[HS]+[EDS]+[DS]=1]$	$[W_1=0; W_2=0; W_3=0; [S]+[AS]+[DS]=1]$	$[W_1=0; W_2=0; W_3=0; [S]+[EAS]+[AS]+[DS]=1]$		
4	Матрица коэффициентов уравнений стационарности, приведенная к ока: измененной треугольной форме (выделенная подматрица треугольна)	$\begin{matrix} [DS][ES] & [HS] \\ -K_D C_D & -K_E C_E \\ -K_E C_E & -K_H C_H \\ -K_H C_H & -K_D C_D \\ 1 & 1 & 1 & 1 \end{matrix}$	$\begin{matrix} [ES] & [DS] & [EDS] & [HS] \\ 1 & 1 & 1 & 1 \\ 1-K'_H C_H & 1 & 1 & 1 \\ -K_H C_H & -K_E C_E & 1 & 1 \\ -K_D C_D & -K_H C_H & -K_E C_E & 1 \end{matrix}$	$\begin{matrix} [S] & [DS] & [EDS] & [HS] \\ -K_E C_E & -K_D C_D & -K_H C_H & -K_D C_D \\ -K_D C_D & -K_H C_H & -K_E C_E & -K_E C_E \\ -K_H C_H & -K_E C_E & -K_D C_D & -K_H C_H \\ -K_D C_D & -K_H C_H & -K_E C_E & -K_E C_E \end{matrix}$	$\begin{matrix} [EAS] & [DS] & [MSI] & [AS] \\ 1 & 1 & 1 & 1 \\ -K_E C_E & -K_D C_D & -K_H C_H & -K_H C_H \\ -K_D C_D & -K_H C_H & -K_E C_E & -K_E C_E \\ -K_H C_H & -K_E C_E & -K_D C_D & -K_H C_H \end{matrix}$		
5	Величина разрываемых независимых	$[S]=1/\Sigma_1$	$[S]=1/\Sigma_2$	$[S]=1/\Sigma_3$	$[S]=1/\Sigma_4$	$[S]=1/\Sigma_5$	$[S]=1/\Sigma_6$
6	Скорость независимой суммарной реакции	$r=r_1=W_2=K_2 K_n^2 (C_n^2 - C_E C_D / K_p) \Sigma_2^2$	$r=r_1+r_2=W_3+W_4=(K_3+K_4) \cdot K_n K_n (C_n^2 - C_E C_D / K_p) / \Sigma_2$	$r=r_1+r_2=W_3+W_4=(K_3+K_4) \cdot K_n K_n (C_n^2 - C_E C_D / K_p) / \Sigma_2$	$r=r_1=W_2=\frac{K_2 K_n}{K_{2,1}+1} \cdot (C_n^2 - C_E C_D / K_p) / \Sigma_2$	$r=r_1=\frac{1}{K_{2,1}} \cdot (C_n^2 - C_E C_D / K_p) / \Sigma_2$	$r=r_1=\frac{1}{K_{2,1}} \cdot (C_n^2 - C_E C_D / K_p) / \Sigma_2$

Причесано: $\Sigma_1+K_n C_n + K_E C_E + K_D C_D; \Sigma_2=1+K_n C_n + K_E C_E + K_D C_D + K_n K_n C_n^2; \Sigma_3=C_n+K_n C_n^2 + K_p (K_{2,1}+1) / K_{2,1} C_E, где K_{2,1}=K_2/K_1, K_{2,2}=K_3/K_4, K_p=K_4/K_3, K_p=K_2/K_1, K_{2,3}=K_2/K_3, K_{2,4}=K_3/K_4, K_{2,5}=K_4/K_5, K_{2,6}=K_5/K_4, K_{2,7}=K_6/K_5, K_{2,8}=K_7/K_6, K_{2,9}=K_8/K_7, K_{2,10}=K_9/K_8, K_{2,11}=K_{10}/K_{11}, K_{2,12}=K_{11}/K_{12}, K_{2,13}=K_{12}/K_{13}, K_{2,14}=K_{13}/K_{14}, K_{2,15}=K_{14}/K_{15}, K_{2,16}=K_{15}/K_{16}, K_{2,17}=K_{16}/K_{17}, K_{2,18}=K_{17}/K_{18}, K_{2,19}=K_{18}/K_{19}, K_{2,20}=K_{19}/K_{20}, K_{2,21}=K_{20}/K_{21}, K_{2,22}=K_{21}/K_{22}, K_{2,23}=K_{22}/K_{23}, K_{2,24}=K_{23}/K_{24}, K_{2,25}=K_{24}/K_{25}, K_{2,26}=K_{25}/K_{26}, K_{2,27}=K_{26}/K_{27}, K_{2,28}=K_{27}/K_{28}, K_{2,29}=K_{28}/K_{29}, K_{2,30}=K_{29}/K_{30}, K_{2,31}=K_{30}/K_{31}, K_{2,32}=K_{31}/K_{32}, K_{2,33}=K_{32}/K_{33}, K_{2,34}=K_{33}/K_{34}, K_{2,35}=K_{34}/K_{35}, K_{2,36}=K_{35}/K_{36}, K_{2,37}=K_{36}/K_{37}, K_{2,38}=K_{37}/K_{38}, K_{2,39}=K_{38}/K_{39}, K_{2,40}=K_{39}/K_{40}, K_{2,41}=K_{40}/K_{41}, K_{2,42}=K_{41}/K_{42}, K_{2,43}=K_{42}/K_{43}, K_{2,44}=K_{43}/K_{44}, K_{2,45}=K_{44}/K_{45}, K_{2,46}=K_{45}/K_{46}, K_{2,47}=K_{46}/K_{47}, K_{2,48}=K_{47}/K_{48}, K_{2,49}=K_{48}/K_{49}, K_{2,50}=K_{49}/K_{50}, K_{2,51}=K_{50}/K_{51}, K_{2,52}=K_{51}/K_{52}, K_{2,53}=K_{52}/K_{53}, K_{2,54}=K_{53}/K_{54}, K_{2,55}=K_{54}/K_{55}, K_{2,56}=K_{55}/K_{56}, K_{2,57}=K_{56}/K_{57}, K_{2,58}=K_{57}/K_{58}, K_{2,59}=K_{58}/K_{59}, K_{2,60}=K_{59}/K_{60}, K_{2,61}=K_{60}/K_{61}, K_{2,62}=K_{61}/K_{62}, K_{2,63}=K_{62}/K_{63}, K_{2,64}=K_{63}/K_{64}, K_{2,65}=K_{64}/K_{65}, K_{2,66}=K_{65}/K_{66}, K_{2,67}=K_{66}/K_{67}, K_{2,68}=K_{67}/K_{68}, K_{2,69}=K_{68}/K_{69}, K_{2,70}=K_{69}/K_{70}, K_{2,71}=K_{70}/K_{71}, K_{2,72}=K_{71}/K_{72}, K_{2,73}=K_{72}/K_{73}, K_{2,74}=K_{73}/K_{74}, K_{2,75}=K_{74}/K_{75}, K_{2,76}=K_{75}/K_{76}, K_{2,77}=K_{76}/K_{77}, K_{2,78}=K_{77}/K_{78}, K_{2,79}=K_{78}/K_{79}, K_{2,80}=K_{79}/K_{80}, K_{2,81}=K_{80}/K_{81}, K_{2,82}=K_{81}/K_{82}, K_{2,83}=K_{82}/K_{83}, K_{2,84}=K_{83}/K_{84}, K_{2,85}=K_{84}/K_{85}, K_{2,86}=K_{85}/K_{86}, K_{2,87}=K_{86}/K_{87}, K_{2,88}=K_{87}/K_{88}, K_{2,89}=K_{88}/K_{89}, K_{2,90}=K_{89}/K_{90}, K_{2,91}=K_{90}/K_{91}, K_{2,92}=K_{91}/K_{92}, K_{2,93}=K_{92}/K_{93}, K_{2,94}=K_{93}/K_{94}, K_{2,95}=K_{94}/K_{95}, K_{2,96}=K_{95}/K_{96}, K_{2,97}=K_{96}/K_{97}, K_{2,98}=K_{97}/K_{98}, K_{2,99}=K_{98}/K_{99}, K_{2,100}=K_{99}/K_{100}, K_{2,101}=K_{100}/K_{101}, K_{2,102}=K_{101}/K_{102}, K_{2,103}=K_{102}/K_{103}, K_{2,104}=K_{103}/K_{104}, K_{2,105}=K_{104}/K_{105}, K_{2,106}=K_{105}/K_{106}, K_{2,107}=K_{106}/K_{107}, K_{2,108}=K_{107}/K_{108}, K_{2,109}=K_{108}/K_{109}, K_{2,110}=K_{109}/K_{110}, K_{2,111}=K_{110}/K_{111}, K_{2,112}=K_{111}/K_{112}, K_{2,113}=K_{112}/K_{113}, K_{2,114}=K_{113}/K_{114}, K_{2,115}=K_{114}/K_{115}, K_{2,116}=K_{115}/K_{116}, K_{2,117}=K_{116}/K_{117}, K_{2,118}=K_{117}/K_{118}, K_{2,119}=K_{118}/K_{119}, K_{2,120}=K_{119}/K_{120}, K_{2,121}=K_{120}/K_{121}, K_{2,122}=K_{121}/K_{123}, K_{2,123}=K_{123}/K_{124}, K_{2,124}=K_{124}/K_{125}, K_{2,125}=K_{125}/K_{126}, K_{2,126}=K_{126}/K_{127}, K_{2,127}=K_{127}/K_{128}, K_{2,128}=K_{128}/K_{129}, K_{2,129}=K_{129}/K_{130}, K_{2,130}=K_{130}/K_{131}, K_{2,131}=K_{131}/K_{132}, K_{2,132}=K_{132}/K_{133}, K_{2,133}=K_{133}/K_{134}, K_{2,134}=K_{134}/K_{135}, K_{2,135}=K_{135}/K_{136}, K_{2,136}=K_{136}/K_{137}, K_{2,137}=K_{137}/K_{138}, K_{2,138}=K_{138}/K_{139}, K_{2,139}=K_{139}/K_{140}, K_{2,140}=K_{140}/K_{141}, K_{2,141}=K_{141}/K_{142}, K_{2,142}=K_{142}/K_{143}, K_{2,143}=K_{143}/K_{144}, K_{2,144}=K_{144}/K_{145}, K_{2,145}=K_{145}/K_{146}, K_{2,146}=K_{146}/K_{147}, K_{2,147}=K_{147}/K_{148}, K_{2,148}=K_{148}/K_{149}, K_{2,149}=K_{149}/K_{150}, K_{2,150}=K_{150}/K_{151}, K_{2,151}=K_{151}/K_{152}, K_{2,152}=K_{152}/K_{153}, K_{2,153}=K_{153}/K_{154}, K_{2,154}=K_{154}/K_{155}, K_{2,155}=K_{155}/K_{156}, K_{2,156}=K_{156}/K_{157}, K_{2,157}=K_{157}/K_{158}, K_{2,158}=K_{158}/K_{159}, K_{2,159}=K_{159}/K_{160}, K_{2,160}=K_{160}/K_{161}, K_{2,161}=K_{161}/K_{162}, K_{2,162}=K_{162}/K_{163}, K_{2,163}=K_{163}/K_{164}, K_{2,164}=K_{164}/K_{165}, K_{2,165}=K_{165}/K_{166}, K_{2,166}=K_{166}/K_{167}, K_{2,167}=K_{167}/K_{168}, K_{2,168}=K_{168}/K_{169}, K_{2,169}=K_{169}/K_{170}, K_{2,170}=K_{170}/K_{171}, K_{2,171}=K_{171}/K_{172}, K_{2,172}=K_{172}/K_{173}, K_{2,173}=K_{173}/K_{174}, K_{2,174}=K_{174}/K_{175}, K_{2,175}=K_{175}/K_{176}, K_{2,176}=K_{176}/K_{177}, K_{2,177}=K_{177}/K_{178}, K_{2,178}=K_{178}/K_{179}, K_{2,179}=K_{179}/K_{180}, K_{2,180}=K_{180}/K_{181}, K_{2,181}=K_{181}/K_{182}, K_{2,182}=K_{182}/K_{183}, K_{2,183}=K_{183}/K_{184}, K_{2,184}=K_{184}/K_{185}, K_{2,185}=K_{185}/K_{186}, K_{2,186}=K_{186}/K_{187}, K_{2,187}=K_{187}/K_{188}, K_{2,188}=K_{188}/K_{189}, K_{2,189}=K_{189}/K_{190}, K_{2,190}=K_{190}/K_{191}, K_{2,191}=K_{191}/K_{192}, K_{2,192}=K_{192}/K_{193}, K_{2,193}=K_{193}/K_{194}, K_{2,194}=K_{194}/K_{195}, K_{2,195}=K_{195}/K_{196}, K_{2,196}=K_{196}/K_{197}, K_{2,197}=K_{197}/K_{198}, K_{2,198}=K_{198}/K_{199}, K_{2,199}=K_{199}/K_{200}, K_{2,200}=K_{200}/K_{201}, K_{2,201}=K_{201}/K_{202}, K_{2,202}=K_{202}/K_{203}, K_{2,203}=K_{203}/K_{204}, K_{2,204}=K_{204}/K_{205}, K_{2,205}=K_{205}/K_{206}, K_{2,206}=K_{206}/K_{207}, K_{2,207}=K_{207}/K_{208}, K_{2,208}=K_{208}/K_{209}, K_{2,209}=K_{209}/K_{210}, K_{2,210}=K_{210}/K_{211}, K_{2,211}=K_{211}/K_{212}, K_{2,212}=K_{212}/K_{213}, K_{2,213}=K_{213}/K_{214}, K_{2,214}=K_{214}/K_{215}, K_{2,215}=K_{215}/K_{216}, K_{2,216}=K_{216}/K_{217}, K_{2,217}=K_{217}/K_{218}, K_{2,218}=K_{218}/K_{219}, K_{2,219}=K_{219}/K_{220}, K_{2,220}=K_{220}/K_{221}, K_{2,221}=K_{221}/K_{222}, K_{2,222}=K_{222}/K_{223}, K_{2,223}=K_{223}/K_{224}, K_{2,224}=K_{224}/K_{225}, K_{2,225}=K_{225}/K_{226}, K_{2,226}=K_{226}/K_{227}, K_{2,227}=K_{227}/K_{228}, K_{2,228}=K_{228}/K_{229}, K_{2,229}=K_{229}/K_{230}, K_{2,230}=K_{230}/K_{231}, K_{2,231}=K_{231}/K_{232}, K_{2,232}=K_{232}/K_{233}, K_{2,233}=K_{233}/K_{234}, K_{2,234}=K_{234}/K_{235}, K_{2,235}=K_{235}/K_{236}, K_{2,236}=K_{236}/K_{237}, K_{2,237}=K_{237}/K_{238}, K_{2,238}=K_{238}/K_{239}, K_{2,239}=K_{239}/K_{240}, K_{2,240}=K_{240}/K_{241}, K_{2,241}=K_{241}/K_{242}, K_{2,242}=K_{242}/K_{243}, K_{2,243}=K_{243}/K_{244}, K_{2,244}=K_{244}/K_{245}, K_{2,245}=K_{245}/K_{246}, K_{2,246}=K_{246}/K_{247}, K_{2,247}=K_{247}/K_{248}, K_{2,248}=K_{248}/K_{249}, K_{2,249}=K_{249}/K_{250}, K_{2,250}=K_{250}/K_{251}, K_{2,251}=K_{251}/K_{252}, K_{2,252}=K_{252}/K_{253}, K_{2,253}=K_{253}/K_{254}, K_{2,254}=K_{254}/K_{255}, K_{2,255}=K_{255}/K_{256}, K_{2,256}=K_{256}/K_{257}, K_{2,257}=K_{257}/K_{258}, K_{2,258}=K_{258}/K_{259}, K_{2,259}=K_{259}/K_{260}, K_{2,260}=K_{260}/K_{261}, K_{2,261}=K_{261}/K_{262}, K_{2,262}=K_{262}/K_{263}, K_{2,263}=K_{263}/K_{264}, K_{2,264}=K_{264}/K_{265}, K_{2,265}=K_{265}/K_{266}, K_{2,266}=K_{266}/K_{267}, K_{2,267}=K_{267}/K_{268}, K_{2,268}=K_{268}/K_{269}, K_{2,269}=K_{269}/K_{270}, K_{2,270}=K_{270}/K_{271}, K_{2,271}=K_{271}/K_{272}, K_{2,272}=K_{272}/K_{273}, K_{2,273}=K_{273}/K_{274}, K_{2,274}=K_{274}/K_{275}, K_{2,275}=K_{275}/K_{276}, K_{2,276}=K_{276}/K_{277}, K_{2,277}=K_{277}/K_{278}, K_{2,278}=K_{278}/K_{279}, K_{2,279}=K_{279}/K_{280}, K_{2,280}=K_{280}/K_{281}, K_{2,281}=K_{281}/K_{282}, K_{2,282}=K_{282}/K_{283}, K_{2,283}=K_{283}/K_{284}, K_{2,284}=K_{284}/K_{285}, K_{2,285}=K_{285}/K_{286}, K_{2,286}=K_{286}/K_{287}, K_{2,287}=K_{287}/K_{288}, K_{2,288}=K_{288}/K_{289}, K_{2,289}=K_{289}/K_{290}, K_{2,290}=K_{290}/K_{291}, K_{2,291}=K_{291}/K_{292}, K_{2,292}=K_{292}/K_{293}, K_{2,293}=K_{293}/K_{294}, K_{2,294}=K_{294}/K_{295}, K_{2,295}=K_{295}/K_{296}, K_{2,296}=K_{296}/K_{297}, K_{2,297}=K_{297}/K_{298}, K_{2,298}=K_{298}/K_{299}, K_{2,299}=K_{299}/K_{300}, K_{2,300}=K_{300}/K_{301}, K_{2,301}=K_{301}/K_{302}, K_{2,302}=K_{302}/K_{303}, K_{2,303}=K_{303}/K_{304}, K_{2,304}=K_{304}/K_{305}, K_{2,305}=K_{305}/K_{306}, K_{2,306}=K_{306}/K_{307}, K_{2,307}=K_{307}/K_{308}, K_{2,308}=K_{308}/K_{309}, K_{2,309}=K_{309}/K_{310}, K_{2,310}=K_{310}/K_{311}, K_{2,311}=K_{311}/K_{312}, K_{2,312}=K_{312}/K_{313}, K_{2,313}=K_{313}/K_{314}, K_{2,314}=K_{314}/K_{315}, K_{2,315}=K_{315}/K_{316}, K_{2,316}=K_{316}/K_{317}, K_{2,317}=K_{317}/K_{318}, K_{2,318}=K_{318}/K_{319}, K_{2,319}=K_{319}/K_{320}, K_{2,320}=K_{320}/K_{321}, K_{2,321}=K_{321}/K_{322}, K_{2,322}=K_{322}/K_{323}, K_{2,323}=K_{323}/K_{324}, K_{2,324}=K_{324}/K_{325}, K_{2,325}=K_{325}/K_{326}, K_{2,326}=K_{326}/K_{327}, K_{2,327}=K_{327}/K_{328}, K_{2,328}=K_{328}/K_{329}, K_{2,329}=K_{329}/K_{330}, K_{2,330}=K_{330}/K_{331}, K_{2,331}=K_{331}/K_{332}, K_{2,332}=K_{332}/K_{333}, K_{2,333}=K_{333}/K_{334}, K_{2,334}=K_{334}/K_{335}, K_{2,335}=K_{335}/K_{336}, K_{2,336}=K_{336}/K_{337}, K_{2,337}=K_{337}/K_{338}, K_{2,338}=K_{338}/K_{339}, K_{2,339}=K_{339}/K_{340}, K_{2,340}=K_{340}/K_{341}, K_{2,341}=K_{341}/K_{342}, K_{2,342}=K_{342}/K_{343}, K_{2,343}=K_{343}/K_{344}, K_{2,344}=K_{344}/K_{345}, K_{2,345}=K_{345}/K_{346}, K_{2,346}=K_{346}/K_{347}, K_{2,347}=K_{347}/K_{348}, K_{2,348}=K_{348}/K_{349}, K_{2,349}=K_{349}/K_{350}, K_{2,350}=K_{350}/K_{351}, K_{2,351}=K_{351}/K_{352}, K_{2,352}=K_{352}/K_{353}, K_{2,353}=K_{353}/K_{354}, K_{2,354}=K_{354}/K_{355}, K_{2,355}=K_{355}/K_{356}, K_{2,356}=K_{356}/K_{357}, K_{2,357}=K_{357}/K_{358}, K_{2,358}=K_{358}/K_{359}, K_{2,359}=K_{359}/K_{360}, K_{2,360}=K_{360}/K_{361}, K_{2,361}=K_{361}/K_{362}, K_{2,362}=K_{362}/K_{363}, K_{2,363}=K_{363}/K_{364}, K_{2,364}=K_{364}/K_{365}, K_{2,365}=K_{365}/K_{366}, K_{2,366}=K_{366}/K_{367}, K_{2,367}=K_{367}/K_{368}, K_{2,368}=K_{368}/K_{369}, K_{2,369}=K_{369}/K_{370}, K_{2,370}=K_{370}/K_{371}, K_{2,371}=K_{371}/K_{372}, K_{2,372}=K_{372}/K_{373}, K_{2,373}=K_{373}/K_{374}, K_{2,374}=K_{374}/K_{375}, K_{2,375}=K_{375}/K_{376}, K_{2,376}=K_{376}/K_{377}, K_{2,377}=K_{377}/K_{378}, K_{2,378}=K_{378}/K_{379}, K_{2,379}=K_{379}/K_{380}, K_{2,380}=K_{380}/K_{381}, K_{2,381}=K_{381}/K_{382}, K_{2,382}=K_{382}/K_{383}, K_{2,383}=K_{383}/K_{384}, K_{2,384}=K_{384}/K_{385}, K_{2,385}=K_{385}/K_{386}, K_{2,386}=K_{386}/K_{387}, K_{2,387}=K_{387}/K_{388}, K_{2,388}=K_{388}/K_{389}, K_{2,389}=K_{389}/K_{390}, K_{2,390}=K_{390}/K_{391}, K_{2,391}=K_{391}/K_{392}, K_{2,392}=K_{392}/K_{393}, K_{2,393}=K_{393}/K_{394}, K_{2,394}=K_{394}/K_{395}, K_{2,395}=K_{395}/K_{396}, K_{2,396}=K_{396}/K_{397}, K_{2,397}=K_{397}/K_{398}, K_{2,398}=K_{398}/K_{399}, K_{2,399}=K_{399}/K_{400}, K_{2,400}=K_{400}/K_{401}, K_{2,401}=K_{401}/K_{402}, K_{2,402}=K_{402}/K_{403}, K_{2,403}=K_{403}/K_{404}, K_{2,404}=K_{404}/K_{405}, K_{2,405}=K_{405}/K_{406}, K_{2,406}=K_{406}/K_{407}, K_{2,407}=K_{407}/K_{408}, K_{2,408}=K_{408}/K_{409}, K_{2,409}=K_{409}/K_{410}, K_{2,410}=K_{410}/K_{411}, K_{2,411}=K_{411}/K_{412}, K_{2,412}=K_{412}/K_{413}, K_{2,413}=K_{413}/K_{414}, K_{2,414}=K_{414}/K_{415}, K_{2,415}=K_{415}/K_{416}, K_{2,416}=K_{416}/K_{417}, K_{2,417}=K_{417}/K_{418}, K_{2,418}=K_{418}/K_{419}, K_{2,419}=K_{419}/K_{420}, K_{2,420}=K_{420}/K_{421}, K_{2,421}=K_{421}/K_{422}, K_{2,422}=K_{422}/K_{423}, K_{2,423}=K_{423}/K_{424}, K_{2,424}=K_{424}/$

Б. И. Краснов, К. М. Мусаев, В. В. Атлас
ГЕКСЕН-1-ИН МЕТАТЕЗИСИ РЕАКЦИЯСЫНЫН КИНЕТИК МОДЕЛЛЭРИНИН
EhM-нын КӨМӘЖИ ИЛӘ ТӘҢЛИЛИ

Магаләдә чохмәрәләли, чохмаршрутlu реаксијаларын кинетик моделләринин EhM-да автоматик чыхарылмасы үчүн иңәрдә тутулмуш алгоритми вә универсал комплекс программы верилмишdir. Комплекс һамчинин мұхтәлиф, технологи несабаттарда материал балансларын тәнликларинин моделләшdirилмәси вә мүстәгил реаксијалар топлусуну тәжүрие үчүн истифада едила билор.

Гексен-1-ин метатезиси реакцијасынын уч күмән едилен механизм үчүн сүр'эт тәнликләрни дахил олан константларын атрафында тәсвири илә кинетик моделләринин автоматлаштырылыш чыхарылышы апартылышынан.

V. I. Krasnov, K. M. Musayev, V. V. Atlas

**ANALYSIS OF KINETIC MODELS FOR 1-HEXENE METATHESIS REACTION
BY ELECTRONIC COMPUTER**

An algorithm and a universal complex of programs are described for automated computerized derivation of kinetic models for multistage multiroute reactions. The complex can also be employed in various process calculation techniques for simulating material balance equations and determining independent overall reactions.

Kinetic models of 1-hexene metathesis reaction are automatically derived for three suggested mechanisms and the rate equation constants are described in detail.

АЗЭРБАЙЧАН ССР ЕЛМЛЭР АКАДЕМИЈАСЫНЫН МӘРУЗӘЛӘРИ

ДОКЛАДЫ АКАДЕМИИ НАУК АЗЕРБАЙДЖАНСКОЙ ССР

ТОМ XLII ЧИЛД

№ 2

1986

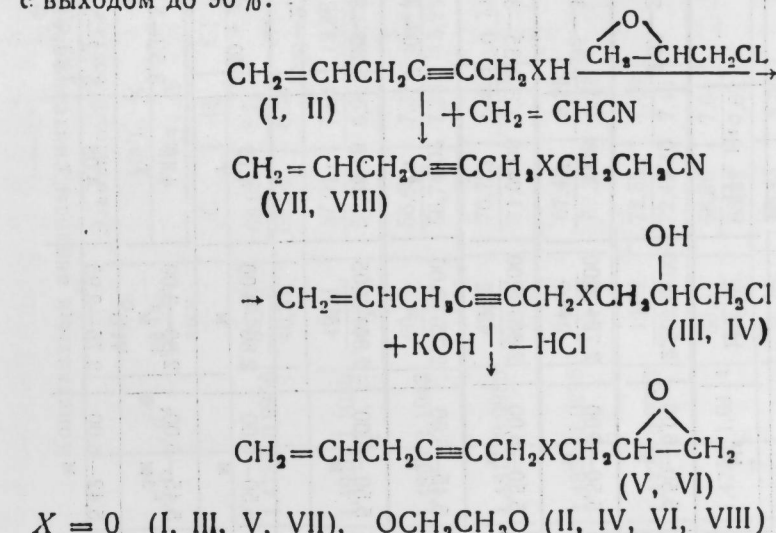
УДК 547.431.2:547.339.2:547.345

ОРГАНИЧЕСКАЯ ХИМИЯ

М. Г. ВЕЛИЕВ, А. М. ГАРАМАНОВ, чл.-корр. АН Азерб. ССР М. М. ГУСЕИНОВ
**СИНТЕЗ И ПРЕВРАЩЕНИЯ ЭПОКСИ-и ЦИАН СОДЕРЖАЩИХ
АЛЛИАЦЕТИЛЕНОВ**

Аллиацетиленовые соединения представляют большой интерес [1], однако изучены они недостаточно. Продолжая исследования [2, 3] в этом направлении, мы изучили некоторые реакции 5-гексен-2-ин-1-ола и полученные на его основе соединения.

Оказалось, что 5-гексен-2-ин-1-ол (I) реагирует с окисью этилена в присутствии эфирата трехфтористого бора с образованием эфироспирта (II) с выходом 56%. Аллиацетиленовые спирты (I, II) с эпихлоргидрином в присутствии эфирата трехфтористого бора дают хлоргидрины (III, IV) с выходом до 80%, дегидрохлорированием которых (при 10—12°C) получены окиси (V, VI)* с выходом до 80%, а реакция с акрилонитрилом в присутствии катализических количеств щелочи приводит к образованию нитрилов (VII, VIII) с выходом до 90%.



Приведенная структура соединений (II—VIII), индивидуальность которых определена ГЖХ и ТСХ анализом подтверждена исследованием их ИК-и ПМР-спектров (табл. 1 и 2). В ИК-спектре соединений (V, VI) отсутствует полоса поглощения в области 1940—1960 cm^{-1} , характерная для алленовой группы.

* Проводя реакции при более высокой температуре, наблюдается ацетилен-алленовая изомеризация.

Таблица 1

Спектры ПМР соединения (II—IX)
 $\begin{array}{c} \text{1} \\ | \\ \text{CH}_2=\text{CH}-\text{CH}_2-\text{C}\equiv\text{C}-\text{CH}_2\text{OR} \\ | \\ \text{2} \quad \text{3} \quad \text{4} \end{array}$

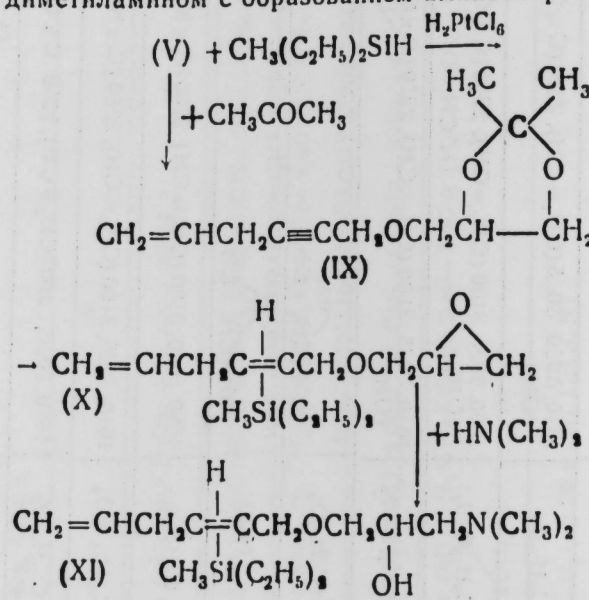
№ пп	Сигналы протонов, δ, м.д.						<i>R</i>
	H ¹ , H ^{1'}	H ²	H ³	H ⁴ , H ^{4'}	H ⁵ , H ^{6*}		
II	4,90—5,40 M	5,50—6,00 M	2,80—3,00 M	4,10 T	3,37—3,0 M (4H, CH ₂ CH ₂ O), 3,47 уш с (OH)		
III	4,90—5,40 M	5,50—6,00 M	2,75—3,00 M	4,08 T	3,35—3,75 M (4H, CH ₂ CH ₂ O), 3,75—4,00 M (H, CH=O), 3,15 уш с (OH)		
IV	4,90—5,40 M	5,50—6,00 M	2,80—3,00 M	4,08 T	3,35—3,70 M (8H, CH ₂ OCH ₂ , CH ₂ Cl), 3,75—4,00 M (H, CH=O), 3,15 уш с (OH)		
V	4,85—5,30 M	5,45—6,00 M	2,75—3,00 M	4,07 T	3,30—3,75 M (2H, CH ₂), 3,00 M (H, CH=O), 2,76—2,75 M (2H, CH ₂ O), 2,36—2,70 M (CH ₂ —O)		
VI	4,80—5,37 M	5,50—6,00 M	2,80—3,05 M	4,10 T	3,30—3,75 M (6H, CH ₂ CH ₂ CCH ₂), 2,80—3,05 M (H, CH=O), 2,36—2,70 M (CH ₂ —O)		
VII	4,95—5,46 M	5,50—6,00 M	2,80—3,00 M	4,12 T	3,60 τ (2H, CH ₂), 2,50 τ (2H, CH ₂ CN)		
VIII	4,88—5,37 M	5,45—6,00 M	2,80—3,00 M	4,12 T	3,52—3,77 M (6H, CH ₂ CH ₂ CCH ₂), 2,48 τ (2H, CH ₂ CN)		
IX	4,90—5,37 M	5,42—6,00 M	2,75—2,95 M	4,08 T	3,12—3,70 M (4H, OCH ₂ , CH ₂ O), 3,72—4,00 M (H, CH=O), 3,15 с, 3,23 с (6H, (CH ₃) ₂ C=7)		

Таблица 2

Константы и анализы синтезированных соединений (II—IX, XI, XII, XIII)

№ пп	Вы- ход, %	Т. кип. °C P, мм	n _D ²⁰	M R _D на юл. выч.	Элементный состав			ИК-спектр (Δν, см ⁻¹)	
					На τ, %		Брутто-фор- мула		
					Фир., %	С			
II	56	75—76 0,5	1,4752	0,9956 40,31	39,65 68,54	68,69 8,63	8,71 —	1610, 3020, 30,5 (CH ₂ =CH), 2250 (C≡C), 3450 (OH) ₂	
III	80	109—110 1	1,4920	1,1080 49,79	57,21 57,30	7,04 6,95	18,86 18,79	C ₉ H ₁₃ C ₁₀ ₂ (OH) ₂	
IV	79	132—133 0,5	1,4890	1,1043 60,87	56,63 56,74	7,37 7,36	15,34 15,23	C ₁₁ H ₁₇ C ₁₀ ₂ (OH)	
V	80	82 1	1,4810	0,9980 43,16	43,35 43,16	70,72 71,03	8,31 7,95	C ₉ H ₁₃ O ₂ 3070 (CH ₂ =CH)	
VI	74	110 0,5	1,4852	1,0295 54,24	54,65 54,24	67,49 67,32	8,28 8,22	C ₁₁ H ₁₆ O ₃ 3070 (CH ₂ =CH)	
VII	90	99—100 0,5	1,4720	0,9732 43,23	42,92 43,23	72,55 72,45	7,48 7,43	C ₉ H ₁₁ N ₀ 1660, 3020, 3100 (CH ₂ =CH), 2260 (C≡N)	
VIII	80	134 1	1,4756	1,0114 54,31	53,84 58,89	68,36 68,54	7,64 8,63	C ₁₁ H ₁₆ NO ₂ 1610, 3025, 3100 (CH ₂ =CH), 2260 (C≡N)	
IX	63,3	92 0,5	1,4670	1,0015 91,29	58,28 90,34	68,43 91,29	8,56 —	C ₁₂ H ₁₈ O ₃ 1640, 3020, 3090 (CH ₂ =CH), 2250 (C≡C)	
XII	54	214 1	1,5550	1,5110 —	46,16 —	39,47 39,54	50,35 50,09	C ₁₄ H ₁₂ Cl ₆ O ₂ 1605 (C≡C), 2250 (C≡C), 3070 (CH ₂ =CH)	
XIII	65	211—212 1	1,5380	1,3914 —	93,59 94,49	46,23 46,16	4,30 4,36	C ₁₆ H ₁₈ Cl ₄ O ₄ 1005 (C≡C), 2250 (C≡C), 2065 (CH ₂ =CH)	

Взаимодействие соединения (V) с ацетоном в присутствии эфирата трехфтористого бора и метилдиэтилсиланом в присутствии катализатора Спайера приводит к образованию соответствующего 1, 3-диоксалана (IX) и кремнийсодержащего 1, 4-диенового эпоксида (X)*, который реагирует с диметиламином с образованием аминоспирта (XI).



В ИК-спектре соединения (IX) исчезает полоса при 3065 см^{-1} , характерная для оксиранового цикла. В спектре ПМР две метильные группы проявляются в виде синглета с химическим сдвигом 3,15 и 3,23 м. д.

ИК-спектр соединения (X) содержит полосы поглощения при

1250 (Si—C), 1610 (C=C, в фрагменте Si—C=C), 3060 (CH_2-CH) и 1640, 3010, 3095 cm^{-1} ($\text{CH}_2=\text{CH}$); отсутствуют полосы поглощения в области 1940—1960 и 2190—2260 cm^{-1} , характерные для связи C=C и C≡C соответственно. В спектре соединения (XI) отсутствуют полосы, присущие окисному циклу, и появляется широкая полоса OH-группы при 3470 cm^{-1} .

Сведение (V) вступает в реакцию дисперсного синтеза с гексахлорцикlopентадиеном и 5,5-диметокситетрахлорцикlopентадиеном при 105—110°C за счет C-C связи, что приводит к образованию соответствующих аддуктов (XII, XIII).

ЭКСПЕРИМЕНТАЛЬНАЯ ЧАСТЬ

ИК-спектры сняты на спектрофотометре «UR-20» (призмы — КBr, NaCl и LiF, 400—3600 см⁻¹), спектры ПМР — на спектрометре «Tesla BS — 487 В» (80 МГц) с ГМДС в качестве внутреннего стандарта.

* Порядок присоединения к $C \equiv C$ связи не изменился.

2-(5-гексен-2-инилокси) этанол (II). К 48 г соединения (I), содержащего 1 мл эфирата трехфтористого бора, при перемешивании и охлаждении (0—5°C) прибавили 11 г окиси этилена. Реакционную смесь перемешивали еще 3 ч при 15°C. На следующий день реакционную массу промывали водой, экстрагировали эфиром и сушили сульфатом магния. После отгонки растворителя перегонкой в вакууме получили 19,6 г соединения (II).

1-(5-Гексен-2-инилокси)-3-хлорпропан-2-ол (III). К 38,4 г соединения (1), содержащего 0,2 мл эфирата трехфтористого бора, при перемешивании и охлаждении (0—5°C) прибавили 14 г эпихлоргидрина. Реакционную смесь перемешивали 5 ч при 25°C. Перегонкой в вакууме выделили 22,6 г соединения (III).

Аналогично получен (IV) из (II) и эпихлоргидрина

1-5-гексен-2-инилокси)-2,3-эпоксипропан (V). К 6,6 г раствора соединения (III) в 60 мл эфира при перемешивании и охлаждении (10—12 °C) добавляли 5,6 г порошкообразного едкого кали. Реакционную массу перемешивали еще 2 ч при 12—14°C. После обычной обработки и отгонки растворителя вакуумной перегонкой выделили 4,25 г соединения (V).

Аналогично получен (VI) из (IV).

2-(5-гексен-2-инилокси)пропионитрил (VII). При перемешивании к 14 г соединения (I), содержащего 1 мл 40%-ного раствора едкого кали, прибавили 7,8 г акрилонитрила при 25°C. На следующий день перемешивали еще 3 ч при 20°C, а затем реакционную массу промывали водой, экстрагировали эфиром и сухими сульфатом магния. Пере-гонкой в вакууме выделили 19,5 г соединения (VII).

Аналогично получено (VIII) из (II) и акрилонитрила.

Аналогично получено (VII) из (I) и ацетономагний.
2,2-диметил-4-(2-окса-7-октен-4-инил),3-диоксалан (IX). К 25 г ацетона, содержащего 0,2 мл эфирата трехфтористого бора, порциями приливали 5 г соединения (V). На следующий день обработали насыщенным раствором поташа, отделили органический слой и высушили сульфатом магния. Перегонкой в вакууме выделили 4,8 г 1,3-диоксалана (IX).

Взаимодействие соединения (V) с метилдиэтилсиланом. Смесь, состоящую из 6 г соединения (V) и 4,1 г метилдиэтилсилана, кипятили 18 ч в присутствии катализатора Спайера, в среде 25 мл бензола. Пегонкой в вакууме выделили 6,5 г кремнийсодержащего эпоксидиена (X), т. кип. 125—127°C (1 мм), n_{D}^{20} 1,4776, d_{4}^{20} 0,9304. MR_D 77,42, выч. 78,81. Выход — 63,8%. Найд. %: C 65,87; H 10,42; Si 10,81. $C_6H_{12}O_2Si$. Выч. %: C 66,09; H 10,30; Si 11,04.

Взаимодействие соединения (X) с диметиламином. Смесь, состоящую из 5,6 г соединения (X) и 10 мл 33%-ного водного раствора диметиламина, перемешивали в течение 12 ч при 50°C, а затем экстрагировали эфиром и высушивали поташом. Перегонкой в вакууме получили 4,5 г амино-спирта (XI), т. кип. 140—142°C (1 мм) n_{D}^{20} 1,4800, d_{4}^{20} 0,9208, MR_D 92,41, выч. 91,79. Выход—68%. Найд., %: C 64,32; H 11,18; Si 9,43; $C_{10}H_{33}NO_2Si$. Выч., % C 64,16; H 11,10; Si 9,38.

Литература

1. Петров А. А. — Жури. Всесоюзи. хим. общ. им. Д. И. Менделеева, т. 3, 1962, 362. 2. Велиев М. Г., Гусейнов М. М., Яновская Л. А., Мамедов Э. Ш., Байрамов А. А.

—Изв. АН СССР, серия хим., 1980, 1358. З. Велиев (М. Г. Гусейнова М. М. Яниская Л. А. Гахчаганова Р. Ф.) — Изв. АН СССР, серия хим., 1981, 144.

Институт хлорорганического синтеза АН АзССР

Поступило 4. XI 198

М. І. Вадієв, Э. М. Гармашов, М. М. Іусеїнс

**ЕПОКСИ-ВЭ СИАНТЭРКИСЛИ АЛЛИЛАСЕТИЛЕНЛӨРИН СИНТЕЗИ
ЧЕВРИЛМЭЛЭРИ**

Мөгөләдэ калиум һидроксидин иштиракы илэ 10—12°C-дэ ефир мүхитин ўзғу хлоридрийлэрин денидрохорлашдырылмасы эсасында аллиласетилен споксайдлэрин алымна методу тэдгиг едилмишдир. Аллиласетилен спиртлэрини акрилонириллэ гаршылыглы тэ'сир илэ ўзғун интриллэр синтез олуимушдур. Алымны споксайдин бэ'эн кимжэви чеврийлалдари вірээндимшиддир.

M. G. Veliev, A. M. Garamanov, M. N. Guseinov

SYNTHESIS AND CONVERSIONS OF EPOXY- AND CYANOCONTAINING ALLYLACETYLENES

This article deals with a method for preparing allylacetylenic epoxides. The method is based on dehydrochlorination of corresponding chlorohydrines in the presence of potassium hydroxide at 10–12°C in the ethereal medium. The corresponding nitriles were synthesized by interaction of allylacetylenic alcohols with acrylonitrile. Certain chemical conversion of the epoxide obtained is studied.

АЗЭРБАЙЧАН ССР ЕЛМЛЭР АКАДЕМИЯСЫНЫН МЭРҮЗЭЛЭРИ

ДОКЛАДЫ АКАДЕМИИ НАУК АЗЕРБАЙДЖАНСКОЙ ССР

ТОМ 'ХЛІІ ЧИЛД

No. 2

1986

УДК 661.876

НЕОРГАНИЧЕСКАЯ ХИМИЯ

А. Н. НУРНЕВ, Б. З. РЗАЕВ, А. М. КАРАЕВ

ПОЛУЧЕНИЕ СЕЛЕНИДА СУРЬМЫ

(Представлено академиком АН Азербайджанской ССР Т. Н. Шахтахтинским)

C. pectoralis und *C. tenuis* mit *C. punctatus* verwechselt.

При взаимодействии селена с сурьмой образуется устойчивое соединение Sb_2Se_3 , имеющее ромбическую решетку. Селенид сурьмы плавится инконгруэнтно при 617°C , синтезируется сплавлением чистых компонентов в эвакуированных кварцевых ампулах при 900° [1].

Цель данной работы заключается в разработке метода получения селенида сурьмы из трехсернистой сурьмы взаимодействием последней селеноводородом.

Трехсернистая сурьма получена из природного дарыдагского сурьмяного блеска и содержит 99, 91% Sb_2S_3 , а селеноводород — из элементарного селена пропусканием через него очищенного водорода при $400^{\circ}C$ [2].

Эксперименты проведены в собранной нами установке, которая состоит из трех частей: первая служит для очищения водорода, вторая состоит из двух реакторов, соединенных между собой. В первом реакторе водород, переходя через металлический селен, образует селеноводород. Во втором реакторе помещается кварцевая лодочка с пробой трехсернистой сурьмы. Третья часть установки состоит из соединенных сосудов с подкисленным раствором треххлорида сурьмы для улавливания выделяющегося сероводорода. После прекращения выделений сероводорода образуется черный осадок селенида сурьмы, а это пока-зывает конец реакции обмена.

Для проведения исследований проба трехсернистой сурьмы в кварцевой лодочки помещается внутрь второго реактора. В первый реактор насыпается дробленый металлический селен. После достижения заданной температуры в печах, с определенной скоростью пропускают водород. Результаты влияния температуры на получение селе-

нида сурьмы приведены на рис. 1 (кр. 1). Как следует из кр. 1, реакция в основном хорошо идет при 400—450°C и степень превращения достигает 86,2%. С повышением температуры степень превращения снижается, и при 600°C Sb_2Se_3 достигает лишь 20%. Снижение выхода трехселенида сурьмы, видимо, связано с тем, что при температуре выше 500°C начинается умягчение селенида сурьмы и образуется в полученной части пробы пленка, что затрудняет переход селеноводорода внутрь пробы.

Также было установлено, что при температуре менее 400°C реакция превращения Sb_2S_3 в Sb_2Se_3 незначительна.

На рис. 2 приведены результаты опытов, характеризующие влияние времени проведения процесса на степень превращения Sb_2S_3 в Sb_2Se_3 при 400, 500 и 600°C. Во всех опытах проба была 0,5 г и скорость пропускания водорода составила 0,8—1,0 мл/сек.

Как видно из рис. 2, характер кривых сходен, но сильно отличается выходом трехсelenида сурьмы. При 600°C максимальный выход (22%) получается 40-минутным проведением процесса. Судя по времени проведения процесса, наилучшей температурой является 400°C ,

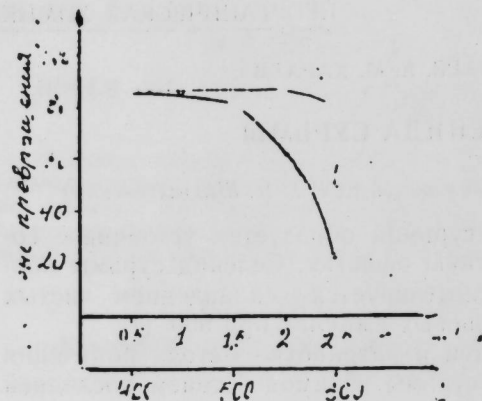


Рис. 1. Влияние факторов на степень превращения Sb₂S₃ в Sb₂Se₃: 1 — зависимость степени превращения Sb₂S₃ в Sb₂Se₃ от температуры; 2 — от скорости подачи водорода

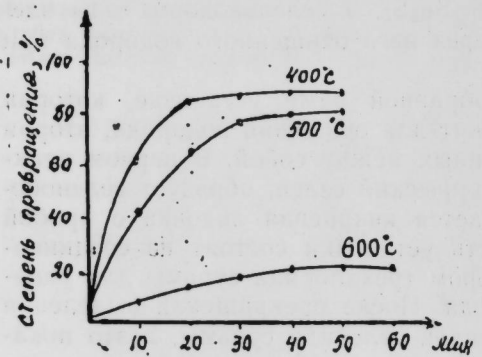


Рис. 2. Зависимость степени превращения Sb₂S₃ в Sb₂Se₃ от времени проведения процесса.

и при этом выход составляет 86%. Поэтому в дальнейших сериях опыты проведены при 400°C , а время проведения процесса составило 20 мин.

Установлено, что при пропускании водорода через металлический селен со скоростью 4 мл/сек селеноводород не образуется, поэтому изучена оптимальная скорость подачи водорода в интервале 0,5—4 мл/сек. Следует отметить, что из-за невозможности измерения скорости газовых смесей ($\text{H}_2 + \text{H}_2\text{Se}$), поступающих во второй реактор, скорость пропускания газа контролировалась по скорости водорода. Результаты этих опытов приведены на рис. 1 (кр. 2).

Как следует из кр. 2, оптимальная скорость подачи водорода лежит в пределах 0,5—2,5 мл/сек. С увеличением скорости подачи водорода, выход трехсelenида сурьмы снижается.

Исследована зависимость степени превращения от размеров частиц. Было выяснено, что реакция хорошо идет с порошковой пробой, но и при этом практически не достигается полного превращения.

Опытами установлена зависимость степени превращения от толщины слоя порошковой пробы (табл. 1).

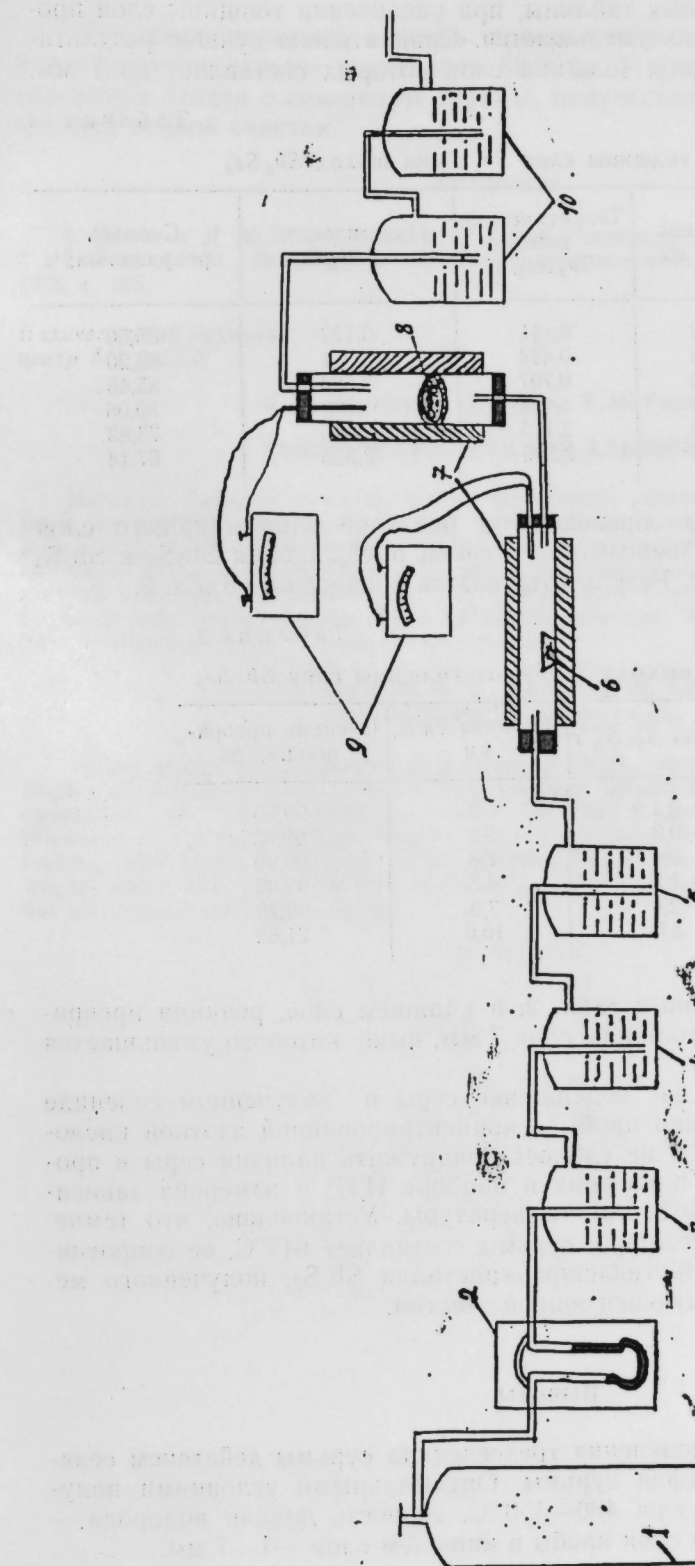


Рис. 3. Установка для получения селенида сурьмы в кипящем слое: 1 — водородный баллон; 2 — реометр; 3 — поглотительные склянки со щелочным раствором KMnO₄; 4 — с раствором H₂SO₄; 5 — лодочка с селеном; 6 — лодочка с конц. H₂SO₄; 7 — лодочка с KMnO₄; 8 — гальванометр ПП-63; 9 — навеска с Sb₂S₃; 10 — плавильная печь с раствором SbCl₃.

Как видно из данных таблицы, при увеличении толщины слоя пробы степень превращения уменьшается. Сравнительно лучшие результаты получаются в опытах, толщина слоя которых составляет до 1 мм.

Таблица 1

Влияние толщины слоя Sb_2S_3 на выход Sb_2Se_3

№ пп	Проба Sb_2S_3 , г	Толщина слоя, мм	Теоретический выход Sb_2Se_3 , г	Практический выход Sb_2Se_3 , г	Степень превращения, %
1	0,1	0,2	0,141	0,122	86,50
2	0,3	0,6	0,424	0,361	86,20
3	0,5	1,0	0,707	0,604	85,45
4	1,0	2,0	1,410	1,123	80,06
5	1,5	3,0	2,115	1,560	73,83
6	2,5	5,0	3,525	2,366	67,14

Дальнейшие опыты проведены в реакторе типа кипящего слоя (рис. 3). Исследована зависимость степени превращения Sb_2S_3 в Sb_2Se_3 от толщины слоя пробы. Результаты опытов приведены в табл. 2.

Таблица 2

Зависимость выхода Sb_2Se_3 от толщины слоя Sb_2Se_3

№ пп	Проба Sb_2S_3 , г	Толщина слоя, мм	Степень превращения, %
1	0,1	0,3	99,90
2	0,3	0,9	99,95
3	0,6	1,8	99,90
4	1,5	4,5	99,85
5	2,0	7,0	99,20
6	3,0	10,0	71,62

Как следует из данных табл. 2, в кипящем слое, реакция превращения хорошо идет до толщины слоя 7 мм, выше которого уменьшается выход селенида сурьмы.

Приведен анализ на содержание серы в полученном селениде сурьмы, после разложения пробы в концентрированной азотной кислоте. Химическим анализом не удалось обнаружить наличия серы в пробе. Снята температура плавления в приборе ИТР и измерена зависимость сопротивления Sb_2Se_3 от температуры. Установлено, что температура плавления трехселенида сурьмы составляет 617°C , ее сопротивление соответствует сопротивлению кристалла Sb_2S_3 , полученного методом синтеза без последующей зонной очистки.

Выводы

Разработан метод получения трехселенида сурьмы действием селеноводорода на трехсульфид сурьмы. Оптимальными условиями получения Sb_2Se_3 являются т-ра $400-450^{\circ}\text{C}$, скорость подачи водорода $1,0-1,5$ мл/сек, толщина слоя пробы в кипящем слое $1-7$ мм.

При этих условиях степень превращения трехсульфида сурьмы в трехселенид сурьмы составляет $89,90\%$. Установлено, что Sb_2S_3 по характеру сходен с селенидом сурьмы, полученный синтезом без последующей зонной очистки.

Литература

- Чижиков Д. М., Счастливый В. П. Селен и селениды. — М.: Наука, 1964, с. 105.
- Угай А. Я. Введение в химию полупроводников. — М.: Высшая школа, 1975, с. 195.

Научеванский научный центр АН АзССР

Поступило 19. VII. 1983.

Э. Н. Нуриев, Б. З. Раев, Э. М. Гараев

СТИБИУМ 3-СЕЛЕНИДИН АЛЫНМАСЫ

Мөгаләдә Дарыдаг тәбии антимонит филизиңидән яранмыш истифадә едәрәк стибийум 3-селениддин алымасы шәрәнти верилмишdir. Мүәјжид олмушшур ки, температура $400-450^{\circ}\text{C}$, газын верилмә сүр'ети $1,5-2$ мл/сан, нүмүнә гатынан галынылыбы аді налда $0,5-1$ мм, гаинар тәбәгәдә исә 7 мм-ә гәдәр олдуғуда стибийум 3-сульфидин стибиум-3-селенидә чөврилмәси $99, 90\%$ тәшкіл едир. Алымыш Sb_2Se_3 физикалық хасаларында көрә элементләрдән 900°C -дә синтез олумыш, лакиу зона тәмизләнмәсендән кечмәмиш стибийум 3-селенидә уйғын көлир.

A. N. Nuriyev, B. Z. Rzaev, A. M. Karaev
THE PRODUCTION OF Sb_2Se_3

In the article the conditions of production Sb_2Se_3 using selenium hydride and Sb_2Se_3 with 99,91% purity, yielded from Daridag antimonic ore, are given. Fractional conversion of Sb_2Se_3 into Sb_2Se_3 under $400-450^{\circ}\text{C}$ gas desorption rate $1,5$ ml/s, thickness of a standard layer under normal condition $0,5-1$ mm and the one at a boiling layer 7 mm was found to be $99,90\%$. The physical properties of the latter Sb_2Se_3 don't differ from the one of Sb_2Se_3 yielded from the elements under 900°C but not passed the zone melting.

М. А. МАМЕДЬЯРОВ, Б. З. РЗАЕВ, Р. К. САЯДОВ

ПОЛУЧЕНИЕ МЕТАЛЛИЧЕСКОГО МЫШЬЯКА

(Представлено академиком АН Азербайджанской ССР Т. Н. Шахтахтинским)

В настоящее время решение таких фундаментальных задач, как прямое превращение тепловой и солнечной энергии в электрическую, создание сверхпроводящих, а также химически, механически и термически устойчивых материалов непосредственно зависит от разработки рациональных методов получения особо чистых веществ. Как известно, [1] область особо чистых веществ для электролитов начинается примерно с содержания примесей $1 \cdot 10^{-4}$ — $1 \cdot 10^{-5}$ вес. %.

Поэтому для получения металлического мышьяка мы использовали очищенный трехсернистый мышьяк, восстановлением его специально очищенным углем. Этот способ сильно отличается от окислительного обжига трехсернистого мышьяка тем, что полученный металлический мышьяк мало загрязняется сопутствующими ионами (или их соединениями), а также отпадают процессы обжига и рафинирования трехокиси мышьяка.

Сырьем для исследования служил трехсернистый мышьяк, полученный из Дарыдагской термальной воды.

Свежая термальная вода без дополнительного нагревания подкисляется соляной кислотой до $\text{pH}=2,0$ — $0,1$. Прибавляется 10%-ный раствор сульфида натрия по расчету, чтобы соотношение мышьяка к сульфиду было 1:1,5—2,0. После 40—45-минутного отстаивания осветленная часть отсифонируется, затем пульпа фильтруется через быстрофильтрующий фильтр. Осадок промывается дистиллированной водой, затем высушивается в термостате при 110—120 °C до постоянного веса и подвергается анализу. Результаты анализа показали, что в составе концентрата содержание As_2S_3 , доходит до 95,65%. Примесью в составе трехсернистого мышьяка являются сурьма, железо, медь, алюминий, кальций, магний, кремний и сера.

Кроме кремния и серы, остальные компоненты легко растворяются в разбавленном 1:2 растворе соляной кислоты. Поэтому концентрат дважды обрабатывается раствором соляной кислоты.

Выявлено, что после двухкратной обработки концентрата раствором соляной кислоты и промывании дистиллированной водой до отрицательной реакции на Cl^- ион, содержание железа, меди, алюминия, кальция, магния и сурьмы снижается до 10⁻⁴%.

Трехсернистый мышьяк освобождается от свободной серы возгонкой последнего при температуре 200—250 °C. Затем трехсернистый мышьяк подвергается возгонке при техническом вакууме при температуре 350 °C. Микропримеси в полученном стеклообразном трехсернистом мышьяке анализированы спектральным методом (табл. 1).

Из данных таблицы следует, что единственное сурьма содержится

в As_2S_3 $1 \cdot 10^{-5}\%$. Содержание остальных элементов ниже чувствительности прибора.

Используя очищенный As_2S_3 изучены факторы, влияющие на степень восстановления As_2S_3 очищенным углем.

Таблица 1

Спектральный анализ трехсернистого мышьяка

Объект анализа	Определяемые элементы										
	Cu	Fe	Al	Si	Mg	Na	Sb	Ca	Bi	Mn	
As ₂ S ₃	н/об*	н/об	н/об	н/об	н/об	н/об	1·10 ⁻⁵	н/об	н/об	н/об	
	Co	Ni	Se	Cr	Sn	Zn	Pb	Hg	Tl	V Mo	
	н/об	н/об	н/об	н/об	н/об	н/об	н/об	н/об	н/об	н/об	
	W	Cd	P	B							
	н/об	н/об	н/об	н/об							

* н/об—ниже чувствительности ($1 \cdot 10^{-5}$) прибора.

Опыты проводились в специально смонтированном кварцевом реакторе. Реактор состоит из трех зон. В первую зону реактора наполняется очищенный As_2S_3 , температура в нем поддерживается в интервале 700—750 °C.

На вторую зону реактора наполняется активированный уголь, температура меняется от 700—до 1000 °C. Третья зона — приемник соединена со второй зоной шлифом. Температура в этой зоне поддерживается постоянно 350 ± 50 °C.

Реактор устанавливается вертикально, при этом невосстановленная

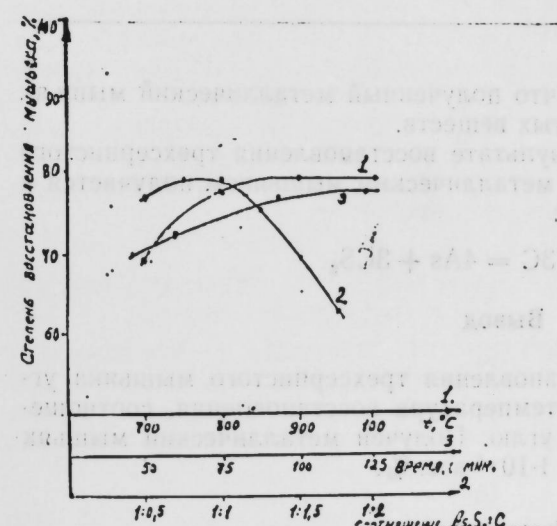


Рис. 1. Влияние факторов на степень восстановления трехсернистого мышьяка:

1. Влияние температуры.

2. Влияние времени.

3. Влияние соотношения трехсернистого мышьяка к углю.

возгоняющаяся часть сульфида, переходя в приемник, расплавляется и возвращается в основную зону. Результаты опытов, проведенных в различных температурах при весовом соотношении угля к трехсернистому мышьяку 1:0,5, приведены на рис. 1 (кривая 1).

Из кривой следует, что при постоянной температуре первой зоны степень восстановления сильно зависит от температуры второй — восстановительной зоны. При температуре 850° и выше степень восстановления достигает до 79%.

С целью уточнения влияния необходимого количества угля на степень восстановления трехсернистого мышьяка при 850° температуре проводились опыты, результаты которых приведены на рис. 1 (кривая 2).

Из кривой 2 наглядно видно, что при весовом соотношении трехсернистого мышьяка к углю 1:1 степень восстановления достигает до 80%.

Также выявлено, что оптимальное время восстановления является 100—120 мин. выдержки (рис. 1, кривая 3).

Половина полученного мышьяка является аморфной и в составе имеются следы серы. Поэтому полученный мышьяк для кристаллизации подвергается двухкратной очистке в трехсекционных ампулах при вакууме 10^{-3} — 10^{-4} мм рт. ст.

Результаты анализа после первой очистки приводятся в табл. 2.

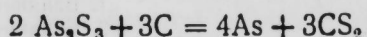
Таблица 2

Спектральный анализ металлического мышьяка

Объект анализа	Определяемые элементы											
	Cu	Fe	Al	Si	Mg	Sb	Na	Ca	Bi	Mn	Co	
As	и/об	и/об	и/об	и/об	и/об	и/об	и/об	и/об	и/об	и/об	и/об	
	Ni	Cr	S ₃	Zn	Pb	Hg	Tl	V	Mo	W	Cd	
	и/об	и/об	и/об	и/об	и/об	и/об	и/об	и/об	и/об	и/об	и/об	
	P	B										
	и/об	и/об										

Из данных таблицы видно, что полученный металлический мышьяк отвечает требованиям особо чистых веществ.

Следует отметить, что в результате восстановления трехсернистого мышьяка углем одновременно с металлическим мышьяком получается и сероуглерод. Уравнение реакции:



Вывод

Исследованы условия восстановления трехсернистого мышьяка углем. Установлена оптимальная температура восстановления, соотношение трехсернистого мышьяка к углю. Получен металлический мышьяк с содержанием примесей меньше $1 \cdot 10^{-5}$ вес. %.

Литература

Степин Б. Д. и др. Методы получения особо чистых неорганических веществ. — Л.: Химия, Ленингр. отд., 1969. с. 16.

Нахичеванский научный центр АН Азерб. ССР

Поступило 13. 1. 1982

М. Э. Мамедяров, Б. З. Рзаев, Р. К. Саджадов

МЕТАЛ АРСЕНИН АЛЫНЫСЫ

Мәгәләдә арсен 3-сульфидин хүсуси тәмизләнмиш көмүрлә редуксијасы иәтичәләри верилмишdir. Арсен 3-сульфид Дарыдаг термал сүйүндән алымыш, хлорид туршусу мәһүлүлү вә вакуум алтында субблумә етмәклә гарышыглардан тәмизләнмишdir. Онуң спектрал тәдгиги көстәрмишdir ки, сурмәдән башга галан элементләрин мигдары чиназы һәссаслығында ашагыдыр.

Арсен 3-сульфидин редуксијасы үчзоналы кварс реакторда апарылмышдыр. Оптиmal редуксија температурасы (850 — 1000°C), арсен 3-сульфидин көмүрә чәки иисбәти (1:1), процесси апарылма мүлдәти (100 — 120 дәг.) мүәјжән едилемишишdir.

Тәдгигат иәтичәсендә айdın олмушшур ки, алымыш метал арсен хүсуси тәмиз маддәләре верилән тәләби өдәјир.

М. А. Mamedyarov, B. Z. Rzaev, R. K. Sayadov

METALLIC ARSENIC PREPARATION

The conditions of As_2S_3 reduction by coal were studied. Optimal temperature of reduction and As_2S_3 to coal relation was established. Metallic arsenic was prepared, the admixture being less than $1 \cdot 10^{-5}\%$ by wt.

УДК 539.175+663.241+547.98

ФИЗИЧЕСКАЯ ХИМИЯ

Э. Б. ЗЕИНАЛОВ, Е. Г. ГЛАДЫШЕВА, В. А. КЕРИМОВА, М. И. РАДЖАЛОВ
К. С. ШИХАЛИЕВ, Б. Ю. ТРИФЕЛЬ, чл.-корр. АН Азерб. ССР Б. К. ЗЕИНАЛОВ

**О ПРИМЕНЕНИИ МОДЕЛЬНЫХ ЦЕПНЫХ РЕАКЦИЙ
ДЛЯ АНАЛИЗА ФИЗИОЛОГИЧЕСКИ АКТИВНЫХ ВЕЩЕСТВ
В ПИЩЕВЫХ НАПИТКАХ**

В последние годы широкое распространение стали получать кинетические методы анализа ряда физиологически активных веществ, основанные на использовании модельных реакций. Большое значение приобретают модельные цепные процессы для анализа природных веществ, обладающих свойствами ингибиторов-антиоксидантов и ингибиторов, обрывающих акильные цепи. Ряд важных результатов получен с использованием модельных реакций окисления углеводородов [1, 2] и полимеризации винильных мономеров [3].

Например, с помощью этих моделей удалось проанализировать многие природные и спиртосинтетические композиции [4–6]. Однако пока отсутствуют систематические исследования, связанные с применением кинетического анализа антиоксидантов в различных пищевых напитках. Можно полагать, что применение указанных методов для «скрининга» этих объектов позволило бы в ряде случаев устанавливать наличие в них некоторых физиологически важных соединений, активность и количество которых должно определять пищевые и вкусовые качества этих композиций и прогнозировать возможные сроки их хранения.

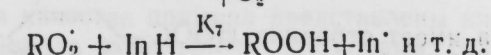
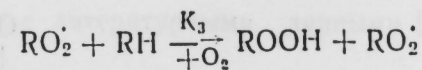
Настоящая работа посвящена установлению принципиальной возможности применения модельной реакции окисления кумола [2] для анализа коньяков и некоторых других ликероводочных изделий, содержащих антиоксиданты. Легко показать, что при ингибированном окислении углеводорода RH, если антиоксидант расходуется только в реакции обрыва цепей, выполняется соотношение

$$\tau = \frac{f_n \ln H_1}{W_1}, \quad (1)$$

где τ —продолжительность индукционного периода, f —коэффициент ингибирования, равный числу реакционных цепей, обрываемых одной ингибирующей группой ингибитора, n —число ингибирующих групп, W_1 —скорость инициирования. Для неглубоких стадий превращения справедливо также выражение:

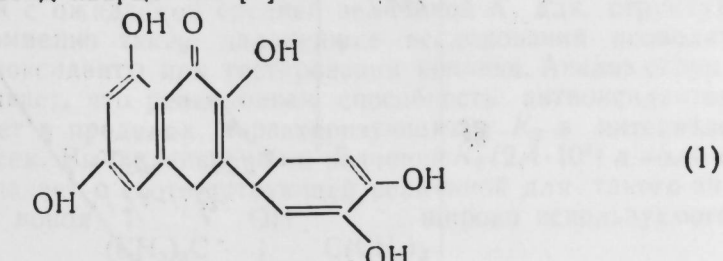
$$\frac{\Delta(O_2)}{[RH]} = -\frac{K_3}{K_7} \ln(1-t/\tau), \quad (2)$$

где $\Delta(O_2)$ —количество поглощенного в процессе кислорода, $[RH]$ —концентрация углеводорода, t —время реакции, K_3 и K_7 —коэффициенты скоростей реакций развития и обрыва цепей;

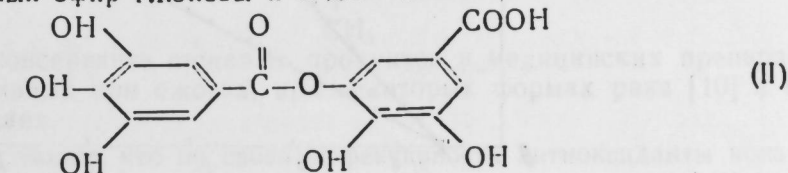


Зная кинетические характеристики модельной реакции из уравнений (1) и (2), можно рассчитать эффективные концентрации ингибиторов InH-типа $C_1 = f_1 n_1 [InH]$ и соответствующие константы ингибирования $K_{7,1}$ (л/моль·сек).

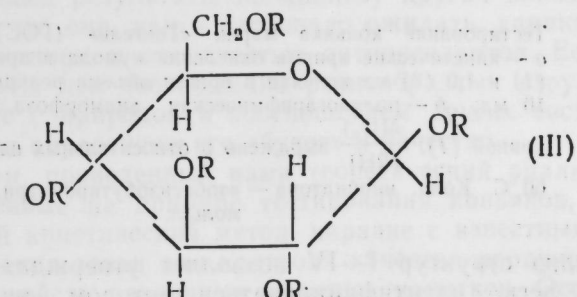
Англиз ряда алкогольных напитков, содержащих дубильные (дубящие) вещества, показал, что эти соединения легко идентифицируются как по активности ($K_{7,1}$), так и по эффективной концентрации (C_1). Например, хорошо известно, что при производстве коньяков, соответствующий коньячный спирт экстрагирует из дерева (в большинстве случаев из дуба обыкновенного—Quercus robur) некоторые вещества дубовой древесины. При этом качество коньяка определяется видом дуба, возрастом древесины, продолжительностью экстракции и другими факторами [7, 8]. Одним из компонентов экстрагируемых веществ является антиоксидант—кверцитрин, представляющий собой глюкозид кверцетина [9].



Кроме того, экстракт обязательно содержит некоторое количество танина, галловой кислоты и ее производных. Танин представляет собой смесь дубящих веществ, характерной частью которого является сложный эфир глюкозы и м-дигалловой кислоты:

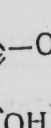


Общая структура эфира может быть представлена в виде:
где R—остаток кислоты (II)



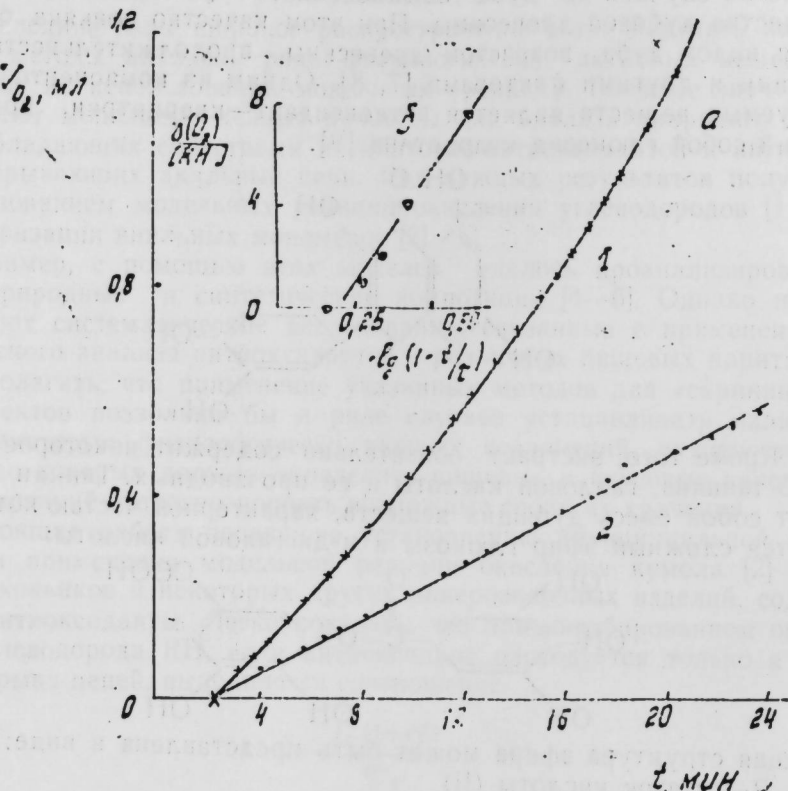


Галловая кислота имеет строение $\text{HOOC}-\text{C}_6\text{H}_3(\text{OH})_3-\text{COOH}$ (IV)



же, как структуры (I—III), содержит фенольные гидроксили, способные участвовать в реакции взаимодействия с перекисными радикалами RO_2 .

Соотношение структур типа I—IV и других определяет качество коньяка. Так, повышенное содержание танина и галловой кислоты делает его терпким и грубым.



Тестирование коньяка марки «Гекгель» (ГОСТ 13741-78):
а — кинетические кривые окисления кумола в присутствии 0,1 (1) и 1,0 (2) мл коньяка в общем объеме реакционной смеси 10 мл; б — полулогарифмическая анаморфоза кинетической кривой (1); $\frac{\Delta(\text{O}_2)}{[\text{RH}]}$ выражено в относительных единицах. Т-ра 60 °С. Конц. инициатора — азобisisобутиронитрила — $6,1 \cdot 10^{-3}$ моль/л.

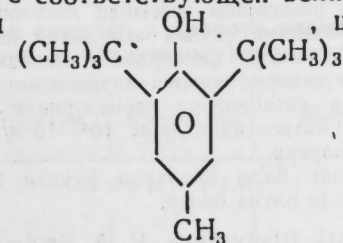
Анализ структур I—IV позволяет утверждать, что эти вещества должны легко идентифицироваться методом кинетического анализа с использованием модельной реакции окисления кумола. Этот выход

хорошо согласуется с литературными данными [5] и подтверждается экспериментом.

На рисунке в качестве примера представлены кинетические кривые поглощения кислорода кумольными растворами, содержащими 0,1 (1) и 1,0 мл (2) коньяка марки «Гек-гель» (ГОСТ 13741—78) в объеме реакционной смеси, равной 10 мл.

В верхней части рисунка представлена соответствующая полулогарифмическая анаморфоза для первого случая (1). Видно, что коньяк содержит заметные количества антиоксидантов. При этом, как и следовало ожидать, увеличение объема вводимого объекта в реакционную смесь приводит к снижению начальной скорости процесса и увеличению продолжительности индукционного периода.

Определение значений τ позволяет из уравнения (1) вычислить произведение $f_n [\ln H]$, которое для исследуемого коньяка равно $1,5 \cdot 10^{-3}$ моль/л коньяка. Анализ анаморфозы (рис. 1б) указывает на то, что коньяк содержит ряд антиоксидантов с близкой реакционной способностью; средняя величина K_7 , вычисленная из наклона прямой, построенной в координатах $\Delta \text{O}_2 / [\text{RH}] - \lg(1-t/\tau)$ (уравнение 1, рис. 1б), равна $(2,4 \pm 0,2) \cdot 10^4$ л/моль·сек. Полученное значение хорошо согласуется с ожидаемой средней величиной K_7 для структур типа I—IV. Несомненно также дальнейшие исследования позволят «разделить» антиоксиданты при тестировании коньяка. Анализ структур I—IV показывает, что реакционная способность антиоксидантов коньяка варьирует в пределах, характеризующихся K_7 в интервале $10^4 - 10^5$ л/моль·сек. Вычисленное нами значение K_7 ($2,4 \cdot 10^4$) л/моль·сек практически совпадает с соответствующей величиной для такого антиоксиданта, как ионол



в качестве консерванта пищевых продуктов и медицинских препаратов, эффективных при ожогах, при некоторых формах рака [10] и в других случаях.

Заметим также, что по своей эффективности антиоксиданты коньяка близки к антиоксидантам, содержащимся в некоторых лекарственных растениях и находящих широкое применение в медицине [5].

Полученные нами результаты по анализу других коньяков позволяют утверждать, что они, как и следовало ожидать, характеризуются различным содержанием и активностью антиоксидантов. Есть все основания утверждать, что соотношение разнообразных структур антиоксидантов, вместе с природой и соотношением других составных ингредиентов коньяка определяют его «буket» и качество.

Таким образом, проведенный нами теоретический анализ и эксперименты, выполненные на примере тестирования коньяков, показывают, что описанный кинетический метод, наравне с известными приемами, может быть использован для контроля качества продукции и улучшения вкусовых свойств различных пищевых напитков. Особое значение он приобретает в связи с распространением ускоренных методов

производства коньяков, качество которых трудно оценить общепринятыми способами.

Литература

1. Эмануэль И. М., Лисковская Ю. М. Торможение процессов окисления жиров.—М.: Пищепромиздат, 1961.
2. Эмануэль И. М., Гладышев Г. П., Денисов Е. Т., Цепалов В. Ф., Харитонов В. В., Пиотровский К. Б. Порядок тестирования химических соединений как стабилизаторов полимерных материалов. Препринт.—Черноголовка: Изд-во ИХФ АН СССР, 1975.
3. Гладышев Г. П., Попов В. А. Радикальная полимеризация при глубоких степенях пропрессии.—М.: Наука, 1974.
4. Гладышев Г. П., Цепалов В. Ф.—Успехи химии, XLIV, 1975, 10, 1830—1850.
5. Комаров Ф. И., Гладышев Г. П., Цепалов В. Ф.—Вестник АМН СССР, 1981.
6. Sidorenko A. A., Kryazhev Yu. G., Tsepakov V. F., Gladyshev G. R.—React. Kinet. Catal. Lett., 6 N 1, 1977, p. 1.
7. Maerker M., Delbrück M., Handbuch d. Spiritusfabrikation 9, Auflage, B., 1908.
8. Sacquet L. Fabrication des laux-de-Vie, p. 1894.
9. Geissman T. B. Ed. The chemistry of flavonoid compounds.—L., 1961.
10. Эмануэль И. М. Основы количественной онкологии.—М.: Наука, 1979.

Институт хлорорганического синтеза АН АзССР

Поступило 21. II 1984

Е. Б. Зеиналов, Я. Г. Гладышева, В. А. Керимова, М. И. Реджабов, К. С. Шихалиев, Б. Я. Трифель, Б. К. Зеиналов

ИЧКИЛЭРИН ФИЗИОЛОГИКИ АКТИВ ЧИСИМЛЭРИНИН АНАЛИЗИ УЧУН МОДЕЛЛЭШДИРИЛМИШ ЗЭНЧИРВАРИ РЕАКСИАЛАРЫНЫН ТЭТБИГИ НАГГЫНДА

Яеинти ичклиэринде моделлэшдирлимиш зэнчирвари процесслэрдэй истифадэ етмэклэ физиологики актив чисимлэрии сајынын вэ реаксија габилийтэтини тэ'жини мүмкүнлүүни нэээр анализы апарылмышдыр.

Кумолун моделлэшшиг реаксијасы эсасында көстэрилмишдир ки, бир сыра яеинти ичклиэриний тэркибий кинетик үсулла асанылгыга идентификација олунан антиоксидантлардан ибэртэдир. Кумолун инисирлонэн оксидлэшшиг реаксијасында истифада етмэклэ бир сыра конjakларда анализ апарылмыш вэ антиоксидантларын конjakларын ингридиентлэрини шигибирлэмэ сабитлэрини (K_7) эхэмийтэй гијмэтлэндирлимишдир. Конjakларын антиоксидантлары 10^4 — 10^5 л/мол·сн интервалында K_7 гијмэтлэри илэх харктеризэ олуулур.

Тэклиф ёдилэн үсүлдан бэ'зи наалларда яеинти ичклиэриний кејфијётини гијмэтлэндирмэж үчүн истифада олуулна билэр.

E. B. Zeinalov, E. G. Gladysheva, V. A. Kerimova, M. I. Ridzhabov, K. S. Shikhaliev, B. Yu. Trifel, B. K. Zeinalov

ON THE USE OF THE MODEL CHAIN-REACTIONS FOR ANALYSIS OF PHYSIOLOGICAL ACTIVE SUBSTANCES IN FOOD DRINKS

The theoretical analysis for determination of reactivity and physiological active substances amount in food drinks is carried out using model chain processes. As it is shown with cumene model, certain food drinks contain antioxidants which are easily identified by kinetic method. Using the reaction of initiated oxidation of cumene, the analysis of a series of cognacs is made and the values of inhibition constants (K_7) for antioxidants-ingredients of cognacs are determined. The antioxidants of cognacs are characterized by values of K_7 ranging from 10^4 to 10^5 l/mol·sec.

The method proposed can be used in some cases for quality evaluation of food drinks.

АЗЭРБАЙЖАН ССР ЕЛМЛЭР АКАДЕМИЈАСЫНЫН МЭРҮЗЭЛЭРИ

ДОКЛАДЫ АКАДЕМИИ НАУК АЗЕРБАЙДЖАНСКОЙ ССР

ТОМ XLII ЧИЛД

№ 2

1986

УДК 614.777:678.62

БИОХИМИЯ

И. М. ЙОСИФОВ

БИОХИМИЧЕСКИЕ ОСОБЕННОСТИ РАПСА, ВОЗДЕЛЫВАЕМОГО В АЗЕРБАЙДЖАНЕ

(Представлено академиком АН Азербайджанской ССР И. Д. Мустафаевым)

В настоящее время вопросы рационального использования кормов приобретают первостепенное значение в кормлении сельскохозяйственных животных и развитии промышленного животноводства. Эти вопросы решаются на основе знания химического состава кормов и потребности животных к таким питательным веществам, как белки, аминокислоты, углеводы, витамины, минеральные и другие вещества.

Важное значение в интенсификации полевого кормопроизводства в Азербайджане имеет возделывание холодностойких культур. Особое внимание при этом должно быть уделено рапсу, зеленая масса которого богата протеином, многими витаминами, кальцием, фосфором и другими питательными веществами. Указанная культура характеризуется

Таблица 1

Химический состав озимого и ярового рапса в разные фазы вегетации, % воздушносухого вещества

Фазы вегетации	Протеин	Клетчатка	Жир	Зола	БЭВ
Озимый рапс					
Бутонизация и начало цветения	3,54	10,6	3,26	4,20	75,28
Массовое цветение	4,10	31,8	1,83	6,70	45,72
Плодоношение	4,20	19,0	2,24	3,10	67,78
Стручки молочно-восковой спелости	6,12	17,5	2,18	3,40	65,84
Стебли и листья	2,20	20,5	2,30	5,81	66,40
Семена	8,75	13,3	33,45	5,80	33,33
Сено	5,69	17,10	2,64	4,00	66,30
Яровой рапс					
Бутонизация и начало цветения	3,75	18,4	2,08	3,40	68,99
Массовое цветение	4,09	20,0	2,15	7,10	58,38
Плодоношение	4,81	24,8	2,26	2,90	59,75
Семена	11,38	9,2	34,75	4,80	33,40

высоким урожаем, хорошей отрастаемостью после укоса, скороспелостью, лучшими кормовыми достоинствами и универсальностью использования зеленой массы. В 100 кг зеленой массы рапса содержится до 3 кг переваримого протеина и 16 корм. ед. Потенциальные возможности этого растения большие, в наших условиях передовые

хозяйства получают по 400—500 ц/га зеленой массы рапса, собирая таким образом до 12—15 ц/га кормового белка с единицы площади посева. Высокая холостойкость культуры дает возможность получать зеленую массу для кормления сельскохозяйственных животных в бедные зеленью периоды года—ранней весной и поздней осенью. Несложная агротехника возделывания позволяет рапсу почти во всех районах республики стать важной кормовой культурой. Приготовленная из него травяная мука является ценным концентрированным кормом. Важно и то, что сеять рапс можно в любое теплое время года, а тем самым планировать силосование и приготовление гранул, брикетов или травяной муки в периоды, когда свободны технические средства хозяйства. Простота семеноводства способствует быстрому расширению посевов, а использование рапса в качестве промежуточной и поукосной культуры создает неограниченные возможности для увеличения его посевов без кардинального пересмотра структуры посевых площадей в хозяйствах. Учитывая сказанное, мы занялись изучением химического состава озимого и ярового рапса, возделываемого в условиях Азербайджана. Материалы для химического анализа были взяты из опытно-хозяйственного поля Азерб.НИИ хлопководства. Во взятых для исследования пробах определено содержание сырого протеина по методу Къельдаля, жира — Попандополо, клетчатки — Генинбергу и Штоману, золы — путем озоления, безазотистые экстрактивные вещества (БЭВ) — арифметическим вычислением, аминокислот — в аминокислотном анализаторе чешского производства марки — AAA-881. Макроэлементы: кальций, калий, натрий определялись пламенным фотометром марки «Флафо-4» компрессор, микроэлементы — медь,

Содержание аминокислот в озимом и яровом рапсе в разные

Фаза вегетации	Незаменимые аминокислоты							
	Лизин	Метионин	Фенилаланин	Аргинин	Гистидин	Лейцин	Изолейцин	Треонин
О з и м ы й								
Бутонизация и начало цветения	7,3	0,6	5,7	7,3	3,0	8,8	3,3	5,8
Массовое цветение	5,2	0,4	3,9	5,0	2,0	4,7	4,3	4,4
Плодоношение	5,8	0,6	3,4	4,5	2,3	7,8	3,6	5,8
Стручки молочновосковой спелости	4,2	0,9	2,1	2,4	1,6	7,6	4,0	6,1
Стебли и листья	7,4	0,3	4,6	6,5	2,9	7,9	3,1	5,4
Семена	5,0	1,5	3,0	3,5	1,3	7,2	3,2	5,3
Сено	5,5	0,9	3,2	4,1	1,9	7,6	3,4	5,6
Я р о в о й								
Бутонизация и начало цветения	5,9	0,6	5,4	7,4	3,1	10,2	3,3	6,4
Массовое цветение	5,6	0,5	4,5	6,1	2,1	5,0	6,6	5,8
Плодоношение	4,4	1,0	3,4	4,8	1,2	4,7	1,7	3,3
Семена	5,8	1,9	4,0	4,8	1,0	6,8	2,3	4,5

железо, цинк, марганец, свинец, кобальт, кадмий, никель, алюминий и молибден — атомноабсорбционным спектрофотометром марки С-302, а фосфор — по Фиске и Суббору с последующим фотоэлектроколориметрированием (ФЭК-м).

Цифровые материалы наших исследований по анализу химического состава озимого и ярового рапса приведены в табл. 1—3.

Было установлено, что количество сырого протеина (табл. 1) в озимом рапсе преобладает в период молочно-восковой спелости и семени, а низкое в период бутонизации — начало цветения, а также в фазе массового цветения.

Максимальное количество сырой клетчатки в озимом рапсе наблюдается в фазе массового цветения, минимальное в период бутонизации и начала цветения. В яровом рапсе количество сырой клетчатки преобладает в фазе плодоношения, а в период бутонизации бывает низкими.

Уровень клетчатки в период бутонизации и плодоношения выше в яровом рапсе, чем в озимом. Однако в фазе массового цветения преобладает в озимом рапсе по сравнению с яровым.

Самый высокий уровень сырого жира наблюдается в семени. В связи с ростом и развитием указанной культуры количество сырого жира претерпевает заметные изменения.

Из приведенных данных табл. 1 видно, что количество золы в зависимости от фазы вегетации претерпевает заметное изменение. Количество БЭВ высокое в период бутонизации, низко — в период массового цветения в озимом и яровом рапсе.

Таким образом, химический состав вегетативных органов озимого

Таблица 2
фазы вегетации (г/кг воздушно-сухого вещества)

Заменимые аминокислоты										
Валин	Сумма	Аспараг. к-та	Глютам. к-та	Серин	Пролин	Глицин	Аланин	Тирозин	Цистин	Сумма
рапс										
4,6	46,4	14,4	23,6	7,3	6,9	7,4	10,3	4,0	1,0	75,4
3,0	32,9	11,7	19,7	4,2	5,7	5,7	7,1	2,4	0,5	57,0
3,4	37,2	13,9	13,6	5,7	5,3	5,3	6,1	2,3	0,8	53,0
3,6	32,5	15,3	9,8	5,3	4,3	3,7	4,7	1,1	1,0	45,2
3,1	41,2	12,4	17,7	6,1	6,2	6,8	7,5	3,8	0,5	61,0
3,4	33,4	11,9	9,6	5,1	4,5	4,6	4,8	1,9	0,7	43,1
3,4	35,9	13,2	12,4	5,5	5,0	5,0	5,7	3,9	0,7	51,4
рапс										
4,9	47,2	17,3	23,1	6,8	5,0	7,9	8,5	4,0	0,3	72,9
3,1	45,9	13,4	18,6	4,5	5,3	7,4	8,0	3,3	0,5	61,0
2,8	27,3	9,3	9,7	3,8	2,6	3,9	4,2	2,4	1,0	36,9
3,2	34,3	8,4	9,3	4,8	4,6	5,4	4,9	2,7	0,4	40,5

рапса отличается от такового у ярового рапса. При этом немаловажную роль играют фазы их развития, а также химическая природа различных веществ, так как сдвиги отдельных компонентов химического состава озимого и ярового рапса неодинаковы и отличаются как по направлению, так и по величине.

Как показывают данные табл. 2, в озимом и яровом рапсе во всех вегетационных периодах из незаменимых аминокислот в большинстве случаев преобладают лизин, лейцин, аргинин, треонин и фенилаланин. В озимом рапсе сумма незаменимых (46,4 г/кг) и заменимых аминокислот (75,4 г/кг) выше в период бутонизации, чем в остальных фазах вегетации. Аналогичная картина наблюдается в яровом рапсе. В последнем, в фазе бутонизации в начале цветения, количество незаменимых и заменимых аминокислот составляет 47,2 и 72,9 г/кг, соответственно. Количество незаменимых аминокислот у ярового рапса преобладает в периоды бутонизации и массового цветения, а в озимом рапсе — в периоды бутонизации и плодоношения. В семенах озимого и ярового рапса сумма незаменимых аминокислот сходная и соответственно составляет 33,4 и 34,3 г/кг воздушно-сухого вещества. Во всех фазах вегетации и в вегетативных органах наименьшее количество наблюдается в метионине. Последний сравнительно больше в семенах как озимого, так и ярового рапса. В указанной культуре из заменимых аминокислот количественно преобладают аспарагиновая и глутаминовая кислоты. В наименьшем количестве содержатся цистин и тирозин. В рапсе во всех вегетативных органах больше заменимых аминокислот, чем незаменимых. Аналогичная картина наблюдается во всех фазах развития указанной культуры.

Анализ приведенного фактического материала показывает, что аминокислоты (незаменимые и заменимые) рапса являются лабильными компонентами и изменяются в отдельных его вегетативных органах в зависимости от фазы развития. При этом из незаменимых аминокислот существенную роль играют лизин, лейцин, треонин и аргинин, а из заменимых — глутаминовая и аспарагиновая кислоты. Менее активными и незначительными из незаменимых аминокислот является метионин, а из заменимых — цистин.

Количество макро- и микроэлементов в разные стадии вегетации и в различных вегетативных органах рапса как озимого, так и ярового представлены в табл. 3. Данные таблицы показывают, что в зависимости от фазы вегетации содержание макроэлементов в озимом и яровом рапсе существенно не изменяется. Количество всех изученных макроэлементов преобладает в яровом рапсе.

Исключение составляет количество калия.

В содержании микроэлементов, особенно цинка, свинца, кобальта, никеля у изученных сортов существенных различий не наблюдается. Но в связи со стадией вегетации как озимого, так и ярового рапса наблюдаются заметные изменения почти у всех изученных микроэлементов.

Обобщение полученных нами материалов показывает, что количество протеина, аминокислот, жиров, углеводов, минеральных (макро- и микроэлементов) и других веществ зависит от фазы развития рапса. Содержание указанных питательных веществ распределено в разных количествах и в отдельных вегетативных и генеративных органах у изученных сортов рапса.

Содержание макро- и микроэлементов в озимом и яровом рапсе в разные фазы вегетации (цельное)

Таблица 3

фаза вегетации	Озимый рапс														
	Макроэлементы, % воздушно-сухой массы						Микроэлементы, мг/кг воздушно-сухой массы								
	Кальций	Магний	Фосфор	Калий	Натрий	Медь	Железо	Цинк	Марганец	Свинец	Кобальт	Кадмий	Никель	Алюминий	Молибден
Бутонизация и начало цветения	1,02	0,56	0,33	2,20	0,11	1,10	60,0	7,55	52,50	0,13	0,32	4,00	0,53	39,50	0,2
Массовое цветение	1,15	0,44	0,31	1,59	0,25	1,72	60,0	6,43	46,30	0,16	0,26	6,30	0,51	56,00	0,50
Плодоношение	1,03	0,38	0,23	1,51	0,12	1,36	60,0	5,10	21,00	0,15	0,27	5,80	0,55	60,50	0,12
Строочки молодчино-восточного спелости	0,26	0,36	0,12	0,60	0,13	0,72	36,00	3,00	20,00	0,12	0,30	6,00	0,57	34,00	0,11
Стебли и листья	1,80	0,40	0,33	2,43	0,10	2,00	96,00	7,20	22,00	0,18	0,24	5,60	0,53	87,00	0,12
Семена	0,22	0,43	0,11	0,48	0,14	1,46	36,00	5,85	35,00	0,16	0,20	5,20	0,49	36,00	0,17
Сено	0,40	0,29	0,11	0,63	0,08	1,19	34,00	4,60	23,67	0,12	0,12	3,40	0,32	32,83	0,11
Яровой рапс															
Бутонизация и начало цветения	2,20	0,80	0,50	0,81	0,21	1,40	100,0	6,30	30,0	0,16	0,40	8,0	0,59	88,0	0,26
Массовое цветение	2,10	0,68	0,43	2,12	0,44	3,4	95,0	6,7	55,0	0,16	0,24	5,4	0,64	99,0	0,04
Плодоношение	2,20	0,62	0,50	0,81	0,23	1,48	62,0	6,8	40,0	0,16	0,20	6,0	0,53	70,0	0,30
Семена	0,16	3	0,10	0,38	0,14	2,20	36,0	8,7	50,0	0,20	0,10	4,4	0,41	38,0	0,21

Эти и другие особенности рапса (оцинного и ярового) необходимо учитывать при использовании его в промышленном животноводстве в качестве кормового средства в республике.

Полученные данные помогут животноводам также при составлении сбалансированных кормовых рационов для животных и птиц.

Азербайджанский
сельскохозяйственный институт
им. Агамали оглы

Поступило 20. III 1985.

Н. М. Юсифов

АЗЕРБАЙЧАН ШӘРАНТИНДӘ ӘКИЛӘН РАПСЫН БИОКИМЈӘВИ ХҮСУСИЙЛӘТЛӘРИ

Республикада әкилән рапс биткисинин сортундан (гышлыг вә јазлыг) вә инкишәфиындан асылы олараг векетатив вә көнератив органдарында есас гида маддәләриниң: зулалларын, шәкәрләрни, яғларын, амин түршүларынын (әвәзедилмәҗән вә әвәзедилән), минерал маддаларын (макро-вә микроэлементләр) мигдары өјрәнилмишидир. Мүәյҗән едилмишидир ки, көстәрилән кимҗәви көстәричилор рапс биткисинин сортундан вә инкишәфиындан асылы олараг дәјишир. Ейни заманда мүәйҗән едилмишидир ки, нәмин көстәричиләр рапсны мұхтәлиф векетатив органдарында ейни дәрәчәдә пајланымышыдыр. Алышан истичәләрин јем истеңсалында вә кәнд тәсәррүфаты нејванилары учун јем пајларынын таразлаштырылмасында бөյүк әһәмийҗәти вардыр.

N. M. Yusifov

BIOCHEMICAL PECULIARITIES OF RAPE CULTIVATED IN AZERBAIJAN SSR

In this article the results of the investigations according to showings of the chemical compositions of the vegetative organs of the different sorts of rape cultivated in conditions of the Azerbaijan SSR are brought.

The stated experimental data in the article allow to determine the feeding rations for the different kinds of the farm animals.

The article is meant for the wide range of the experts in animal husbandry.

АЗЕРБАЙЧАН ССР ЕЛМЛӘР АҚАДЕМИЯСЫНЫН МӘРҮЗӘЛӘРИ

ДОКЛАДЫ АКАДЕМИИ НАУК АЗЕРБАЙДЖАНСКОЙ ССР

ТОМ XLII ЧИЛД

№ 2

1986

УДК 551.763.335:553.981/2(479.24)

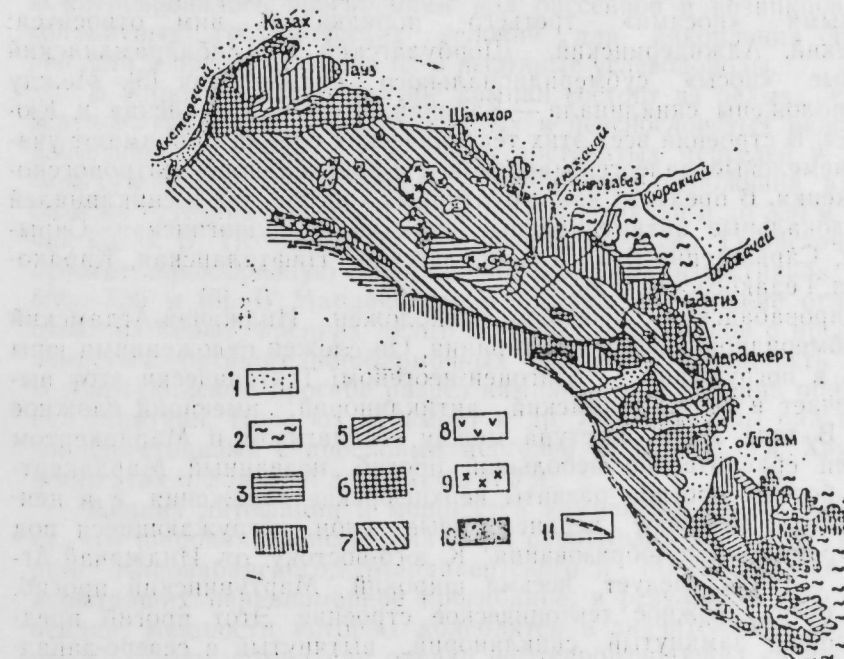
ТЕКТОНИКА

Акад. А.А.АЛИ-ЗАДЕ, Е. Ю. ПОГОРЕЛОВА

ПОЗДНЕМЕЛОВОЙ ЭТАП ГЕОЛОГИЧЕСКОЙ ИСТОРИИ ПРЕДМАЛОКАВКАЗСКОГО ПРОГИБА В СВЯЗИ С НЕФТЕГАЗОНОСНОСТЬЮ

В статье нами рассматривается кампан-датский этап геологической истории Предмалокавказского прогиба в полосе Кировабад-Аракс, перспективной в нефтегазонесном отношении.

На всем протяжении северо-восточной части складчато-глыбового сооружения Малого Кавказа отмечается крупный дугообразный выступ субмеридионального простирания, расположенный между городами Тауз и Агдам (рисунок). В его строении принимают участие юрские, меловые и третичные образования, в разрезе которых имеют место крупные перерывы, размыты и несогласия. По литофациальному составу эти мезокайнозойские образования представлены эффузивными



Схематическая геологическая карта северо-восточной части Малого Кавказа: 1 — антропоген; 2 — неоген; 3 — палеоген; 4 — верхний мел; 5 — нижний мел; 6 — верхняя юра; 7 — средняя юра; 8 — палеозой; 9 — интрузивы; 10 — ультраосновные породы; 11 — линии тектонических нарушений

и интрузивными породами, вулканогенно-осадочными толщами и осадочными отложениями. Учитывая, что первые две формации с нефтегеологической точки зрения интереса не представляют, прослеживать этапы их геологической истории мы не будем. Остановимся лишь на этапе, при котором накапливались осадочные образования кампан-датского интервала. За указанное время Предмалокавказский прогиб продолжал свое формирование, где возникали благоприятные условия для образования нефтегазогенерирующих свит.

Тауз-Агдамский структурный выступ расчленен поднятиями и прогибами второго порядка, имеющими отличную друг от друга тектоническую природу. На северо-западе выступа расположен Казахский прогиб, широко раскрывающийся в сторону Куринской депрессии. Он представляет собой синклиниорий, в пределах которого развиты антиклинальные складки, сложенные позднемеловыми отложениями. В ряде мест в синклиналях развиты отложения палеогена.

К юго-востоку от Казахского прогиба расположены Шамхорский антиклиниорий, заключенный между Казахским и Кировабадским прогибами. Этот крупный структурный элемент сложен метаморфическими сланцами докембрия-кембрия и осадочными вулканогенными образованиями нижней юры и вулканогенными образованиями средней юры. Тектоника Шамхорского антиклиниория имеет весьма сложное строение, он разбит крупными глубинными разломами, придающими ему складчато-глыбовую форму [4].

К юго-востоку от Шамхорского антиклиниория расположен широкий Кировабадский прогиб, тектоническое строение которого осложнено структурными «носами» третьего порядка. К ним относятся: Чалудагский, Аджидеринский, Шорбулагский и Алибайрамлинский структурные «носы» субмеридионального направления [3]. Между ними расположены синклинали — Карабинская, Карабайская и Юракчайская. В строении всех этих тектонических единиц принимают участие позднемеловые, палеоген-миоценовые и верхиеплиоцен-антропогеновые отложения. В пределах как структурных «носов», так и синклиналей развиты локальные антиклинальные складки: Алишагинская, Сарыялдагская, Сарвазтинская, Казанбулагская, Нафталанская, Каракюилинская, Гедакбозская и др.

За Кировабадским прогибом расположен Инджачай-Агдамский выступ субмеридионального простирания. Он сложен отложениями юры и мела, а в погружении — олигоцен-неогеном. Тектонически этот выступ включает в себя Агдамский антиклиниорий, имеющий сложное строение. В теле этого выступа между Мадагизом и Мардакертом расположен сравнительно небольшой прогиб, названный Мардакертским. По бортам прогиба развиты верхнеюрские отложения, а в центральной части залегают верхнемеловые слои, погружающиеся под неоген-антропогеновые образования. К юго-востоку от Инджачай-Агдамского выступа следует весьма широкий Мартуниинский прогиб, имеющий очень сложное тектоническое строение. Этот прогиб представляет собой замкнутый синклиниорий, вытянутый в северо-запад-юго-восточном направлении. Почти со всех сторон он с перерывами окаймлен верхнеюрскими отложениями и в центре сложен нижне- и верхнемеловыми образованиями. В прогибе прослеживаются структурные элементы третьего порядка, имеющие субмеридиональное направление. Строение прогиба осложнено разломами, некоторые из которых являются глубинными. С последними связано внедрение основных

интрузий. Мартуниинский прогиб круто погружается в северо-восточном (в сторону Куринской депрессии) и в юго-восточном (в сторону Аракчинской депрессии) направлениях.

Переходя к геологической истории развития Предмалокавказского прогиба, следует отметить, что в отличие от предгорных прогибов Большого Кавказа, протяженно и параллельно вытянутых вдоль складчатых зон, описываемый прогиб резко расченен положительными выступами и прогибами второго порядка антикавказского направления и имеет зигзагообразную форму. Поэтому, собственно говоря, в полном смысле слова Предмалокавказского прогиба на всем протяжении северо-восточного крыла Малокавказского мегантиклинория нет, но имеются прогибы второго порядка, разграниченные друг от друга выступами поперечного направления. С нефтегеологической точки зрения интерес представляют в основном прогибы: Казахский, Кировабадский, Мардакертский и Мартуниинский. Нам предстоит проследить кампан-датский этап геологической истории трех последних прогибов. Рассматривать интервал разреза ниже кампана-дата мы не будем, т. к. в своей значительной части, как указывалось, нижележащий разрез мезозоя состоит из вулканогенных и вулканогенно-осадочных образований, внутри которых имеют место частые перерывы, сильные размыты, несогласное залегание и др., что является неблагоприятным фактором в формировании нефтегазопроизводящих свит. Наиболее благоприятные условия для накопления подобных свит в пределах указанных прогибов начались с кампана, когда до конца мела происходило непрерывное осадконакопление. Формирование кампан-датского разреза компенсировалось прогибанием дна бассейнов и возникновением благоприятных геохимических условий для накопления органических веществ и преобразования их в нефтяные углеводороды.

В Кировабадском прогибе кампани состоят из белых, редко светло-зеленоватых, тонко-, толстослоистых и нейснослоистых пелитоморфных известняков с тонкими прослойками листоватых мергелей и зеленовато-серых жирных глин. Мощность кампанийских отложений варьирует от 80 м на г. Киликдаг, около 120 м по р. Юрекчай и до 330 м по р. Карабай [5]. В. В. Тихомиров по р. Инчачай около сел. Гюлистан к кампани относит однообразную толщу пелитоморфных известняков мощностью 500—550 м [6]. В Мардакертском прогибе кампанийские отложения состоят из белых, крепких пелитоморфных известняков с прослойками песчанистых органогенно-обломочных разностей. Мощность до 300 м. В Мартуниинском прогибе разрез кампанийских отложений обнажен около сел Мартуни, Норагюх, Храморт и др. Представлены они песчанистыми известняками с прослойками мергелей. В районе сел. Храморт мощность этих отложений доходит до 470 м.

Анализ литофации и мощностей кампанийских отложений показывает, что широкая трансгрессия моря охватывала значительную территорию Кировабадского, Мардакертского и Мартуниинского прогибов, испытавших неравномерное прогибание, в результате чего накопились осадки, мощности которых колеблются в значительных размерах, что должно быть учтено при оценке нефтепроизводящих свойств разрезов.

В Кировабадском прогибе наибольшее прогибание (более 550 м) имело место в юго-восточной части в полосе р. Инчачай. В этой полосе, в ее северной части, кампанийские отложения вскрыты также скважинами глубокого бурения на площади Гедакбоз. В Мартуниинском прогибе масштабы движений превышали величину 470 м.

Погружение этих интенсивно прогибающихся участков в сторону Куриńskiej депрессии представляет значительный интерес с нефтегазоносной точки зрения.

Геохимические исследования отдельных образцов пород с учетом тектонических и палеогеографических особенностей накопления осадков кампани-даты Кировабадской области позволяют положительно оценить нефтегенерирующие возможности этих отложений, в особенности юго-восточной части и прилегающей к ней части Куринской депрессии. Позднемеловым отложениям Кировабадской области свойственна относительно повышенная степень битуминизации органического вещества и восстановительный характер битума [1].

Перед накоплением манстрихских отложений на Малом Кавказе происходят положительные тектонические движения, в результате чего водя кампаниского моря отступают. До трансгрессии манстрихского бассейна разрезы кампанийких отложений в ряде мест подвергаются размыву. Трансгрессия манстрихского моря была более ограничена, чем кампанийского бассейна. На участках, не подвергнутых размыву, между кампанием и манстрихтом отмечается непрерывное и согласное залегание (Инчачай, Мардакерт и др.). В то же время в пределах Агдимского антиклиниория у сел. Кизляр манстрихские слои с угловым несогласием залегают на размытой поверхности кампанийких отложений. Этот факт явно указывает на складкообразовательные процессы до манстрихта там, где развивались антиклинальные пояса. Разрез манстрихта там, где развивались антиклинальные пояса. Разрез манстрихского яруса в Киронабадском прогибе хорошо обнажен по р. Кюракчай и состоит из светло-серых органогенно-обломочных и песчанистых известняков с прослойками целинотоморфных разностей и глин. Мощность около 130 м. К юго-востоку от р. Кюракчай, в бассейне р. Карабай, около сел. Борисовка, манстрихские отложения мощностью более 200 м представлены органогенно-обломочными и песчанистыми известняками, чередующимися с пластами мергелей. Как по р. Кюракчай, так и по р. Карабай отложения манстрихта согласно и без признаков перекрытия перекрывают кампанийские слои. Неполный разрез манстрихских отложений обнажен по склону гор. Мардакерт, где они согласно залегают на кампани и состоят из песчанистых органогенно-обломочных и целинотоморфных известняков. Мощность около 70 м. В Мартуниинском синклиниории отложения манстрихта в районе сел. Юхары Веенчилля состоят из мелоподобных, брекчевидных и песчанистых толстослойистых известняков с редкими прослойками песчаников. Мощность около 200 м [7].

Приведенное краткое описание манстрихских отложений явно указывает на компенсированное прогибание дна бассейна и накопление осадков, содержащих как песчаные примеси, так и имеющие обломочный характер большинства известняков.

Перед датским веком Малый Кавказ испытывает значительные положительные тектонические движения, в результате чего большая часть опицанской области осушается и подвергается денудационным процессам.

Трансгрессия датского моря была весьма ограниченной и охватывала часть синклинальных участков Киронабадского, Мардакертского и Мартуниинского прогибов. Разрезы датского яруса обнажены по длином рек Кюракчай, и Карабай и в окрестностях селений Сардарапеш, Храморт и Парух Мартуниинского синклиниория. По обоим берегам

р. Кюракчай переход от маастрихта к датскому ярусу происходит совершение постепенно и описываемые отложения представлены чередованием пелитоморфных известняков, мергелей и песчаников глин. Мощность около 50 м. В Мардакертском прогибе датские отложения выступают «окнами» и состоят из известняков и мергелей. В районе сел. Сардарапеш датский ярус характеризуется наличием обломочных известняков, мергелей и глин. Во всех этих прогибах мощность датского яруса испытывает сильную изменчивость от 20 до 80 м, связанную тектоническим строением отдельных участков прогибов. В прогибах датский ярус согласно покрывается глинистой толщей палеоценена.

Разрез кампани-датского интервала позднего мела вскрыт на ряде разведочных площадей, примыкающих к указанным прогибам (Ждановек, Советляр, Гюллюзя, Мир-Башир и др.).

Анализ литофаций и мощностей кампани-датского интервала разреза Киронабадского, Мардакертского и Мартуниинского прогибов показывает, что в указанное геологическое время в пределах этих прогибов накапливались карбонатные отложения в чередовании с мергелями и глинами, общую мощностью до 1000 м. По данным бурения глубоких разведочных скважин, на примыкающих к предгорью площадях мощность кампани-датских отложений превышает 1500 м. Важно отметить, что в этом интервале разреза в прогибах отсутствуют заметные перерывы и размыты, а также несогласное залегание между ярусами. Эти факты считаются положительными при оценке перспектив нефтегазоносности отложений. Непрерывное прогибание дна бассейнов создавало благоприятное геохимическое условие для накопления мощной толщи осадков и рассеянного органического вещества и преобразования его в восстановительной среде в нефти и газовые углеводороды. Если учесть, что в разрезе кампани-датского интервала существуют мергельные и глинистые прослои, которые в сочетании с карбонатными породами, с одной стороны, являются нефтегазопроизводящими, а, с другой—представляют собой слабопроницаемые покрышки для сохранения сформировавшихся в карбонатной толще углеводородов, то станет очевидной благонадежность разреза описываемых отложений. Об этом также свидетельствуют нефтегазопоявления промышленного значения в поисковых скважинах площади Советляр, где скважины 1 и 2 при бурении фонтанировали жидкостью до 1500 м³ в том числе нефтью — 18—20 м³, и газом — 20 тыс. м³. Общее количество жидкостей при фонтанировании указывает на емкостную характеристику трещинных коллекторов кампани-даты. Обе эти скважины были ликвидированы по техническим причинам. Нефтепоявления в разрезе кампани-даты имели место и на площади Мир-Башир [2].

Киронабадский, Мардакертский и Мартуниинский прогибы представляют собой седиментационные участки, где в кампани-датское время накапливались литологические комплексы в условиях преобладания прогибания, когда создавалась благоприятная восстановительная обстановка для битумообразования и образования нефтяных углеводородов. Структурными ловушками для формирования залежей здесь являются погребенные структуры (с постока на запад): Советляр, Агджабеди, Мир-Башир, Ширванлы, Барда, Кызылгаджили, Казанбулаг, Бореулы и другие, которые должны быть вовлечены в поисковое бурение с целью разведки нефтегазовых залежей.

Поиски нефтегазовых залежей в кампани-датских отложениях имеют под собой научную основу,

三

1. Ашотов А. А., Асмадиев Р. А., Ашотян Г. М. А., Исаевына Н. А., Кондратова Н. Н.
Оценка перфекционистских свойств изолированных полимеров. — Апрель 1978 г.
Вып. № 9. — Ереван: Уժ, 1978. — 116 с. — 101—103. — 2. Ашотов А. А., Асмадиев Р. А., Ашотян Г. М., Исаевына Н. А., Кондратова Н. А. Методика оценки изолированных перфекционистских свойств и переключения изолированных полимеров. — А. А. Недра, 1979. — № 100—101—102—103. — 3. Ашотов А. А., Тегоянца профессор М. Гавасин. — Вып. АИ АН ССР, 1978. — № 2. — 6. 89—93.
4. Геодезия ССР. — ХХVII. Астрономическая ССР. — А. А. Недра, 1979. — № 890—891.
5. Репетиция В. Л. Гравиметрия. — Немецкая литература. — А. А. Недра, АИ АН ССР, 1989. — № 37. — 200 с. — 104—105. — 6. Геодезия В. В. Методы кинематической переключения изолированных полимеров. — Труды Института Геодезии АН ССР, 1980, № 123, том. I, серия, (№ 11).
7. Ашотовна Р. А.: Факты и фактические перспективы изолированных полимеров Юго-Западной
и Южной Азии. — Вып. Академии, 1989. — № 01—78.

THE OTHER SIDE OF THE AT&T CEP

December 30, V. 1981

Dr. D. Daniel J. Horan PhD

НЕФТЕГАЗОВЫЙ БАШНЯ С ДИАФОРСКОЙ ГРУППОЙ ГАЗОВЫХ ПОДСЛОЖЕНИЙ И СОСТАВОМ ГАЗА

A. A. Alzahrani, E. Yu. Pogorelova

LATE-BETAIGOUS STAGE OF GEOLOGICAL HISTORY OF THE PRE-LESSER CAUCASUS THROUGH IN RELATION TO OIL AND GAS CONTENT

Throughout the north-eastern part of the Lesser Caucasus fold-block structure a large anticlinal protrusion of subhorizontal nature is observed. It is situated between Tats and Andran towns. The protrusion is demarcated by the second-order protrusions and troughs. The history of this geological evolution is quite diverse. The N. Lesser Caucasus Trough unlike the Great Caucasus mountainous trough has a single bottom. There is no extensive and parallel elongated trough along the north-eastern limb of the Lesser Caucasus trough mentioned above. There are troughs separated by protrusions of Anticlinal nature. The Gavazhi, Kizlyakov, Mardebet, Martort troughs refer to them. A narrow elongated trough located within these troughs and their northern parts contains gas. The present depression is considered promising in respect to the gas and oil content.

ЛІБРІАРИЙ СОВІЕТСЬКОГО АКАДЕМІЧНОГО МУЗИКАЛОГІЧНОГО

ПОДАЧІ АКАДЕМІЧНОГО ДАННЯ АВЕРСАЦІЙНОГО СЕРВІСУ

三

110

NIKE.COM/NIKEFLIGHT

WILLIAM HAGGARD

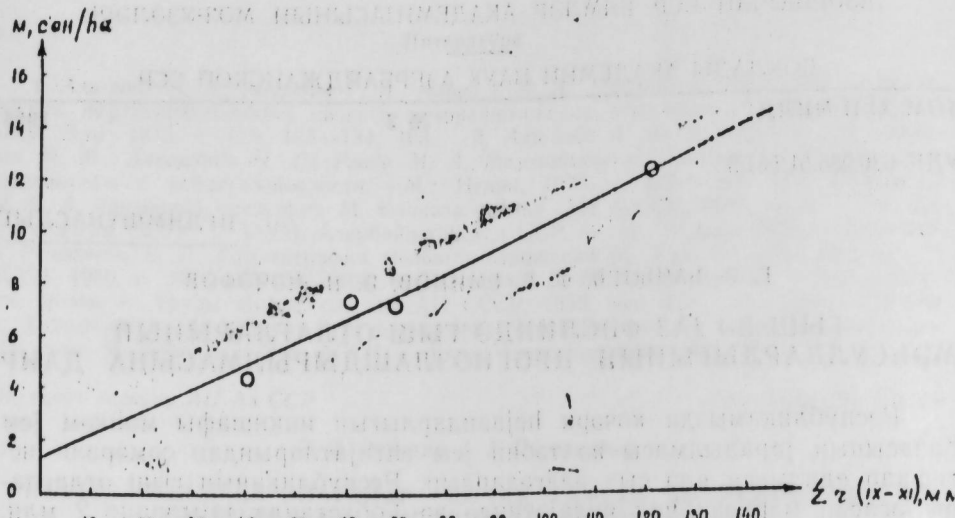
Р. О. ГАНДЕРЫЧ, Ф. Д. БАРИОНОВ, О. Н. ПОДОРОВ

БЫШ ВО ЙАЗ ФОСЛИНДО БЫШ ОТЛАГДАВШИЙ МОГОУДАРЫВШИЙ ПРОГНОЗЛАНСИФРИМСИНА ДАИР

Мәдүмнәур қын иегим шарттынин асас һадисини көстарындарни нағара алғытмаса отыре оңтекшілігінин мәнсұлдардынның яғрометтердеңде прогност метеоданын инновацияларын мұмкун деңгелір. Бұна көра до һар һанын оның орталда отыре мәнсұлдардынның асас һадисине ред ойнайдын иегим көстарынинин зертте мұнайдастырылғасынин ба-
жуғ обласындағы нағарды. Гөрі сток лақымады қын. Гобустанин сарб ын-
сасы мұстасаба ойнаған шарттың тәнни отырғызғанын жерзанында бутын
оразындағы атмосфер тәртіптескендер мендерге мәнсұлдарды-
бының мәндейтінде оның мұнум анықтайды.

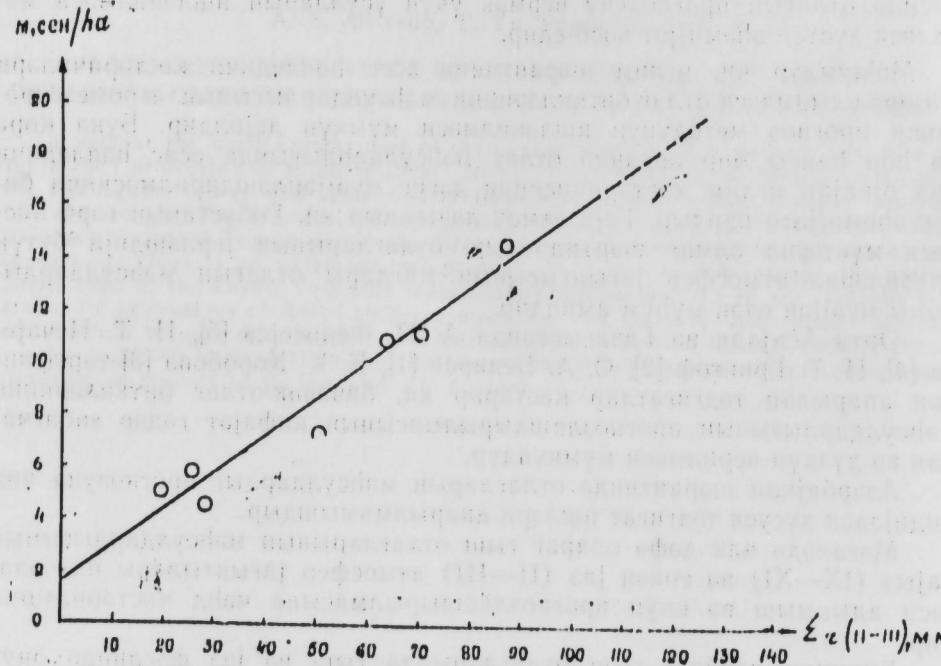
Алардорийн түрэгийндаа олагчадраан манускриптийн прогностичноо видийн эхийн төслийн индексийн давхаржсан байдлаар.

Бирничи попада ёши визягларында ёши на таа фадаништын фактическую выявление на таа мөнөхөр таатиелештүүнүн мидари зорасын.



1-чи шәкил. Гышда отлагын мәңсулдарлығы иләт атмосфер жағынтысы арасында әлагә.

да иә кими әлагә мөбчүд олдуғу арашдырылыштыр. Бунун үчүн отлагын жаңа фәслиниәти мәңсулдарлығына айд 7 иллик вә гыша айд исә 4 иллик мәлumatлардан истифадә едилшишdir. Ыәмин фактики мәлumatлардан истифадә едәрәк жаңа вә гыша фәслиниәти отлагын мәңсулдарлығы иләт атмосфер жағынтысының мигдары арасында бир сыра әлагә графикләри тәртиб едилшишdir. Ыәмин графикләр бир-бiri илә мүгајисе олумуш вә тәһлил едилдикдән соңра мүәжжәләшдирилмиишdir ки, жаңда отлагын мәңсулдарлығы прогнозуни вермәк үчүн феврал-март



2-чи шәкил. Жаңда отлагын мәңсулдарлығы иләт атмосфер жағынтысы арасында әлагә,

ајынын жағынтысы илә мәңсулдарлығ арасында вә гыш фәсли үчүн исә сентябр-ноябр жағынтысы арасында әлагә вардыр. (1-чи вә 2-чи шәкил.)

Бу әлагәләр ашағыдағы регрессија тәнликләри илә ифадә олу. нур; гыш дөврүнүн мәңсулдарлығыны һесабламаг үчүн

$$M = 0,04 + 13 \quad (1)$$

вә жаңа дөврүнүн мәңсулдарлығыны һесабламаг үчүн

$$M = 0,14 + 1,6 \quad (2)$$

нарадакы: M —от өртүйнүн мәңсулдарлығы сен/га, r —атмосфер жағынтысы (IX—XI) вә (II—III) айлар үзэр, 0,09 вә 0,14 әмсаллар, 1,3 вә 1,6 исә сабит көмійтәләрdir.

Верилән әлагәдән алымнын регрессија тәнликләрнин көмәји илә гыш вә жаңа фәслиләрнә мәңсулдарлығыны 1—3 ай габагчадан мүәյҗән едилмәси мүмкүндүр.

Гејд етмәк лазымдыр ки, апарылмыш бу тәдгигат көстәрилән илк чөйд олса да алымны әлагәләр һејвандарлығда отлагларын мәңсулдарлығынын габагчадан прогнозуни верилмәси вә буныла да әлавә жем еңтиятларынын һесабланмасында кениш истифадә олуна биләр.

Әдәбијат

1. Бедарев С. А. Агрометеорология и лугопастбищное хозяйство. Л., Гидрометеоиздат, 1979, с. 194—220. 3. Грингоф И. Г. Труды САРНИГМИ, 1967, вып. 34 (49), с. 138.
3. Коробова Е. Н., Бедарев С. А. Проблемы освоения пустынь, 1970, № 3, с. 25—32.
4. Нечаева Н. Т., Морданиев Н. А. Изв. Туркм. ССР, серия биолог. наук, 1963, № 6, с. 15—19. 5. Федосеев А. П. Климат и пастбищные травы Казахстана. Л., Гидрометеоиздат, 1969, с. 198—230.

Азәрбајҹан ССР Елмәр Академијасы
Чоғрафија Институту

23.IV.84

Г. А. Гаджиев, Ф. Б. Эминов, А. Н. Наджафов

О ПРОГНОЗИРОВАНИИ УРОЖАЯ ТРАВ НА ЗИМНИХ ПАСТБИЩАХ В ЗИМНИЙ И ВЕСЕННИЙ ПЕРИОДЫ

В статье рассматриваются тесные связи между урожайностью зимних пастбищ и суммами осенних (IX—XI) — ранневесенных (II—III) осадков, которые положены в основу расчета прогнозирования.

Даны расчетные формулы прогноза урожайности зимних пастбищ для зимних и весенних сезонов заблаговременно от одного до трех месяцев.

Г. А. Наджев, Ф. Б. Эминов, А. Н. Наджафов

ON PROGNOSING OF YIELD OF GRASS IN WINTER PASTURE IN WINTER AND SPRING PERIODS

The article deals with the close connections between the crop capacity of winter pasture and the amount of autumn (IX—XI)—early spring (II—III) precipitations, which are the main factor in calculation of prognosing.

The formula of crop capacity of winter pasture for winter and spring seasons in advance from one to three months is given.

Чл.-корр. АН Азерб. ССР Ш. К. ТАГИЕВ, Г. Х. АКОПЯН, А. И. ДЖАФАРОВ,
Н. М. МАГОМЕДОВ, Э. М. КУЛИЕВА

О ДЕЙСТВИИ СЕЛЕНИТА НАТРИЯ НА ПОЗДНИЙ РЕЦЕПТОРНЫЙ ПОТЕНЦИАЛ ИЗОЛИРОВАННОЙ СЕТЧАТКИ ХОЛОДНОКРОВНЫХ

В последние годы широко обсуждается роль селена в акте зрения. Проведены исследования, которые свидетельствуют о способности соединений селена увеличивать чувствительность сетчатки животных к свету. Парентеральное введение сelenита натрия кроликам [1], вскармливание этим препаратом белых крыс [2] приводило к заметному увеличению амплитуды волны электроретинограммы (ЭРГ) в хронических экспериментах. Было показано также увеличение раннего рецепторного потенциала сетчатки кроликов, получавших сelenит натрия [3].

Особый интерес представляют опыты, проведенные на изолированной сетчатке животных. Преимущество этих исследований — возможность исключить влияние целостного организма, выявить роль рецепторного аппарата и сетчатки в целом при воздействии на нее препаратов селена. Продемонстрирована, например, способность препаратов селена как органических, так и неорганических, в зависимости от концентрации влиять на суммарную амплитуду ЭРГ изолированной сетчатки [4, 5].

Однако приведенные данные не позволяют сделать вывод о действии селена на фоторецепторы позвоночных, в которых происходит генерация рецепторного потенциала в ответ на освещение. Цель настоящего исследования — изучить закономерности с учетом изложенного действия сelenита натрия на выделенный аспартатом натрия поздний рецепторный потенциал (ПРП) изолированной сетчатки холоднокровных животных.

МЕТОДИКА

Сетчатка, изолированная из глаза темноадаптированных в течение 12–18 ч лягушек *Rana ridibunda*, помещалась в специальную камеру между двумя хлор-серебряными электродами и омывалась раствором следующего состава: NaCl — 100, KCl — 2,5, NaHCO_3 — 2,5, CaCl_2 — 1,0 мМ. Для поддержания стабильного pH использовался трис- HCl буфер разной концентрации от 5 до 30 мМ. ПРП выделялся добавлением в среду инкубации до 10 мМ аспартата натрия [6]. Сelenит натрия вносился в качестве добавок до конечной концентрации от 1 до 6 мМ. Хелатирование ионов Ca^{++} производили добавлением в среду инкубации 1,0 мМ ЭДТА. Инактивация натриевого насоса осуществлялась отравлением его 0,1 мМ раствором строфантини К. Палочковый рецепторный потенциал возбуждался зелеными вспышками длительностью 70 мсек, интенсивностью 50–100 поглощенных кван-

тов на палочку за вспышку [7]. Ответы усиливались с помощью усилителя переменного тока с постоянной времени 10 сек и регистрировались на осциллографе С1-69.

РЕЗУЛЬТАТЫ И ОБСУЖДЕНИЕ

Добавление в среду инкубации раствора сelenита натрия до конечной концентрации 1 мМ не приводило к сколько-нибудь заметному изменению величины и кинетики ПРП. Учитывая, что более концентрированные растворы сelenита натрия заметно сдвигают pH в щелочную сторону, мы увеличивали буферную емкость среды инкубации доведением концентрации трис- HCl буфера до 30 мМ.

Амплитуда ПРП в диапазоне pH от 7,0 до 8,0 заметно возрастает [8]. Чтобы избежать наложения эффекта pH при введении в среду инкубации более концентрированных добавок сelenита натрия, исходная pH омывающего раствора доводилась до 8,0. В этих условиях, то есть когда среда инкубации содержала 30 мМ трис- HCl буфера pH 8,0, добавление сelenита натрия до конечной концентрации 3 мМ приводило к заметному увеличению амплитуды ПРП и к незначительному ускорению ответа (рис. 1, А). Повторное введение в среду инкубации

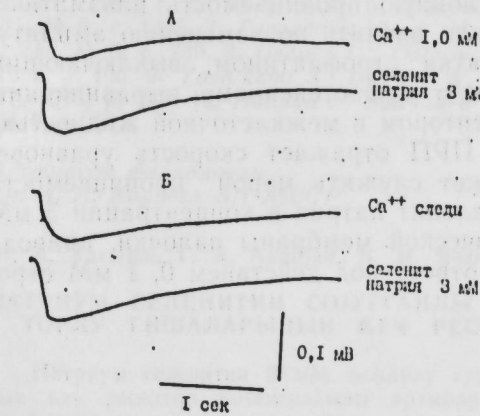


Рис. 1. Действие сelenита натрия на ПРП изолированной сетчатки лягушки в среде инкубации, содержащей: А — 1,0 мМ Ca^{++} ; Б — следы Ca^{++}

такого же количества препарата не приводило к существенным изменениям его. Для объяснения увеличения амплитуды ПРП необходимо исключить связывание сelenитом натрия ионов Ca^{++} , что могло бы привести к уменьшению концентрации последних и, следовательно, к увеличению ответа [9]. Интересно также проследить, как меняется проницаемость плазматической мембранны фоторецептора при этом.

Известно, что добавление в среду инкубации, содержащей ионы Ca^{++} , 1 мМ ЭДТА первоначально приводит к увеличению амплитуды ПРП. Если же раствор, омывающий сетчатку, не содержит ионов Ca^{++} , то добавление 1 мМ ЭДТА приводит к быстрому уменьшению и исчезновению ответа [10]. Следовательно, в случае связывания сelenитом ионов Ca^{++} добавление его в среду инкубации, содержащую следы кальция, должно приводить к постепенному уменьшению ответа. Однако этого не происходит. Введение сelenита натрия в среду инкубации, содержащую следы кальция, приводило к увеличению амплитуды ПРП

(рис. 1, Б). Действие селенита не проявлялось лишь на фоне действия ЭДТА (рис. 2, Б). Интересно отметить, что незаметно действие селенита в присутствии (5–10 мМ) высоких концентраций внеклеточного кальция (рис. 2, Б).

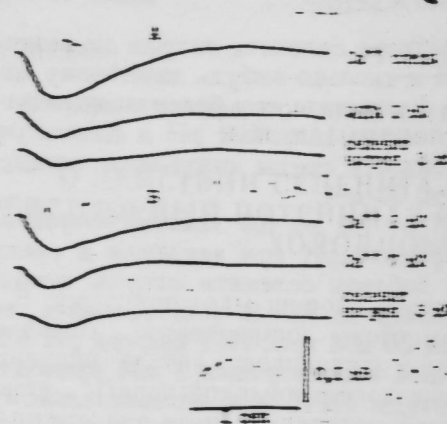


Рис. 2. Действие селенита натрия на ПРП изолированной сетчатки лягушки: А — в присутствии ЭДТА; Б — на фоне действия высоких концентраций внеклеточного кальция

Влияние селенита на ионную проницаемость плазматической мембраны фоторецептора можно оценить по изменению амплитуды ПРП после отравления сетчатки строфантином, выключающим внеклеточный кальций, что приводит к постепенному выравниванию ионных градиентов между фоторецептором и межклеточной жидкостью. Скорость уменьшения амплитуды ПРП отражает скорость уравновешивания ионов со средой и может служить мерой проницаемости плазматической мембраны [7, 8]. Селенит натрия в концентрации 3 мМ уменьшил проницаемость плазматической мембраны палочки, приводя к более медленному восстановлению ответа под действием 0,1 мМ строфантин К (рис. 3).

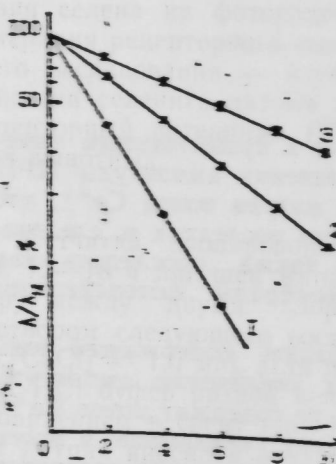


Рис. 3. Действие селенита натрия на скорость уменьшения амплитуды ПРП после отравления сетчатки строфантином: 1 — низкая, до 0,1 мМ концентрация внеклеточного Ca^{++} ; 2 — нормальная 1,0 мМ концентрация внеклеточного Ca^{++} ; 3 — действие 3 мМ селенита натрия в присутствии 1,0 мМ Ca^{++}

Из приведенных данных можно заключить, что селенит натрия в концентрации 3 мМ способен увеличивать амплитуду ПРП изолированной сетчатки гололедкозовых животных. Такое увеличение не может быть объяснено связыванием селенитом ионов Ca^{++} . Этому противоречат данные об увеличении ответа при добавлении селенита в среду

инкубации, содержащую следы кальция, и данные о проницаемости плазматической мембранны фоторецептора, так как при уменьшении внеклеточной концентрации кальция проницаемость мембранны увеличивается (рис. 3).

Селенит натрия, по-видимому, не действует на натриевые каналы фоторецептора. В противном случае наблюдаемое уменьшение проницаемости плазматической мембранны привело бы к уменьшению темнового тока и, следовательно, уменьшению амплитуды ПРП. Можно предположить, что селенит натрия в указанной концентрации способен уменьшать проводимость не натриевых, а других, имеющих, возможно в плазматической мембране фоторецептора каналов утечки, что приводит к уменьшению проницаемости мембранны фоторецептора, увеличению и ускорению ответа.

Литература

1. Абдуллаев Г. Б., Гаджиева Н. А., Гасанов Г. Г., Оболенская Л. В.—Докл. АН АзССР, 1971, т. 27, № 10, с. 19. 2. Stone W., Kats M., Lurie M., Margot M., Dra'g E.—Photochem. Photobiol., 1979, v. 29, N 4, p. 725. 3. Абдуллаев Г. Б., Гаджиева Н. А., Жеретинко В. З., Дмитриенко А. И. В сб.: Селен в биологии, т. 1.—Баку: «Элм», 1974, с. 35. 4. Гасанов Г. Г., Кулиева Э. М., Джагаров А. И., Переильгин В. В.—Докл. АН АзССР, 1981, т. 37, № 3, с. 32. 5. Абдуллаев Г. Б., Гасанов Г. Г., Кулиева Э. М., Джагаров А. И., Переильгин В. В.—Докл. АН АзССР, 1981, т. 37, № 5, с. 29. 6. Говардовский В. И.—Докл. АН СССР, 1977, т. 235, № 6, с. 1445. 7. Говардовский В. И., Берман А. Л.—Докл. АН СССР, 1977, т. 237, № 3, с. 739. 8. Gedney C., Ostroy S.—Arch. Biochem. Biophys., 1978, v. 187, No 1, p. 195. 9. Yoshikami S., Hagins W.—In: Biochem. Physiol. Visual Pigments, NY, 1973, p. 243. 10. Hanava I., Matsuura T.—Photochem. Photobiol., 1980, v. 32, No 5, p. 521.

Институт физиологии
им. А. И. Карапова АН АзССР

Поступило 15. XI 1983

Ш. К. Тагиев, Г. Х. Акопян, Н. И. Чәфәров, Н. М. Мәһәммәдов, Е. М. Гулиева
НАТРИУМ СЕЛЕНИТИН СОУЛГАНЛЫ НЕЙВАНЛАРЫН ТӘЧРИД ЕДИЛМИШ ТОРЛУ ГИШАЛАРЫНЫН КЕЧ РЕСЕПТОР ПОТЕНСИАЛЫНА ТӘ'СИРИ

Натриум селенитин 3 мМ мәнделүү гурбаанын тәчрид едилмиш торлу гишааларынын кеч ресептор потенциалыны артырааг фоторесептор үчүеңрәләрни плазматик мембранныларын ион кечирчилигини азалдыр.

Алынаң иәтичәләр торлу гишаанын фоторесепторларынын гејри-натриум каналларынын тутулмасы вә иәтичәдә ишигы гарыш чавабын артмасы илә изән олуна биләр.

Sh. K. Tagiev, G. Kh. Akopian, A. I. Jafarov, N. M. Magomedov,
E. M. Kulieva

THE ACTION OF SODIUM SELENITE ON THE LATE RECEPTOR POTENTIAL OF THE ISOLATED RETINA OF THE COLD-BLOODED

Sodium selenite in the concentration of 3 mM could markedly increase the amplitude of the late receptor potential of isolated frog retina and decrease the permeability of the rod plasma membrane. The increment of the amplitude of the receptor potential could not be explained by chelating calcium ions in the presence of selenite.

Sodium selenite acts, apparently, not on the sodium, but other ionic channels, which may be present in plasma membrane of photoreceptor, by blocking them and thus increasing the amplitude of the response.

Р. А. АБДУЛЛАЕВ, Х. М. МИРЗОЕВ

К ФАРМАКОЛОГИИ ПРЕПАРАТА РАСТОРОПШИ ИЗ ФЛОРЫ АЗЕРБАЙДЖАНА

(Представлено академиком АН Азербайджанской ССР Г. Г. Гасановым)

Флора Азербайджана богата многочисленными полезными растениями, а поэтому изучение ее растительных ресурсов представляет большой интерес.

Одним из таких растений является расторопша. Расторопша пятнистая (*Silybum marianum* (L.) Gaerln) из семейства сложноцветных (Compositae) распространена повсеместно. В СССР она произрастает в южных районах европейской части, на Кавказе, в Средней Азии и на юге Западной Сибири. Расторопша пятнистая — многолетнее травянистое растение, высотой от 70 см до 1,5 м.

Раньше семена расторопши пятнистой применялись в медицине при лечении некоторых заболеваний печени и селезенки, при желчнокаменной болезни, воспалении желчных протоков, желтухе, колитах с запорами, геморрое. В семенах расторопши пятнистой в очень большом количестве содержится жирное масло, широко используемое в пищу местным населением. Масло из семян расторопши использовалось также для освещения и малярийных целей [4].

Местное население Азербайджана также широко использует жареные семена расторопши пятнистой в пищу. Однако расторопша пятнистая химически и фармакологически изучена недостаточно.

По данным [3], в семенах расторопши пятнистой содержится до 32% жирного масла, небольшое количество эфирного масла, смолы, слизи, биогенных аминов (гистамина, тирамина) и около пяти флавонидов.

Работа А. И. Карапея и соавторов [6] посвящена изучению химического состава семян расторопши пятнистой и влиянию ее галеновых препаратов на гладкую мускулатуру кишечника. Упомянутыми исследователями установлено, что в семенах расторопши пятнистой содержится: жирное масло (31, 46%), алкалоиды (0,04—0,06%), спироны, горькие вещества, аминокислоты, сахаристые вещества, слизи, смолистые вещества (1,98%), органические кислоты (1,6%), слады витамины С и витамин K (0,15 мг %).

Ими также отмечено, что галеновые препараты расторопши пятнистой способствуют в эксперименте усилению сократительной активности гладкой мускулатуры кишечника.

Р. К. Алиевым и Н. А. Юзбашинской [2] установлено, что галеновые препараты из семян расторопши пятнистой вызывают усиление сократительной способности гладкой мускулатуры матки кролика и кошки, стимулируют тонус спинной мышцы цыпленка. Действие препара-

тов расторопши пятнистой на гладкую мускулатуру матки более ритмично и продолжительно, чем препаратов спорыны. Этими же исследователями отмечено, что препараты расторопши пятнистой суживают сосуды изолированного уха кролика. Более эффективным сосудосуживающим действием обладает жидкий спиртовый экстракт расторопши.

Большую практическую ценность представляет силибинин (легалин) — флавоноидное вещество, выделенное из *Silybum marianum*, который оказывает гепатозащитное действие, улучшает обменные процессы в печени, способствует улучшению пищеварения. Препарат используют при острых гепатитах, хронических заболеваниях печени, при циррозе печени [6].

Р. А. Абдуллаев и соавторы [1] установили, что жидкий спиртовый экстракт из семян расторопши пятнистой в дозе 2 мл/кг перорально способствует снижению содержания сахара в крови у интактных животных на 18—20%, особенно у животных с аллоксановой гипергликемией (23,6—26%).

Из литературных сообщений видно, что расторопша пятнистая в фармакологическом отношении изучена недостаточно.

Приведенные литературные сообщения в отношении расторопши пятнистой касаются лишь влияния ее препаратов на гладкую мускулатуру изолированных органов и на содержание сахара в крови экспериментальных животных.

В настоящей работе мы изучили влияние жидкого спиртового экстракта из семян расторопши пятнистой на сердечно-сосудистую деятельность.

Первоначально нами была изучена токсичность препарата из семян расторопши пятнистой.

Токсичность исследуемого вещества была изучена на 30 белых мышах весом 17—20 г путем подкожного его введения подопытным животным.

Результаты проведенных исследований показали, что ZD₅₀ препарата из семян расторопши для белых мышей подкожно составляет 58,8 мл/кг. Следовательно, вещество не обладает токсическими свойствами.

Изучение влияния препарата из семян расторопши на сердечную деятельность проводилось методом электрокардиографии на 18 интактных кроликах породы шиншиллы весом 2,5—2,8 кг.

Исследуемое вещество вводили в вену уха кроликов в дозах 0,75—1 мл/кг и запись электрокардиограммы регистрировали в трех стандартных и четвертом грудном отведении на двухканальном электрокардиографе типа ЭКПСЧ-3 в течение 30 мин.

Результаты проведенных опытов показали, что при внутривенном введении животным препарата из семян расторопши в дозах 0,75—1 мл/кг существенно не изменяются временные и амплитудные показатели сердечной деятельности на электрокардиограмме, за исключением незначительного урежения сердечных сокращений, наблюдаемых в течение первых 2—3 мин после введения препарата. Результаты этих опытов приведены на рис. 1.

Влияние препарата из семян расторопши пятнистой на артериальное давление и дыхание изучалось на 18 кошках весом 2,8—3,8 кг, парализованных уретаном (1,2 г/кг веса) в остром опыте. Артериальное

давление регистрировалось в сонной артерии ртутным манометром в течение 120 мин, а дыхание капсулой Марея, введенной в трахею животного.

Для предупреждения свертываемости крови, животным внутривенно вводился гепарин из расчета 1500 ед/кг.

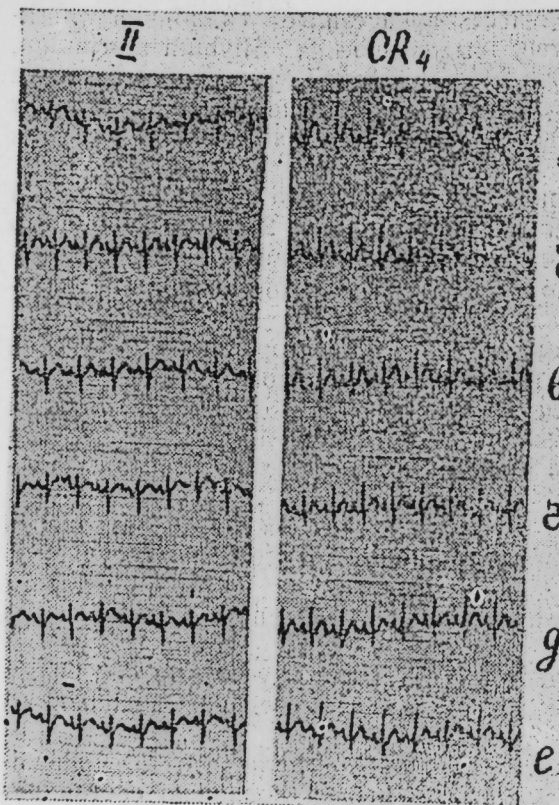


Рис. 1. Электрокардиограмма кролика весом 3,1 кг. Препарат расторопши вводился внутривенно в дозе 1 мл/кг: *a* — до введения; *b* — через 2; *c* — через 5; *d* — через 10; *e* — через 30 мин после внутривенного введения вещества

Исследуемое вещество вводили животным в бедренную вену в дозах 0,75—1 мл/кг.

Результаты этих исследований показали, что при внутривенном введении препарата из семян расторопши в дозах 0,75—1 мл/кг сразу происходит кратковременное резкое падение артериального давления на 60—70 мм. рт. ст. ($85-87 \pm 5,8\%$), которое через 2—5 мин. проявляет тенденцию возвращения к исходным показателям. Однако оно полностью не восстанавливается до исходных величин в течение 120 мин опыта. Артериальное давление остается сниженным на 30—40 мм рт. ст. до конца опыта. При этом наблюдается резкое увеличение амплитуды дыхания с последующим ослаблением его. Через 2 мин после введения вещества дыхание постепенно возвращается к исходному состоянию, а через 60 мин вновь происходит учащение и увеличение амплитуды дыхания, которое продолжается до конца опыта. Результаты этих опытов приведены на рис. 2.

На основании проведенных исследований можно сделать следующие выводы:

1. GD₅₀ препарата из семян расторопши для белых мышей при подкожном введении составляет 58,8 мл/кг, т. е. препарат не является токсичным.

2. Исследуемое вещество в дозах 0,75—1 мл/кг внутривенно заметно не изменяет частоту и амплитуды сокращений сердца животных.

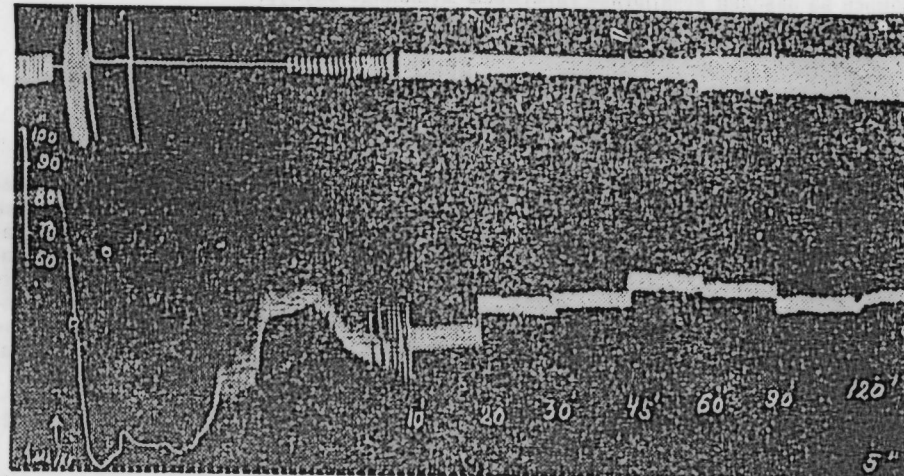


Рис. 2. Влияние внутривенного введения препарата расторопши в дозе 1 мл/кг на уровень артериального давления и дыхания кошки весом 4,25 кг Сверху вниз: запись дыхания; запись артериального давления; отметка времени

3. Препарат из семян расторопши в дозах 0,75—1 мл/кг внутривенно вызывает первоначально резкое снижение артериального давления на 60—70 мм рт. ст. с последующим проявлением тенденций возраждения к исходному, однако оно остается сниженным на 30—40 мм рт. ст. в течение 120 мин опыта. Амплитуда дыхания при этом вначале увеличивается, а затем происходит его угнетение с последующим возрастом к исходному состоянию.

Литература

1. Абдуллаев Р. А., Гусейнов Д. Я., Мирзоев Х. М. — Азмежурнал, 1985, №5, с. 7. 2. Алиев Р. К., Юзбашинская П. А.—Доклад. АН АзССР, 1957, т. XIII, №2, с. 195. 3. Гаммерман А. Ф., Кадаев Г. А., Яценко-Хмелевский. Лекарственные растения. — М., 1983, с. 304. 4. Гроссгейм А. А. Лекарственные ресурсы Кавказа, 1946, с. 41, 61, 298. 5. Караваев А. И., Алиев Р. К., Рахимова А. Х.. — Изв. АН АзССР, 1954, № 6. 6. Машковский М. Д. — Лекарственные средства, 1984, т. 1, с. 516. 7. Флора Азербайджана, 1961, VIII, с. 419.

АМИ им. Н. Нариманова

Поступило 17. X. 1985

Р. Э. Абдуллаев, Х. М. Мирзайев

АЗЭРБАЙЧАН ФЛОРASЫНДАН ОЛАН АЛАГАНГАЛ ПРЕПАРАТЫНЫН
ФАРМАКОЛОКИЛСЫНА ДАИР

Тәдгигатлар 30 аг сичан, 18 ада довшаны вә 18 пишик үзәрнинде апарылмышдыр.

Тәдгигатларын иәтичеси көстөрди ки, алагангал препараты аг сичанларын дәриси алтына вурулдугда LD 58,8 мл/кг бәрабәрдір.

Маддәни 0,75—1 мл/кг. дозада венаја вурдугда интакт ада дөвішларының үрек фәалийетинин вахт вә амплитуд көстәричиләрди дәшишмир.

Нәмин дозаларда венаја вурулдугда пишикләрин arterиал ган тәэзигинин гыса мүддәтли, орта несабла 60—70 мм, чиң сүтунун ашагы дүшмәси гејд олуңур. Ган тәэзиги апарылан 120 дәғиге тәчрубә мүддәтнинде 30—40 мм чиң сүтуну ашагы дүшмүш налда гәләр. Бу вахт тәнәффүсүн амплитуда јүксәлир, соңра исе онун зәйфләмәси вә эввәлки вәзијәтина гајытмасы мүшәниде олуңур.

R. A. Abdullayev, Kh. M. Mirzoyev

ON THE PHARMACOLOGY OF THE PREPARATION OF SIBYBUM MARIANUM FROM AZERBAIJAN FLORA

The study comprised 30 white mice, 18 rabbits, and 18 cats.

The results of the investigation showed that LD₅₀ of the Sibybum marianum preparation infused subcutaneously for white mice is 58,1 ml/kg. The substance in dose 0,75—1 ml/kg intravenously does not sufficiently change temporal and amplitude values of cardiac activity in intact rabbits. In the same dose intravenously the preparation induces transitory decrease of arterial pressure average on 60—70 mm of mercury column. The pressure remains decreased on 30—40 mm of mercury column throughout 120 minutes of the experiment. The amplitude of the respiration during the experiment increases and then the respiration is depressed falling back to the initial value.

АДЫГА АЗЕРБАЙЧАН ССР ЕЛМЛӘР АКАДЕМИЯСЫНЫН МӘРҮЗӘЛӘРИ
АКИМДАЛЫК ПОСТАВЛАМАЛЫК КИМІЛІК СЕНДИЛДІСІ 1986 ІНДОКЛАДЫ АКАДЕМИИ НАУК АЗЕРБАЙДЖАНСКОЙ ССР

ТОМ XLII ЧИЛД № 2

1986

ВОСТОКОВЕДЕНИЕ

Р. М. ШУКЮРОВА

НАИБОЛЕЕ РАННЯЯ ЛЕГЕНДА ОБ ОГУЗ-КАГАНЕ

(Представлено академиком АН Азербайджанской ССР З. М. Бүньятовым)

Первая письменная «Огуз-наме» появилась на уйгурском языке в период правления ильханида Султана Махмуда Газана (1295—1304). Этому способствовало наличие в первую очередь уйгурской письменности, духовной и культурной жизни при дворе Ильханов. Именно наличие уйгурского дастана об Огуз-кагане явилось предпосылкой появления истории тюрок и повести об Огузе, написанных знаменитым Рашид ад-Дином и включенных им в его «Сборник летописей».

Ко времени написания дастана об Огуз-кагане тюркский мир был представлен следующими племенами: огузы (туркмены), уйгуры, кыпчаки, канклы, карлуки и каладжи (халаджи). Как у монголов Чингизхан, так и у тюрок в древнее время был свой владыка мирозавоеватель — Огуз-каган (или хан).

Тюркский мир появился в результате больших завоеваний Огуз-хана. Распространение тюркских племен от пределов Беш-Балыка до северных берегов Черного и Эгейского морей связано с завоеваниями Огуз-хана.

Огузы вышли из 24 родов времени Огуз-хана, а сами уйгуры являются или собственным племенем Огуз-хана или подчиненными ему тюрками. Кыпчаки, канклы, карлуки и халаджи появились как потомки беков Огуза.

В истории тюрок Огуз-хан представляется как владыка, посланный небесами, чем утверждается достоинство тюрок, их место в истории приравнивается положению арабов и монголов.

Уйгурский дастан об Огуз-кагане и повесть о мирозавоевателе Огуз-хане послужили отправной точкой для появления дастанов о Деде Коркуте.

Самое раннее сообщение об Огузе и Деде Коркуте мы находим в сочинении мамлюкского историка Абу Бакра ибн Абдаллаха ибн Айбека ад-Давадари (ум. в 1332 г.) «Дураг ат-тиджан ва гураг таварих ал-азман» («Жемчужины венцов и все отборное летописей времен»*).

Текст этого сообщения в переводе с арабского языка таков:

«Я хочу изложить здесь рассказ о появлении и выступлении этого племени (турок) и рассказать об их делах. Это краткое изложение

* ад-Давадари. Дураг ат-тиджан. Рукопись Стамбульской библиотеки «Сулейманийя», фонд Дамад Ибрахим-паши, № 523, лл. 202, а—б. См. также: Риза Нур. Огуз-наме. — Александрия, 1926, с. 5—6, сн. 3.

R. M. Shukyurova

THE EARLIEST LEGEND ON OGUZ-KHAN

The article deals with the earliest legend on Oguz-khan which is kept in the author's works of the XIV century Abu Bakr ibn Abdullakh ibn Aibek ad-Davadari (died in 1332) "Durar at tijan va gurar tavarikh al-azman".

As ad-Davadari thought "Ogus-name" was composed at the end of the XIV century but unfortunately it has not reached us.

того, что встретилось мне в книге, написанной на их родном языке и называемой «Улу-хан ата Битикчи», смысл и значение которой «Книга о великом владыке-отце». С этой книгой не расставались раньше тюрки-монголы и кыпчаки, и они относились к ней с таким же большим почтением, как другие тюрки относились к книге, которую они называли «Огуз-наме». Они передают эти книгу [от поколения к поколению], а также излагается жизнеописание их первого и самого великого владыки Огуза.

В «Огуз-наме» рассказывается также история личности, которая ими (турками) называется Депе (Тепе)-Гоз. Это Тепе-Гез опустошил их земли и перебил самых выдающихся древних тюркских богатырей. По их представлениям, Тепе-Гёз был ужасным созданием, у него посреди лба был один-единственный глаз, его не могли уязвить ни меч, ни копье. Его мать была морской девой, а отец носил шапку, сшитую из шкур десяти козлов.

Среди них (турок) о Тепе-Гёз ходят сказания и былины, которые рассказывают и по сей день. Их помнят наизусть те, кто обладает крепким умом и умением играть на комузе.

В конце концов Тепе-Гёз был убит одним могучим и храбрым молодцом по имени Басат сын Уруса, который был хорошо известен среди тюрок.

А причиной этому была одна девушка из их племени. Никто не смог одолеть эту девушку в [искусстве] верховой езды, кроме Басата сына Уруса. Басат победил ее и взял в жены.

Когда к отцу Басата Урусу пришли люди и поздравили с радостной вестью о том, что он одолел девушку, Урус сказал:

«Я думал, что вы говорите о том, что он убил Тепе-Гёза».

Когда Басат услышал сказанное отцом, он с помощью хитрой уловки убил Тепе-Гёза при немыслимых обстоятельствах и удивительных приключениях.

Все это является одной из легенд тюрок.

Трудно определить, где и когда была написана «Огуз-наме», о которой говорит ад-Давадари. Нам кажется, что она появилась или в Восточной Анатолии, или в Азербайджане и, весьма возможно, в начале XIV в.. «Огуз-наме» не могла быть написана где-то в Туркестане, а затем привезена огузами на Ближний Восток. Как мы говорили, «Огуз-наме» могла появиться только на основе уйгурской версии и эта версия была использована Рашид-ад-Дином при написании своей «Огуз-наме».

Что касается «Огуз-наме», о которой упоминает ад-Давадари, то она, к сожалению, до нас не дошла.

Институт востоковедения
АН АзССР

Поступило 12. VI. 1985

Р. М. Шукюрова

ОГУЗ-КАГАН ҮАГГЫНДА ЭН ГЭДИМ РЭВАЈЭТ

Мэгэлэдэ XIV эсрэдэ јашамын Эбу Бэкр иби Абдуллах иби Ајбэк эд-Дэвадаринин «Дүрэр эт-тичан вэ гураг тэварих эл-эзман» эсэри васитэсилэ бизэ кэлийг чатмыш Огуз хан үаггында дахиа еркэн рэвајэтдэн данишылыр.

Дэвадаринин бэхс етдиж «Огузнамэ» тэхминэн XIV эсрэдэ тэртиб өдилмийн вэ тээссүүф ки, бизэ кэлийг чатмамышдыр.

НОВЫЕ НАХОДКИ К ДРЕВНЕЙ МЕТАЛЛУРГИИ И МЕТАЛЛООБРАБОТКЕ В КЮЛЬТЕПЕ II

(Представлено академиком АН Азербайджанской ССР А. С. Сумбатзаде)

Поселение Кюльтепе II — один из многослойных памятников Нахичеванской АССР. Начиная с 1968 г. памятник систематически исследуется.

В 1980 г. в раннебронзовом горизонте памятника обнаружены остатки металлоплавильного горна. Он настолько сильно разрушен, что определить весь его план невозможно. Сохранившиеся остатки свидетельствуют о круглом плане установки. При очищении горна обнаружены остатки металлического шлака и глиняное сопло. Диаметр горна составлял 70, толщина стенок — 10 см.

Состояние горна не позволяет судить о его конструкции, хотя обнаружение сопла свидетельствует о применении принудительного дутья, которое в бабадервишских печах производилось через специально выстроенные каналы [1]. Возможно, конструкция кюльтепинского горна соответствовала бабадервишскому. Подобные очажные сооружения, в которых горение обеспечивается особыми каналами, сохранились на территории Нахичевани. Один конец подобных каналов входит в очаг, а другой — на поверхность грунта.

Древнейшие плавильни известны в Тимпе [2], Хараппе [3], Бабадервише [4], Гарии и Джагацатехе [5].

Глиняное сопло, найденное около горна, имеет конусообразную форму. В середине его, по продольной оси, имеется сквозное отверстие, суживающееся к концу. Подобные сопла найдены в Бабадервише, Мишарчае [6], Янктепе [7], Гейтепе [8].

В этом же горизонте памятника в 1979 г. обнаружена металлообрабатывающая мастерская. Она представляет собой отдельное помещение, от которого остались лишь булыжники, закрепленные глиной, однако определить точные размеры его невозможно. Внутри помещения обнаружен сильно разрушенный круглый очаг. При очищении очага прослежен зола. На внутренней стороне его найдены наконечник копья, плоский браслет из листовой бронзы, высочное кольцо с заходящими друг на друга концами, обломки игл (рис. 1, 1, 2, 3, 4, 5, 6).

Наконечник копья имеет листовидное лезвие и короткий черенок, который плавно переходит в покатые плечики и, суживаясь заканчивается острием (рис. 1, 1). Аналогичные копья известны из Элара [9], Шумера [10], Мохенджедара [11]. При этом последний отличается тремя отверстиями (два у основания, а одно на конце черепка). Подобное копье из Амиранисгора [12] немного отличается своей формой, черенок его лезвием соединяется в дуговидной форме и образует острые плечики.

На территории Азербайджана аналоги этих копий известны в Гобустане, Мугани, Гянджинском районе. Судя по этим находкам, можно утверждать, что подобные оружия в Азербайджане бытовали до середины I тыс. до н. э.

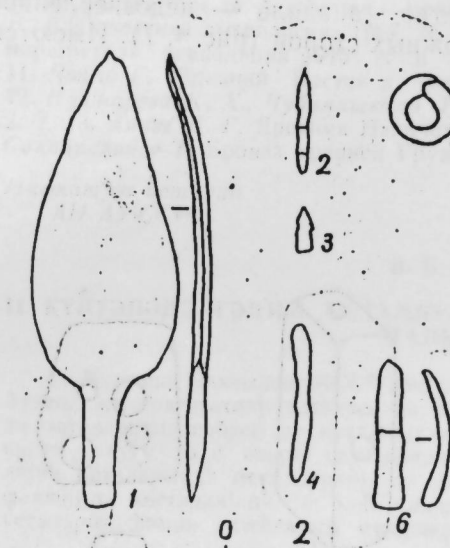


Рис. 1

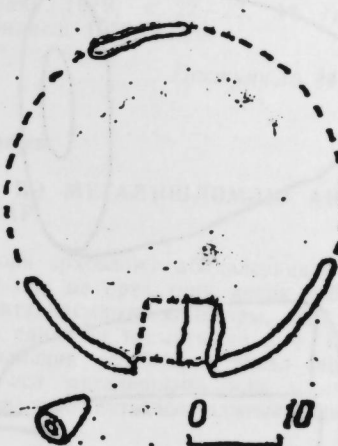


Рис. 2

В странах Ближнего Востока встречаются видоизмененные формы подобных копий. Все они с загнутым черенком и листовидным лезвием. Лезвие их расширено у черенка, на котором имеются два прямоугольных отверстия.

На основе аналогичных материалов и учитывая стратиграфию памятника, мастерскую можно датировать XXIV—XXIII вв. до н. э., а горн-серединой III тыс. до н. э.

Плавильная, обнаруженная в среднебронзовом горизонте, от горнов ранней бронзы отличается более совершенной конструкцией. Полукруглые стенки этого сооружения сохранились только в юго-восточном и юго-западном направлении. Между сохранившимися стенками выявлены остатки прямоугольного канала особого строения. Диаметр горна составлял 52, толщина стенок — 12, высота — 10 см (рис. 2).

При очищении сооружения местами прослежен древесный уголь, хотя никакого подземного сооружения не обнаружено. Вероятно, горн являлся наземным цилиндрическим сооружением, суживающимся кверху.

Интересно также строение сопла, обнаруженного около горна. Это конусообразный предмет со сквозным отверстием по продольной оси. Отверстие, начиная от основания сопла, суживается к концу и переходит в узкий канал (рис. 3). Такое строение каналов обеспечивало беспрерывность дутья под давлением.

Этот горн на основе керамического материала датирован серединой II тыс. до н. э.

Большой научный интерес представляют литейные формы, датированные II тыс. до н. э. Одна из них изготовлена из четырехугольного обтесанного камня с желобками для отливки заготовок, вторая форма — прямоугольная. Поверхность ее обтесана лучше. В попечнике она имеет сквозное отверстие, а вдоль — недосверленное отверстие, начатое с двух противоположных сторон (рис. 4, 1). Имеются

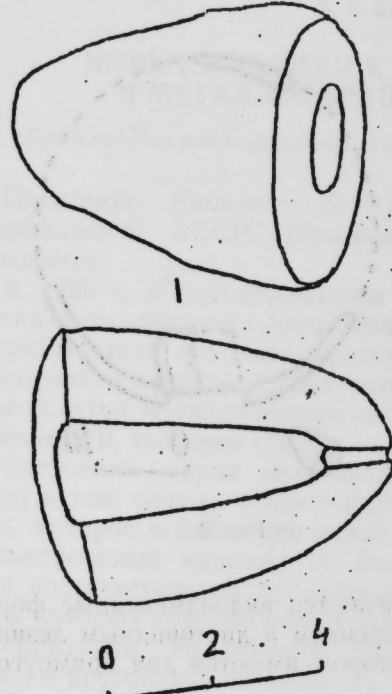


Рис. 3

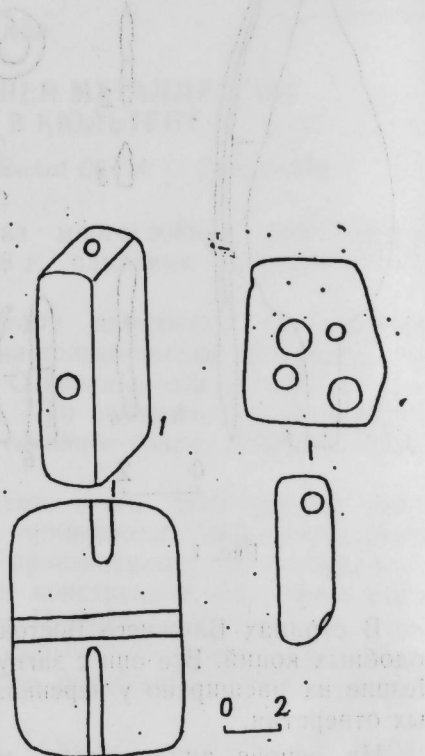


Рис. 4

также камни с различными отверстиями (рис. 4, 2). По мнению исследователя Кюльтепе II В. Г. Алиева, подобные камни использовались для волочения. Аналогичного мнения придерживаются также Ф. Тавадзе [14]. Можно предположить, что в эпоху средней бронзы в поселении Кюльтепе II были особые волочильни.

Рассматриваемые находки делают возможным прослеживание некоторых важных изменений в развитии технической базы древней металлургии Нахичевани. Появление горнов металлообрабатывающих мастерских в слоях III тыс. до н. э. свидетельствует о том, что в эту эпоху металлургия и металлообработка существовали как самостоятельные отрасли производства. Следовательно, в эпоху средней бронзы в связи с усложнением металлообрабатывающего производства, мастера специализировались по отдельным видам этого производства.

Литература

- Селимханов И. Р. Разгаданные секреты древней бронзы.—М., 1970, с. 75.
- Lupu A.—Metallurgical Aspects of Chalcolithic Copper Working at Tell Timna, BHMG, 1970, vol. 4, № 1. 3. Чайлд Г. Древний Восток в свете новых раскопок.—М., 1956,

с. 269. 4. Махмудов Ф. Р., Мунчагов Р. М., Нариманов И. Г.—Советская археология, 1968, № 4. 5. Есенин С. А. Древняя культура племен северо-восточной Армении (III—I тыс. до н. э.).—Ереван, 1976, с. 16, 176. 6. Махмудов Ф. Р., Мунчагов Р. М., Нариманов И. Г.—Советская археология, 1962, № 4, с. 19. 7. Burney C. A.—Excavations at Janik Tepe (North-West Iran).—Iran, XXIII, 2, 1961, t. XXIV, 63, 8. 8. Brown T. B. Excavations in Azarbaijan.—London, 1951, p. 48, plct. 13, N 1186. 9. Ханзадин Э. В. Советская археология, 1964, № 2, с. 100, 10. Куфтин Б. А. Археологическая маршрутизация экспедиция 1945 г. в Юго-Осетию и Имеретию.—Тбилиси, 1949. 11. Чайлд Г. Древний Восток в свете новых раскопок.—М., 1956, рис. 99, 1. 12. Кушнарева К. Х., Чубинишвили Т. Н.—Советская археология, 1963, № 3, рис. 2, 2. 13. Алиев В. Г. Древняя Нахичевань.—Баку, 1979, с. 22—23. 14. Тавадзе Ф. Сакварелидзе Т. Бронза древней Грузии.—Тбилиси, 1959, с. 20.

Поступило 24. XI 1983

Институт истории
АН Аз ССР

В. Б. Бахшалиев

II КҮЛТЭПЭДЭ ГЭДИМ МЕТАЛЛУРКИЈА ВЭ МЕТАЛИШЛЭМЭЛЭ АИД ЯНИ ТАПЫНТЫЛАР

II Күлтэпэ Нахчыван МССР-ийн чохтэбэгэли археоложи абидалэриндэй биридир. Археоложи тэдгигатлар истижинидэ абидаани илк вэ орта тунч дөврү тэбэглэрийн дэ металэртмэ собасы вэ металишлэмэ е'малатханасыны галыглары, даши гэлиблэр, көрүк учлугу, вэ с. ашкар едилмишдир. Элдэ едилмиш тапынтылар с. э. III миниллийн орталарында металлуркија вэ металишлэмэнүү мүстэгил истеңсал саһәси кими фэалийжт көстэрдијини, с. э. II миниллийкэ исэ металишлэмэ илэ машгүл олам усталарын ѡёмин истеңсалын мүэjjэн саһәлэри үзэх ихтисаслашдыгыны көстэрир.

V. B. Bakhshaliyev

NEW DISCOVERIES ON ANTIQUE METALLURGY AND METALL-WORKING IN KULTARA II

Kultapa II is one of the many-layer archaeology monuments of Nakhichevan ASSR. As the results of archaeology researches, on the first and middle bronze period layer of the monument, the remains of the metallurgical furnace and metall-working workshop, stone casts, the tip of the nozzle, etc. were discovered.

These discoveries showed that in the middle of the III thousand year of B. C. metallurgy and metall-working had been the independent production field and in the II thousand year of B. C. the masters of the metallography had been specialized on the special fields of this production.

ТЕРМИНОЛОГИЈА

З. Ш. МӘММӘДОВА

КОСМОНАВТИКА ТЕРМИНЛӘРИНИН ТӘСБИТ ОЛУНМАСЫ ВӘ
ИШЛӘНМӘСИ ҺАГГЫНДА

(Азәрбајҹан ССР ЕА академики А. Ә. ӘФӘНДИҖАДӘ тәрәффүндөн тәгдим
едилмисшидир)

Дилчилик әдәбијатында терминология системләри формалашмасы мәсәләсинә даир бир-бiriнә зидд ики фикир мөвчүддүр. Тәдгигатчыларын бир группу термин јарадычылығынын конвенциал сәчијјә дашидығыны, сөз јарадычылығыны бу саһәсинин сәмарәли, шүурлу маһијәттине гејд едир [1], дикәр группу исә терминология системләрин тәшәккулұнун үмуми тәбии дил гануиларына әсасландығыны, әслиндә терминидә јарадычылығы просесинә нәзарәт мұдахилә стмәйин гејримүмкүн олдуғуну сөjlәјир. Бизчә, һәр ики фикирлә разылашмаг лазым кәлир. Белә ки, терминология дилин лексик тәркибинин олдугча рәнкарәп саһәсидир вә бу саһәjә мұхтәлиф чәhәтләрдән јанашмаг тәләб олунур. Һәгигәтән дә елми-техники терминләрин бөյүк бир гисми маһијәт етибары илә дилин үмуми гануилары әсасында јаранан сөзләрдән ибарәтдир. Г. О. Винокур јазыр ки, «терминләр хүсуси сөзләр дејил, хүсуси функция дашијан ади сөзләрдир». Ади сөз термин маһијәти кәсб едірсә, демәли, стандартлашыр; демәли дүнән «ади сөз олар» лексик вәнидин интеллектуал күчү кетдикчә артыр. Лакин һәмми, просесдә мәғфүмүн өзүнә дә фикир вермек лазым кәлир. Һәр бир мәғфүм ону дәғиг-ифадә едән төрминлә адландырылмалыдыр. Бу бахымдан термин јарадычылығы просеси үзәринде нәзарәт мәсәләсими иикар етмәк олмаз. Белә бир чәhәт ейнилә космонавтика терминологиясына да иандир.

Мәлумдур ки, космик лексика һазырда өзүнүн формалашма мәрхәләсими кечирир. Бунуила белә космонавтика терминләри мұхтәлиф дилләрдә тәсбит олунмагдадыр. В. П. Даниленко көстәрир ки, терминләрин тәсбит олума даирәси дејилдикдә онларын хүсуси терминология лүfетләрдә, сөзлүкләрдә, дөвләт терминология стандартларында гејдијаты нәзәрәт тутулур [2]. Беләliklә, һәр бир дилдә, о чүмләдән дә Азәрбајҹан дилиндә космонавтика терминологиясынын тәшәккүлүндә терминләрин тәсбит олума вә ишләнмә даирәсинин дүзкүн мүжжәйләшdirilmәsi мүһүм рол ојнајыр.

Азәрбајҹан дилиндә космонавтика терминләринин тәсбит олумна даирәсими илк контуруну үзэ чыхармаг учун ону мәнбәләрни айыллашдырымаг лазымдыр. Белә мәнбәләрдән бири бејнәлхалг мигјасда истифадә олунан, үмумән гәбул едилмиш терминләрдир. Белә ки, классик дилләрдән лексик инновасијалар көтүрүлүр вә бејнәлмиләл-ләшмиш термин үңсүрләри кими мұхтәлиф дилләрдә ишләдилir [3]. Терминләрин бејнәлхалг јаҳынылығы елм вә техниканын јени саһәләрни учун даха характеристикдир. Азәрбајҹан дилиндә бу чүр терминләри

тәсбити стандартлашдырылмасы учун әсас јол һазырда рус дилинин бејнәлмиләл фондуна дахил олан терминләр учун гарышылыгы мүәж-јәнләшdirilmәsiдир. Елми-техники, елми-күтләви вә бәдии әдәбијат дилимизә тәрчүмә едиләркән бејнәлмиләл терминләр олдуғу кими сахланылыр, әдеби дилдә гејдијатдан кечир. Бундан соңа јалныз лексик инновасијанын дилин мұвағиг терминләри арасында җеринин мүәж-јәнләшdirilmәsi вә ишләнмә тезлиji имканларынын үзэ чыхарылмасы мәсәләси галыр. Ана дилиндә һәр бир белә вәнидин тәсбитинин вә ишләнмә даирәсиин дүзкүн тә'јин едилмәси космонавтика терминологиясынын инициафыны дүзкүн истигамәтләндирмәк учун дә әһәмијәтә маликдир. Һәмми просесдә хүсусән реceptor-диллә (Азәрбајҹан дили илә) мәнбә дили арасында фонетик-аксентуасион мұнасибәтләре диггәт жетирилмәlidir. Экәр васитәчи дил (рус дили) фәрги кәсипләшdirмишса, онда илк мәнбәjә әсасланмаг зәруридир [4].

Тәсбитолуима (фиксация) даирәсина, һәмчинин орта вә али мәктәб дәрсلىкләrinde ишләдилән, елмин мұхтәлиф саһәләrinе аид терминләр дә дахилдир. Мәлумдур ки, космонавтика бир сыра елм саһәләрни илә тәмасдадыр. Демәли, космик лексика да мұхтәлиф терминология системләрдән гидаланыр.

Азәрбајҹан дилиндә космонавтика үзрә терминологиянын формалашмасы просесинде һәмчинин физика, кимја, тәбабетә, астрономија вә қеолокија аид бә'зи терминләrin ишләнмә даирәси кенишләйниш, функцијасы даха да артмышдыр. Мәлум олдуғу кими «чәкисизлик», «мүһәррик», «сапма», «гурғу», «чиhаз», «јөршунаслыг» сөзләrinde һәр бири өзлүjүидә елм вә техниканын мүәjjән саһәсинин терминологиясына дахилдир. Бунуила белә, һәмми сөзләрдән космонавтика терминологиясында да јени терминләrin тәркиб һиссәси кими истифадә олунур. Мәсәлән: чәкисизлик шәранти, чәкисизлик вәзијәти, ракет мүһәррик, тормоз мүһәррик, сапма учушу, машг гургусу, чиhаз платформасы, космик јөршунаслыг вә с. һәтта «иш күнү», «истираhәт күнү», «гырмызы күшә», «иш нөvbәси», «иш габилијәти», «һәjат тә'минаты», «мәтбәх» кими үмумишиләк сөз вә ифадәләр белә космонавтика терминологиясына дахил олмагла, спесифик мә'на кәсб етмишdir. Одур ки, космик лексиканын һәмчә чох кениш олар тәсбит таирәсindә бу гәбилдән олар терминләр дә өз экспин тапмалыдыр. Белә һалларда терминин дили үмумтерминология системинде бүтүн саһәләр учун анчаг бир фонетик орфографик шәкел малик ванид олдуғуны иәзәрә алмаг, ону дикәр терминология саһәләrdә гәбул едилib ишләдилди кими дә тәгдим етмәк зәруридир. Лакин мұлаhизәләр бә'зи терминләrin айры-айры мәнбәләрдә мұхтәлиф варианtlарда ишләдилди кими (мәсәлән: ионосфер-ионосфера, комет-комета) көстәрир ки, белә һаллары да нәзарәт јолу илә арадан галдырмаг лазымдыр. Шубhәсиз, дилдахили амилләр бурада устүнлүк тәшкүл едир.

Космонавтика терминологиясы күтләви информасија васитәләrinde истифадә олунан терминләri дә өз тәсбит даирәсина салмалыдыр. Гәбәzet вә журнал мәгаләләrinde бирчә дәфә ишләдилмиш терминләр белә фиксация даирәсindән көнарда галмый.

Космонавтика ән кәңч саһәләrdән бири олдуғу учун онун лексикасы да дилимиздә һәлә тәсбит олуймаг үзрәдир. Демәли, һәлә бу вәја дикәр терминин архаигләшмәсindән сөhбәт кедә билмәз.

Башга саһәләр кими космик лексиканы да тәсбит олумасынын системә салынmasынын вә унифиқасијасынын әсасыны учдилли (харичи

дил+рус дили+Азәрбајҹан дили) терминология лүгәт тәшкىл едә биләр. Хүсүсән бејнәмиләл космонавтика терминләrinин фонетик-орфографик чәһәтдән дәгигләшдирилмәси, бу лексик инновасијаларын дилин үумү терминология системиндәки јерини мүәјҗәnlәшдирилмәси, бә’зи терминләрдәki вариантыны арадан галдырылмасы бахымындан да белә шир лүгәтин тәртиби фајдалыдыр. Лүгәтин тәртиби харичи дилдә вә рус дилиндә космонавтика үзә терминләrin jaрадылмасы вә ишләдilmәsi тәчрубысindәn фајдаланыма да имкан верәр. Бурда калка сулу ила jaрадылан терминләr мүәјҗәn рол ојнаса да, эксәр терминlәrin артыг Азәрбајҹан дилиндә мөвчуд олан сөзләr эсасында jaрадылмасына хүсүсү диггәт ятирмәk лазык кәлир. Ыэмчиниң лүгәтдә икى-үч компонентдәn ибәрәт сөз бирләшмәләri вә мүрәkkәb сөзләrlә ifadә олунан терминләrin тәсбити мәсәләsinә dә фикир верилмәlidir. «Тәдгиг олунан терминология саһесинде чохкомпанентли терминләrin чохлуғу бутүн јени терминология системләrә хас олан терминlәrdә даһа чох фәргләндирчи әlamәtlәri экс етдирмәk вә беләликлә dә mejданa кәләn терминләrin bir мә’налылығыны тә’min etmәk чәһdi kими изаһ едилә биләr» [5]. Нәзәrә ‘алмаг лазымдыr ки, дилимизин һазырки инкишаф сәвијәси фонетик вә орфологи чәһәтдәn чох тәrkibli ванилләrin формалашмасына имкан верир. Мәсәләn: система управления и контроля терминийдәki управление вә контролъ сөзләrinin hәrәkәt ifadә етдиини нәzәr алмагла hәminи бирләшмәni idarәetmә—nәzәrәtetsi мисим шәklindә iшlәtмәsәk, mәfhiум дәгиг ifadә eдilмәz. Умумијәtтә kötüruлduкдә исә термин jaрадычылығы просесиндә айры-айры терминләrin jyгчамлығыны тә’min etmәk mәgәdilә, сөз бирләшмәlәri шәklindәki терминләrin компонентlәrinin сајыны азалтмаг mәgәdilә имкан дахилиндә tәrәflәrdәn мүrәkkәb сөз тәртиб даһа jaхshы iәтичә верир.

Литература

1. Е. Н. Толкина. Некоторые лингвистические проблемы изучения термина. Лингвистические проблемы научно-технической терминологии. — М., 1970, с. 57.
 2. В. П. Даниленко. Русская терминология. Опыт лингвистического описания. — М., 1977, с. 15.
 3. Л. М. Сергеева. Лексические инновации терминологической лексики по космическим исследованиям (АКД). — Киев, 1981, с. 15.
 4. Л. Н. Таирбекова. Тернарная конфронтативность: язык—источник, язык—посредник, язык—рецептор. Проблемы к конфронтативной лингвистике. — Баку, 1983, с. 82.
 5. М. Ш. Гасымов. Елми-техники тәрәggи вә тәрminология. «Елм вә hәjat» журналы, 1975, № 4, сәh.9
- Азәрбајҹан ССР Елләr Академијасы
Терминология комитети

21.X 85

З. Ш. Мамедова

О СФЕРАХ ФИКСАЦИИ И ФУНКЦИОНИРОВАНИЯ КОСМИЧЕСКИХ ТЕРМИНОВ

В статье выделяются две сферы существования космической лексики в азербайджанском языке, выявляются источники формирования и дополнения этой терминосферы. Для наиболее полной ее фиксации целесообразно составление трехязычного англо-русско-азербайджанского словаря терминов по космонавтике.

Z. Sh. Mamedova

ABOUT THE SPHERES OF FIXATION AND FUNCTIONING OF COSMIC TERMS

The article is devoted to the spheres of existence of cosmic lexics in the Azerbaijani language, to the source of formation of these terms. The formation of English-Russian-Azerbaijan dictionary of terms is considered to be the most aimful.

МҮНДӘРИЧАТ

Ријазијјат

- | | |
|---|----|
| Ә. Р. Мәһәммәдов, һ. М. Иәбијев. Максимумлу хәтти диференциал тәиилкәләrin һәлләrinин дајаиыглыгынын бә’зи мәсәләләri һагында | 3 |
| С. Р. Мусајев, Т. М. Әфәндијев. Пикар—ракопшник итерасија үсулу илә ида-раетмәni тә’mini сәди чохелчүлү мүмкүн чүтүн гурулмасы | 7 |
| Ф. Г. Магсүдов, Ф. Ә. Искандәрзадә, һ. М. Җәфәров, В. А. Никифоров, С. З. Мустафајев, Ә. М. Балакөзов, М. С. Казылов. Дәмирбетон үзүм дирәкләrinin конструксија вә һазырламма технолоџијасынын тәкмиләшдирилмәснин бә’зи мәсәләләri | 12 |

Јарымкечиричиләр физикасы

- | | |
|--|----|
| М. И. Элијев, X. Ә. Ҳәлилов, Р. Н. Рәhimov, Е. Т. Мәммәдов. Електронларла шуаландырылмыш $In_xGa_{1-x}As$ кристалларынын удма спектрләri | 17 |
|--|----|

Јарымкечиричиләр вә диелектрикләр физикасы

- | | |
|--|----|
| Ш. Г. Әскәров, Г. һ. Гәдимов. Шоттки диодларынын садә гејри-бирчинс модели | 21 |
| А. һ. Абдуллајев, Г. С. Мәһдијев. Назик монокристал $InSe$ тәбәгәләринде экстон удулма спектри | 24 |

Үзви кимја

- | | |
|---|----|
| М. И. Рустәмов, А. Д. Һүсейнова, К. Т. Фәрнадова, С. М. Әскәрзадә, Х. Т. Мәммәдов, Р. Р. Агајева, Д. Ә. Әзимова, С. І. Йунусов, Е. А. Гасымзадә. Сеолитәаслы катализаторларын штиракы илә метанолдан дојмамыш карбонидрокенләrin алынmasы | 30 |
|---|----|

Физики кимја

- | | |
|---|----|
| В. И. Краснов, К. М. Мусајев, В. В. Атлас. Һексен-I-ни метатезиси реаксијасынын кинетик моделләrinин ЕhM-ныш көмәjү илә тәһлили | 33 |
|---|----|

Үзви кимја

- | | |
|--|----|
| М. һ. Валијев, Ә. М. Гарраманов, М. М. Һүсейнов. Епокси-вә сиантәркибли аллиласстителләrinин синтези вә чеврилмәләri | 39 |
|--|----|

Гејри-үзви кимја

- | | |
|---|----|
| Ә. Н. Нуријев, Б. З. Рзајев, Ә. М. Гарајев. Стибиум З-селенидин алымасы | 45 |
| М. А. Мәммәджаров, Б. З. Рзајев, Р. К. Сәjjадов. Метал арсенин алымасы | 50 |

Физики кимја

- | | |
|--|----|
| Е. Б. Зејналов, Ј. Г. Гладышева, В. А. Қәримова, М. И. Рәчабов, К. С. Шыхәлијев, Б. І. Трифел, Б. К. Зејналов. Ичкىләrin физиологи актив чисимләrinин анализи үчүн моделләшдирилмис зәнчирвари реаксијаларынын тәтбиги | 51 |
|--|----|

Биокимја

- | | |
|--|----|
| Н. М. Йусифов. Азәрбајҹан шәрәтиндә әкилән рапсын биокимјеви хүсүсүйјат ләри | 59 |
|--|----|

Тектоника

Ә. Ә. Әлизадә, І. І. Погорелова. Нефтгазлылыгың өлгөлөрдөр Қичик Гафгәз чөкөклийинин үст тәбашир мәріләсінин кеоложи тарихи 65

Иглимшұнаслығ

Г. Ә. Һачыев, Ф. Б. Емінов, Ә. Н. Нәчәфов. Грыш вә жаң фәслиниң грыш отлагарының мәңсулдарлығының прогрэлашдырылмасына даир 71

Инеси вә һејвай физиолокијасы

Ш. К. Тагыйев, Г. Х. Акопjan, Н. И. Чәфәров, Н. М. Мәһәммәдов, Е. М. Гулијева. Натриум селенинин сојуганлы һејваниларының тәрчирид едилемши торлу гищаларының кеч ресептор потенциалына тә'сирі 74

Тибб

Р. Ә. Абдуллаев, Х. М. Мирзәев. Азәрбайжан флобрасындан одан алағайыл препаратының фармаколокијасына даир 74

Шәргшұнаслығ

Р. М. Шукүрова. Оғуз-Қаган һағында әп гәдим рәвајет 83

Археология

В. Б. Бахшәлиев. II Құлтепәдән гәдим металлургија вә металишләмәјә аид жени тапқынтылар 86

Терминология

З. Ш.Мәммәдова. Қоғынавтика терминларинин тәсбит олунмасы вә ишлән- мәсін һағында 90



СОДЕРЖАНИЕ

Математика

А. Р. Мәғомедов, Г. М. Набиев. О некоторых вопросах устойчивости решений линейных дифференциальных уравнений с максимумами 3

С. Р. Мусаев, Т. М. Эфендьев. Построение многомерных допустимых пар, реализующих управляемость методом интеграции Пикара-Раковицца 7

Ф. Г. Максудов, Ф. А. Искендерзаде, Г. М. Джазаров, В. А. Никифоров, С. З. Мустафаев, А. М. Балагезов, М. С. Кязимов. Некоторые вопросы усовершенствования технологии производства и разработка конструкции железобетонных стоек виноградных шпалер 12

Физика полупроводников

М. И. Алиев, Х. А. Халилов, Р. Н. Рагимов, Э. Т. Мамедов. Спектры поглощения облученных электронами кристаллов $In_xGa_{1-x}As$ 17

Физика полупроводников и диэлектриков

Ш. Г. Аскеров, Г. Г. Қадымов. Простейшая неоднородная модель диодов Шоттки 21

А. Г. Абдуллаев, Г. С. Мехдиев. Спектр экзитонного поглощения в тонких монокристаллических слоях селенида индия 24

Органическая химия

М. И. Рустамов, А. Д. Гусейнова, Г. Т. Фархадова, С. М. Аскер-заде, Х. Т. Мамедов, Р. Р. Агаева, Д. А. Азимова, С. Г. Юнусов, Э. А. Қасым-заде. Превращение метанола на различных катализаторах с целью получения непредельных углеводородов 30

Физическая химия

В. И. Краснов, К. М. Мусаев, В. В. Атлас. Анализ кинетических моделей реакции метатезиса гексена-1 с помощью ЭВМ 33

Органическая химия

М. Г. Велиев, А. М. Гарманов, М. М. Гусейнов. Синтез и превращения эпокси- и циансодержащих аллилатиленов 39

Неорганическая химия

А. Н. Нуриев, Б. З. Рзаев, А. М. Карапев. Получение селенида сурьмы 45
М. А. Мамедъяров, Б. З. Рзаев, Р. К. Сайдов. Получение металлического мышьяка 50

Физическая химия

Ә. Б. Зейналов, Е. Г. Гладышева, В. А. Керимова, М. И. Раджабов, К. С. Шихалиев, Б. Ю. Трифель, Б. К. Зейналов. О применении модельных цепных реакций для анализа физиологически активных веществ в пищевых напитках 54

Биохимия

Н. М. Юсифов. Биохимические особенности рапса, возделываемого в Азербайджане 59

Тектоника	
<i>А. А. Али-заде, Е. Ю. Погорелова. Позднемеловой этап геологической истории предмалокавказского прогиба в связи с нефтегазоносностью</i>	65
Климатология	
<i>Г. А. Гаджиев, Ф. Б. Эминов, А. Н. Наджафов. О прогнозировании урожая трав на зимних пастбищах в зимний и весенний периоды</i>	71
Физиология человека и животных	
<i>Ш. К. Тагиев, Г. Х. Акопян, А. И. Джараров, Н. М. Магомедов, Э. М. Кулешова. О действии селенита натрия на поздний рецепторный потенциал изолированной сетчатки холоднокровных</i>	74
Медицина	
<i>Р. А. Абдуллаев, Х. М. Мирзоев. К фармакологии препарата расторопши из флоры Азербайджана</i>	78
Востоковедение	
<i>Р. М. Шукюрова. Наиболее ранняя легенда об Огуз-Кагане</i>	83
Археология	
<i>В. Б. Бахшалиев. Новые находки к древней металлургии и металлообработке в Кюльтепе II</i>	86
Терминология	
<i>З. Ш. Мамедова. О сферах фиксации и функционирования космических терминов</i>	90

Сдано в набор 7. 01. 86. Подписано к печати 08. 05. 86. ФГ 06113. Формат бумаги 70×100^{1/16}. Бумага типографская № 1. Гарнитура шрифта литературная. Печать высокая. Усл. печ. лист 7,8. Усл. кр.-отт. 7,8. Уч.-изд. лист 6,7. Тираж 575. Заказ 8. Цена 70 коп.

Издательство „Элм“. 370143 Баку-143, проспект Нариманова, 31; Академгородок, Главное здание Типография „Красный Восток“ Государственного комитета Азербайджанской ССР по делам издательств, полиграфии и книжной торговли. Баку, ул. Ази Асланова, 80.

9. Текст статьи печатается на белой бумаге через два интервала на одной стороне листа стандартного размера, с полями с левой стороны (не более 28 строк на одной странице по 58—60 знаков в строке). В тексте нельзя делать рукописные вставки и вклейки.

Статьи, напечатанные на портативной машинке, не принимаются.

10. Текст статьи должен быть изложен кратко, тщательно отредактирован и подписан авторами в печать. В математических статьях желательно избегать доказательств теорем, лемм и т. п. При использовании в тексте сокращенных названий (кроме общепринятых) необходимо давать их расшифровку.

11. Математические и химические формулы и символы в тексте должны быть вписаны четко. Следует избегать громоздких обозначений, применения, например, дробные показатели степени вместо радикалов, а также exp. Занумерованные формулы обязательно включаются в красную строку, номер формулы ставится у правого края страницы. Желательно нумеровать лишь те формулы, на которые имеются ссылки. Подстрочные и надстрочные индексы и степени следует отмечать карандашом, дугами сверху и снизу:

$$R^n, r_n$$

Греческие буквы нужно обводить (в кружок) красным карандашом. Буквы готического шрифта и рукописные в рукописях не использовать, векторные величины — подчеркивать черным, буквы латинского рукописного шрифта следует отметить на полях (например, Н рукоп.).

Во избежание ошибок следует четко обозначать прописные (заглавные) и строчные буквы латинского алфавита, имеющие сходное начертание (Cc; Kk; Pp; Oo; Ss; Uu; и т. д.), буквы I(i) и J(j) букву I и римскую единицу I, а также арабскую цифру 1 и римскую I', (вертикальная черта), I и штрих в индексах, I (латинское эль) и e. Прописные буквы подчеркивают карандашом двумя черточками снизу (С), а строчные — сверху (с.).

Следует избегать знаков типа ~ (волна), ⊖, ⊕, ⊗; □ | ⊥, ◊ √ ∧ (крышки) над и под буквами, а также знаков:

$$\text{h} \times \text{e}, \phi\ddot{\phi}, \ddot{\phi}, \ddot{\phi}$$

Латинские названия вписываются на машинке.

Слова «теорема», «лемма», «следствие», «определение», «замечание» и т. п. следует подчеркивать штриховой чертой, а текст утверждений типа теорем—волнистой чертой (исключая математические символы).

При выборе единиц измерения рекомендуется придерживаться международной системы единиц СИ.

12. При описании методики исследования следует ограничиваться оригинальной ее частью. При элементном анализе приводить только усредненные данные.

13. Необходимо тщательно проверять написание местных географических названий.

14. Цитированная литература проводится общим списком на отдельной странице: ссылки в тексте даются порядковым номером в круглых скобках над строкой (например,¹). Список литературы оформляется следующим образом:

для книг: инициалы и фамилии авторов, полное название книги, место и год издания;

для журнальных статей: инициалы и фамилия авторов, название журнала, номер тома, номер выпуска, страница и год издания.

Ссылки на неопубликованные работы не допускаются.

15. Все статьи должны иметь резюме на английском языке, кроме того, статьи, написанные на русском и азербайджанском языках, должны иметь резюме на азербайджанском и русском соответственно.

Публикация статьи в «Докладах» не препятствует напечатанию расширенного ее варианта в другом периодическом издании.

70 ГЭЛ.
ХОП.

Индекс
76355